Transformador de distribución nuevo diseño para zona tropical

Horacio Torres-Sánchez
Profesor Titular y Especial
Programa de investigación sobre Adquisición y Análisis de
Señales - PAAS-UN
Universidad Nacional de Colombia

Asunción, Mayo de 2012





Contenido

- 1. Marco de referencia: Situación y caracterización del entorno (2 horas).
- 2. Metodología Integral (3 horas)
 - Diagnóstico Integral del problema,
 - Alternativas tecnológicas e Implementación de la solución,
 - El Control y monitoreo de variables
- 3. Perspectivas y trabajos futuros (1 hora)



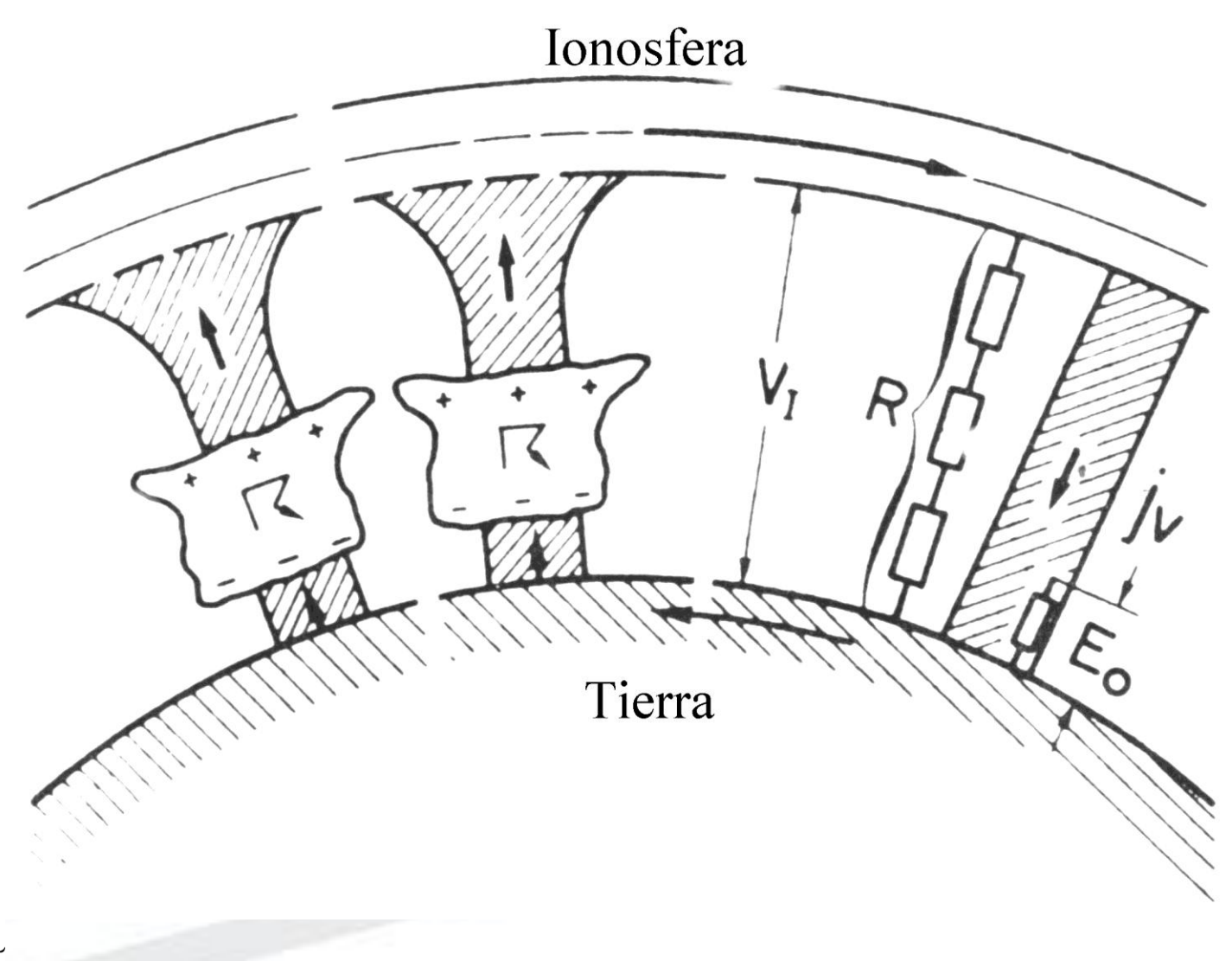


1. Marco de referencia: Situación y caracterización del entorno





Circuito Eléctrico Global de Wilson

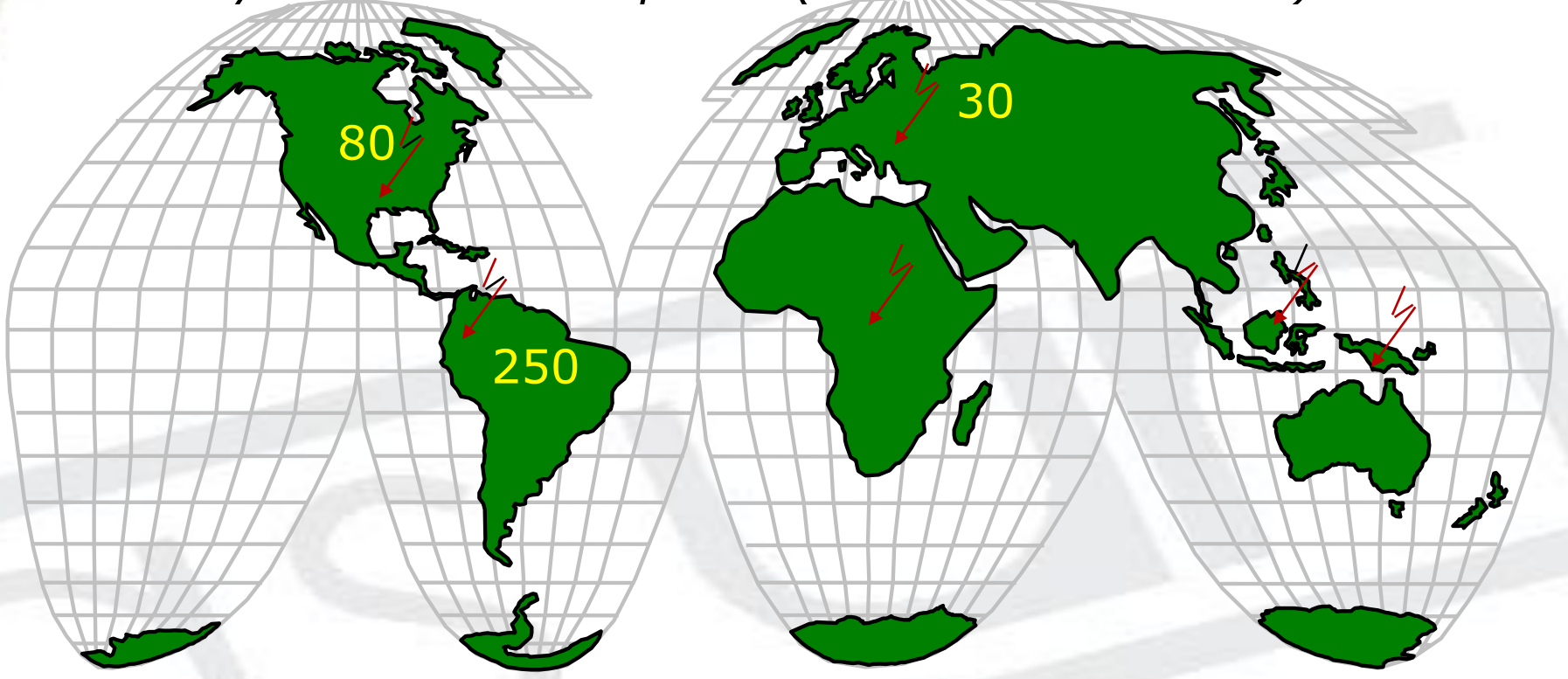






Hipótesis de Wilson

"Las descargas eléctricas atmosféricas son generadores de carga que mantienen la diferencia de potencial entre la tierra y la atmósfera superior (Potencial ionosférico)"

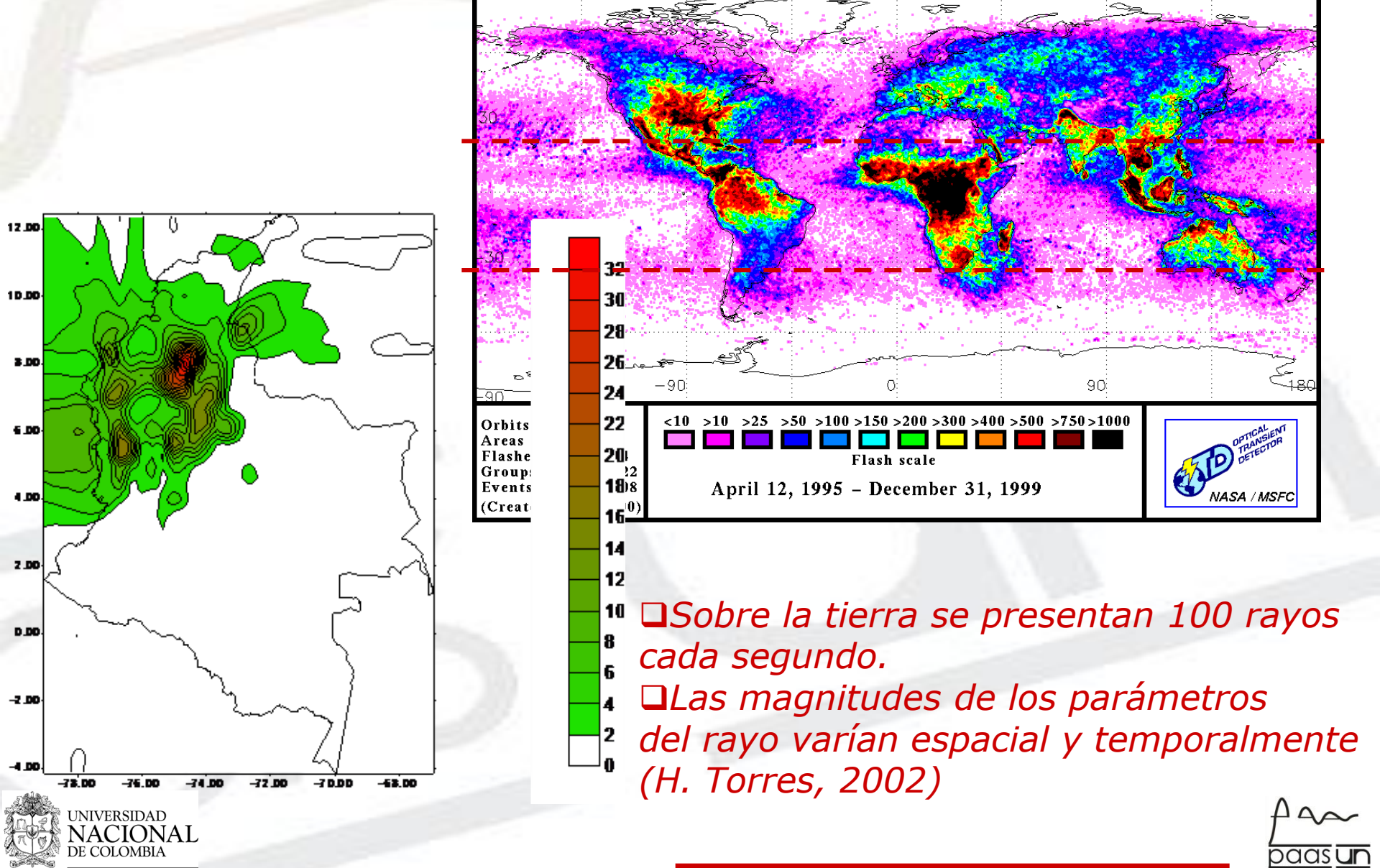


"La contribución al circuito global está dominado por una superposición de efectos de las tres mayores zonas de convección:

Suramérica Tropical, Centro de África y el Continente Marítimo"



La problemática: Actividad de rayos



Hipótesis de investigación

"Las magnitudes de los parámetros de la descarga eléctrica atmosférica utilizados en aplicaciones en ingeniería (Nivel Ceráunico, Densidad de Rayos a Tierra, Polaridad, Corriente de Retorno de Rayo y Rata de Ascenso de la Corriente de Rayo) varían espacial y temporalmente. "

Torres, H. "El Rayo", Ed. UNIBIBLOS, Bogotá, 2002





¿Que tan frecuentes son los problemas por rayos? (Cummins, Chisholm, Sept. 2006)

Las aerolíneas comerciales son impactadas por rayos, en promedio una vez al año.





Las líneas de transmisión, 100km de longitud, 35 m de altura son impactadas:

- ■300 veces por año en la Florida
- •100 veces por año en la zona central de USA
- •10 veces por año en California.





Problemas por rayos en sistemas eléctricos (Torres, H. 2002)

El costo promedio anual de reposición de transformadores de distribución en Colombia, por impactos de rayo, se estima en US\$7 millones.

Los rayos producen al menos el 50% de los sags (caídas de tensión) en una red de distribución. (EPRI, USA)

La tasa de fallas anuales en líneas de transmisión por causa de rayos varía entre 30 y 60%





La problemática: Índices de mortalidad



incendió la ciudad de Dronka. 530 víctimas.

ELTIEMPO.COM

Abril 7 de 2007 Un rayo mató a un policía y causó heridas a otros tres, en un paraje rural de Antioquia EL ESPECTADOR COM

26 de Noviembre de 2006 COLOMBIA

Heridos por un rayo se
recuperan en Norte de

Santander

EL TIEMPO - CALI

Carlos 'El Chumi' Álvarez narró el momento en el que un rayo causó la muerte a 'Carepa' Gaviria

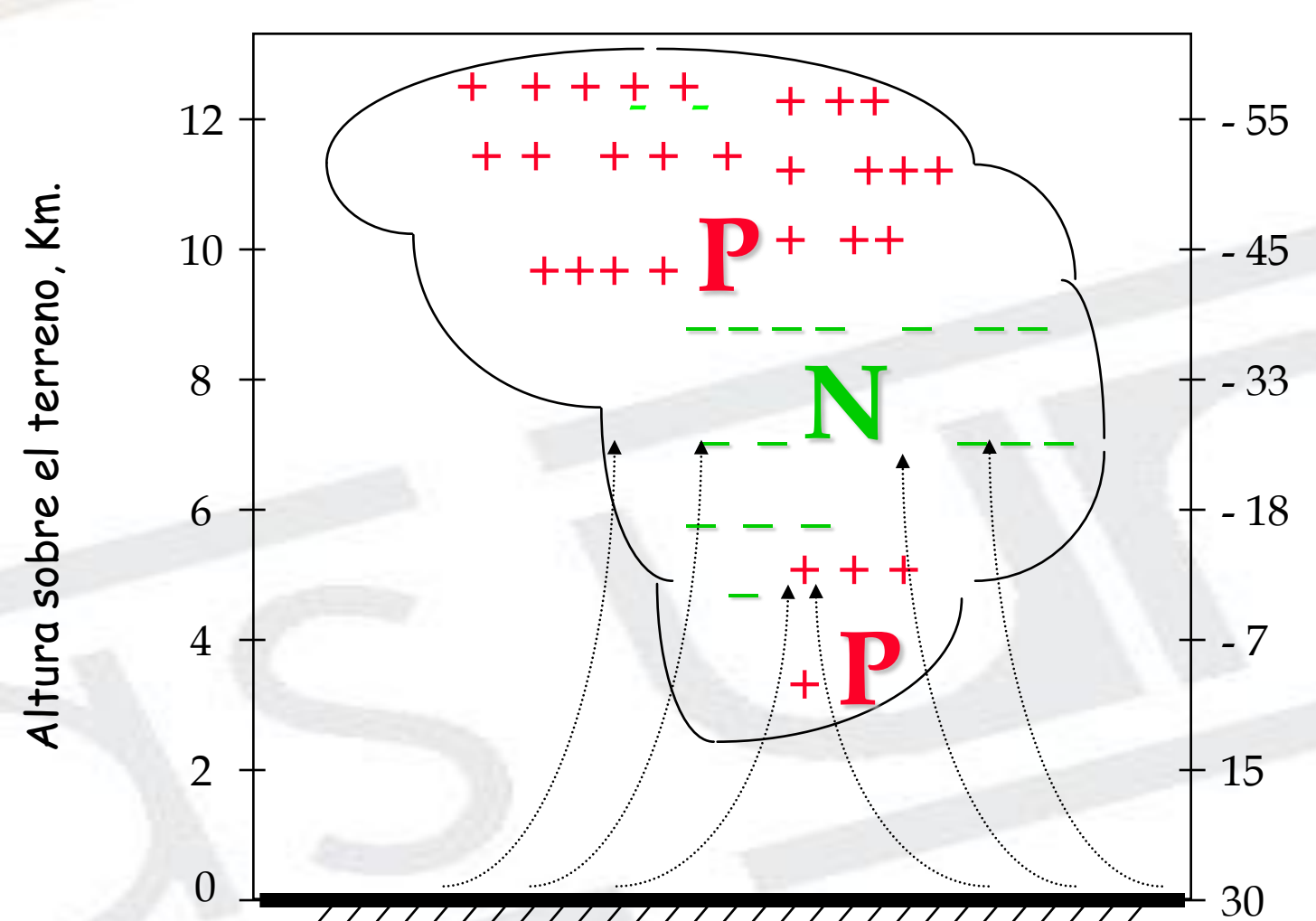
"...En general, las muertes y lesiones por rayos dependen del sistema económico y el mejoramiento en la construcción de las viviendas. En las áreas tropicales y subtropicales del mundo, donde la actividad de rayos es más común, el número total de muertes por rayos se estima en 24.000 y cerca de 240.000 lesionados anualmente..."

(Mary Ann Cooper, MD "Lightning Injuries" October 26, 2005)





Distribución de carga en la nube

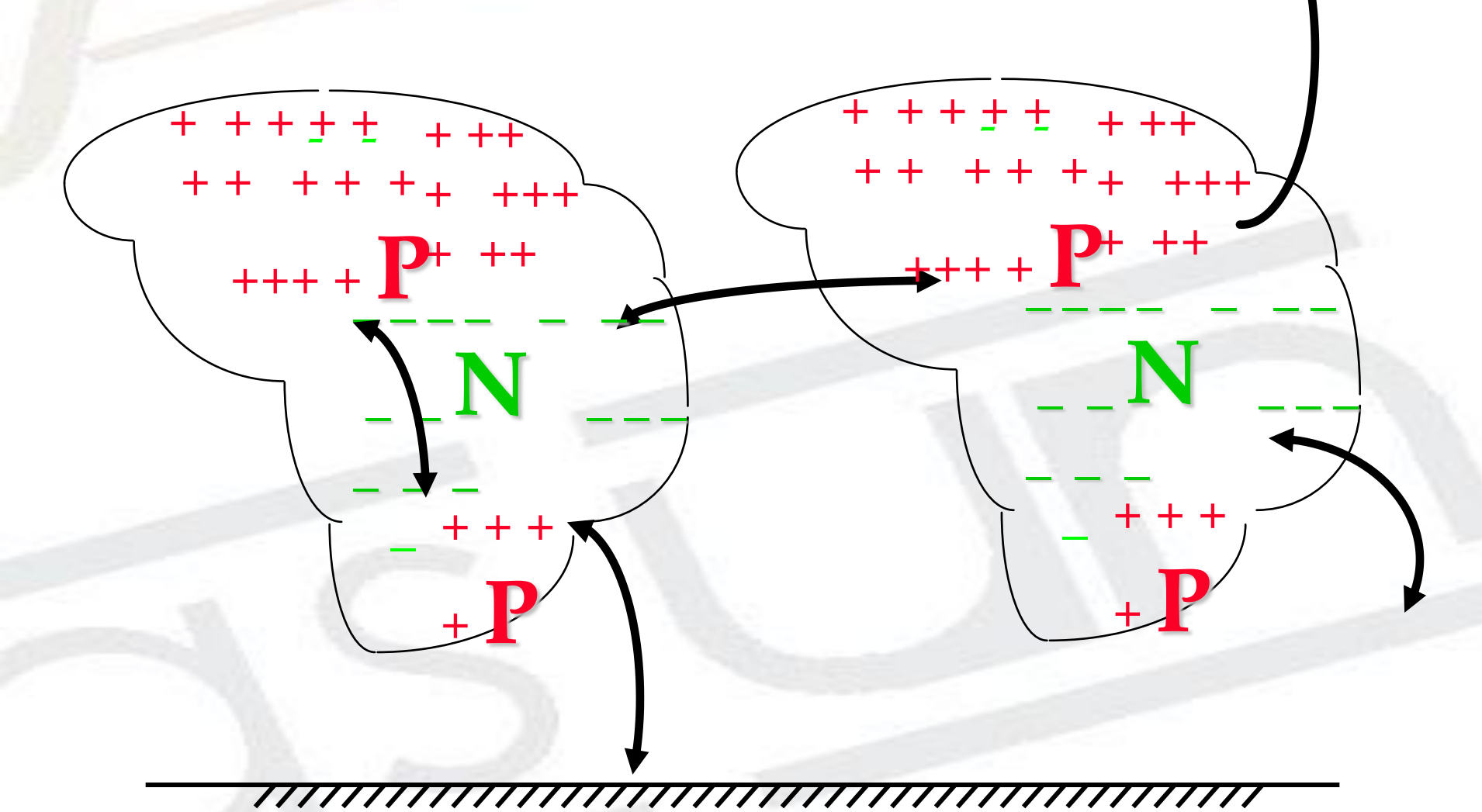


Temperatura del aire alrededor, °C





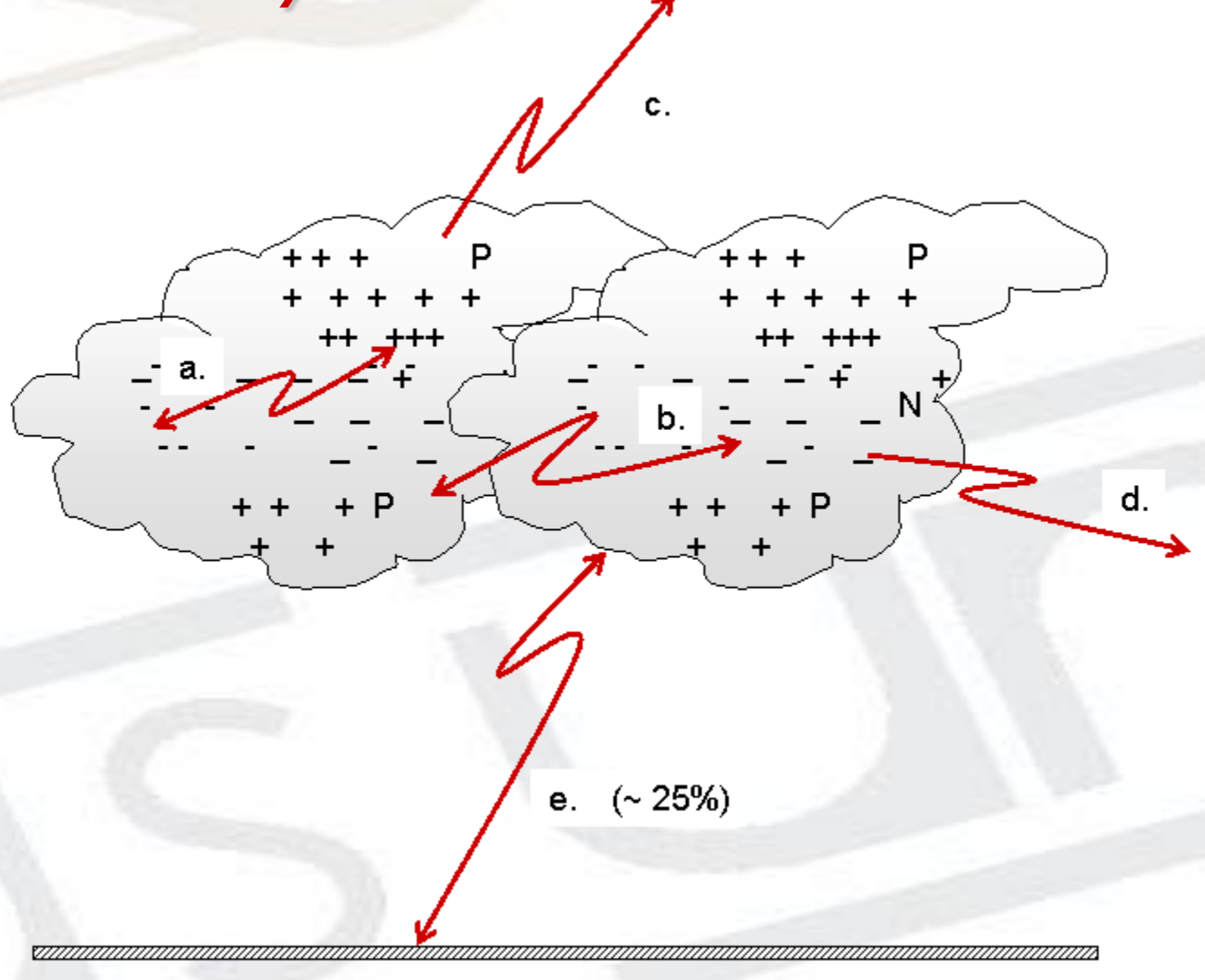
Que es un rayo







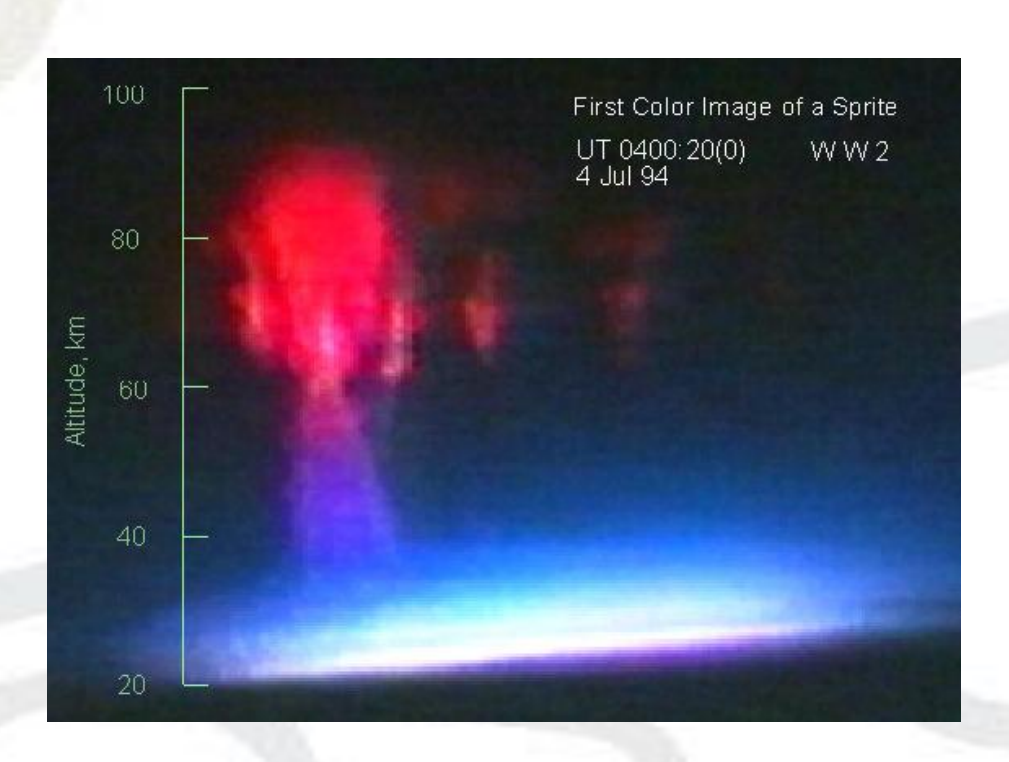
Tipo de rayos







Rayos nube-ionosfera: Red Sprites -Blue Jets

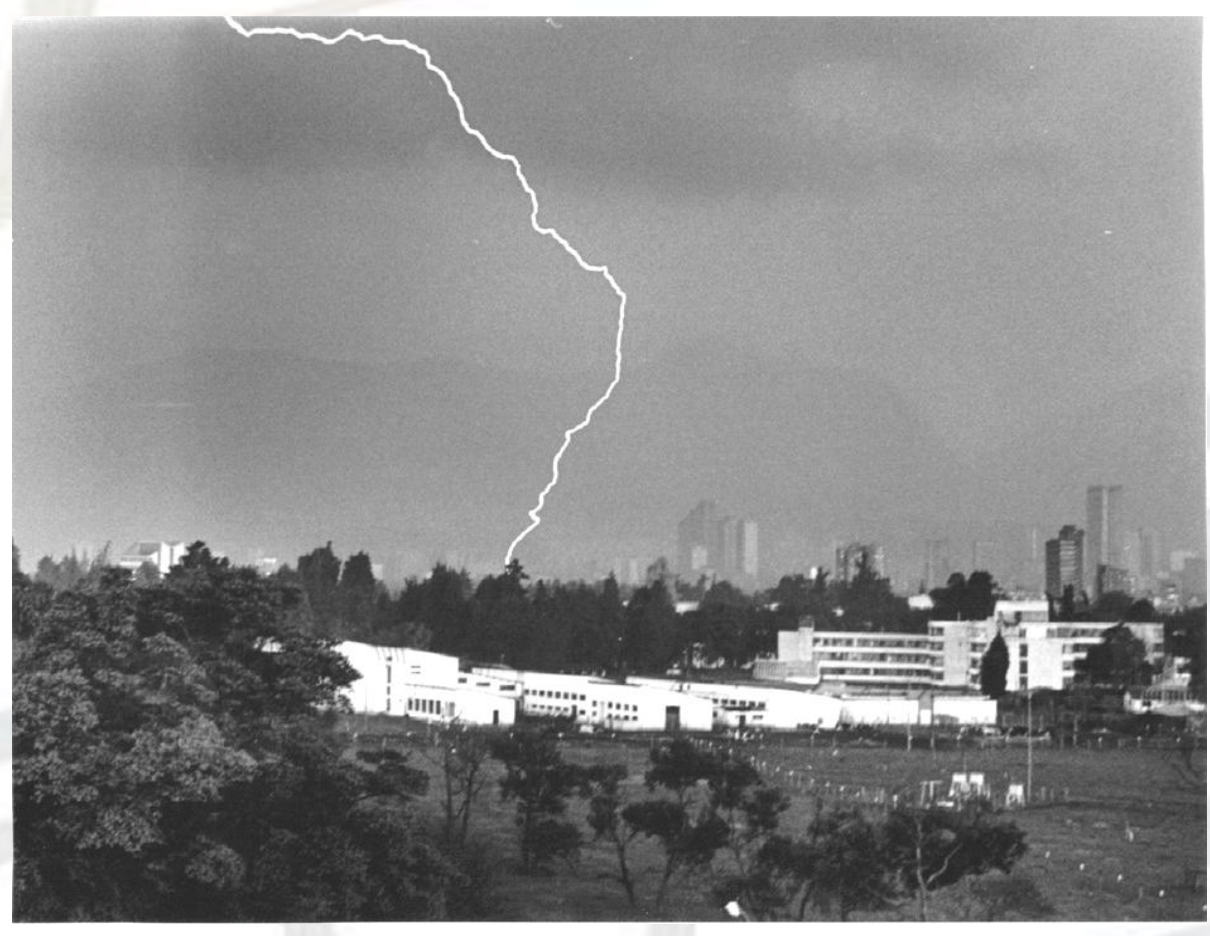








Rayos descendentes y ascendentes



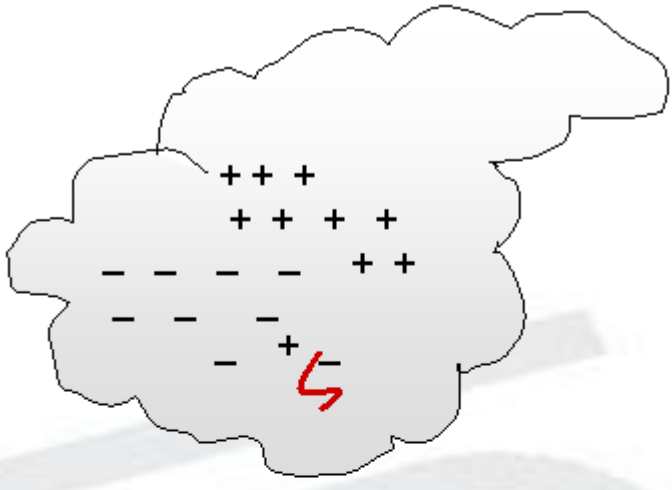


a. b.









Encendido de la descarga

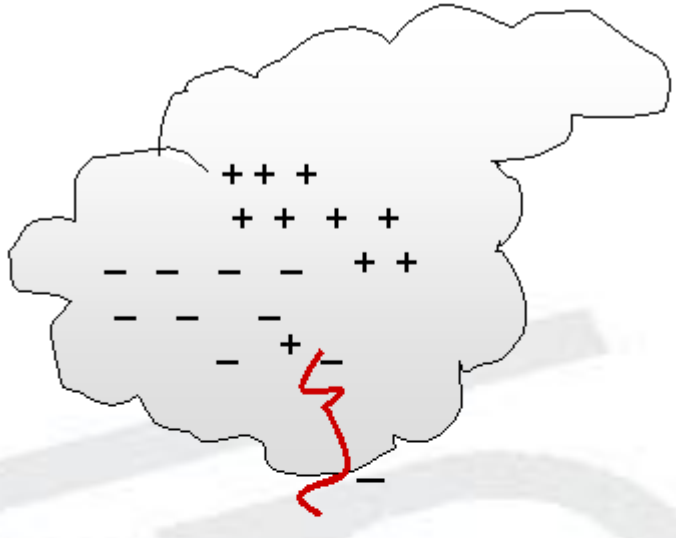


t = 1 ms









Líder escalonado

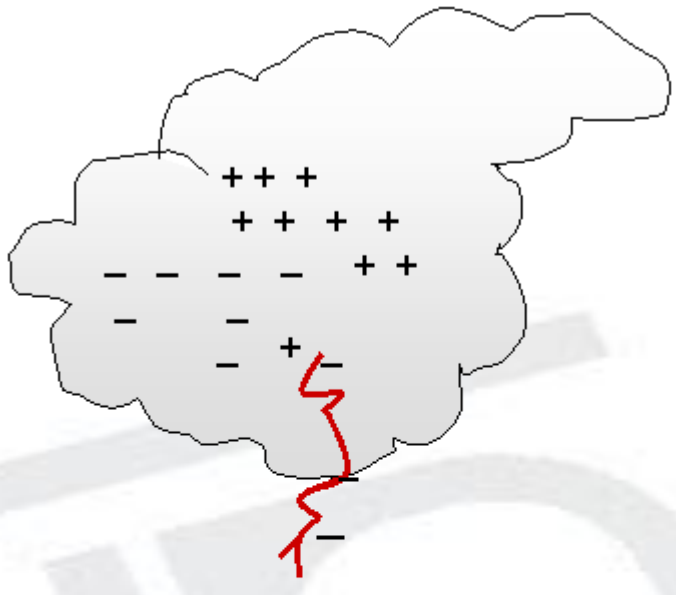


t = 1,10 ms









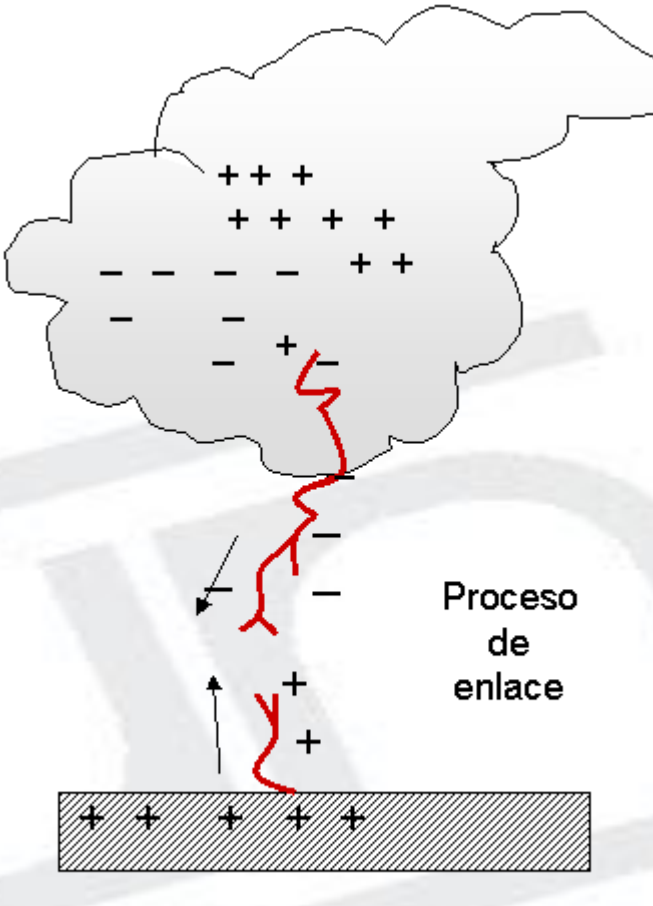


t = 1,20 ms









t = 20 ms







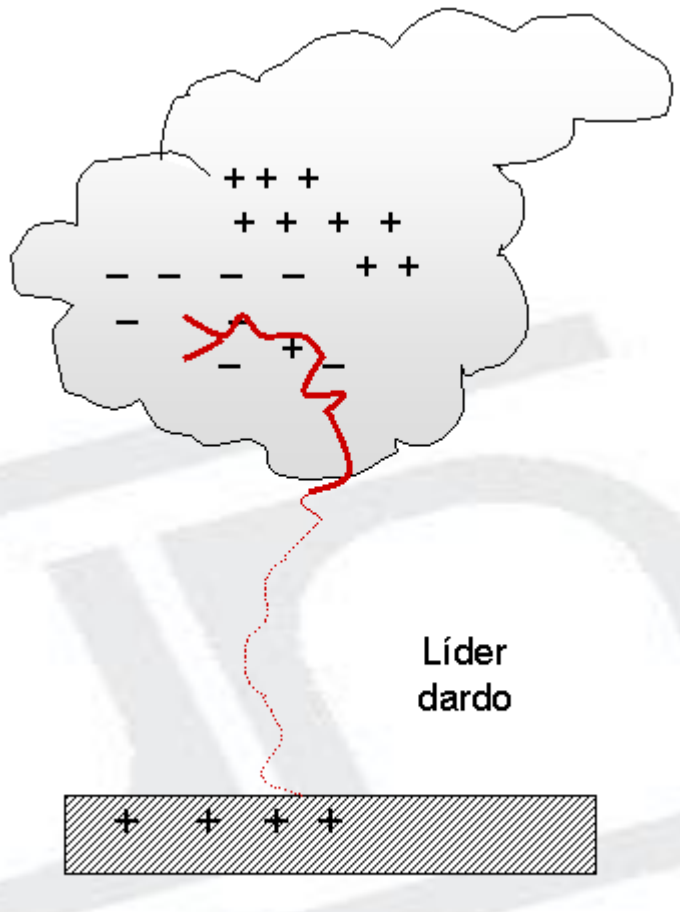


 $t = 20.10 \, \text{ms}$







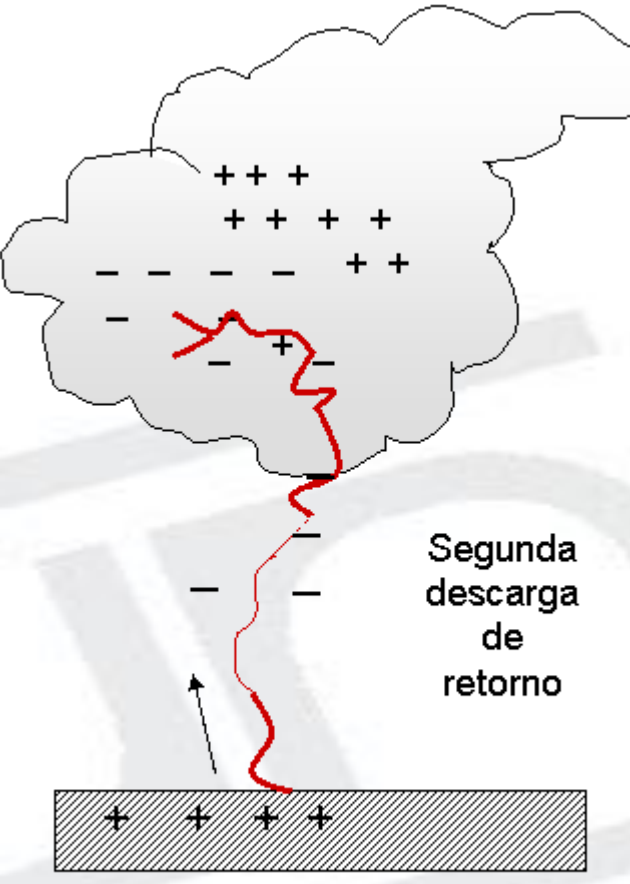


t = 60 ms







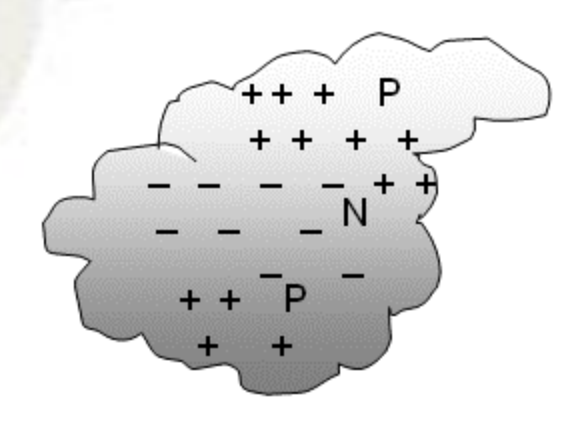


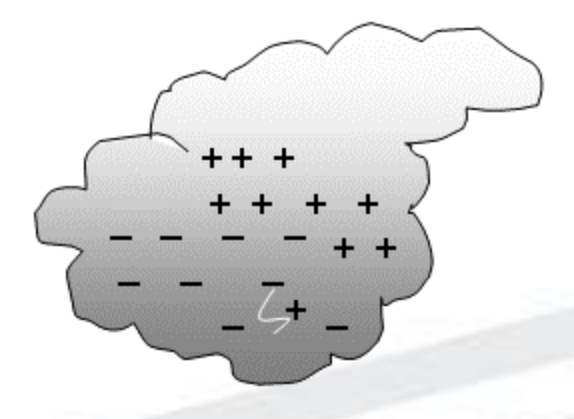
 $t = 62.05 \, \text{ms}$

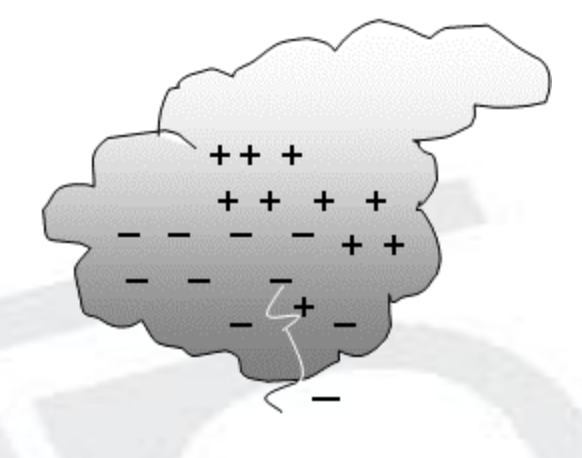




Proceso de la descarga (1/4)







Distribución de carga en la nube



t = 0

Encendido de la descarga



t = 1 ms

Líder escalonado



 $t = 1,10 \, \text{ms}$





Proceso de la descarga (2/4)



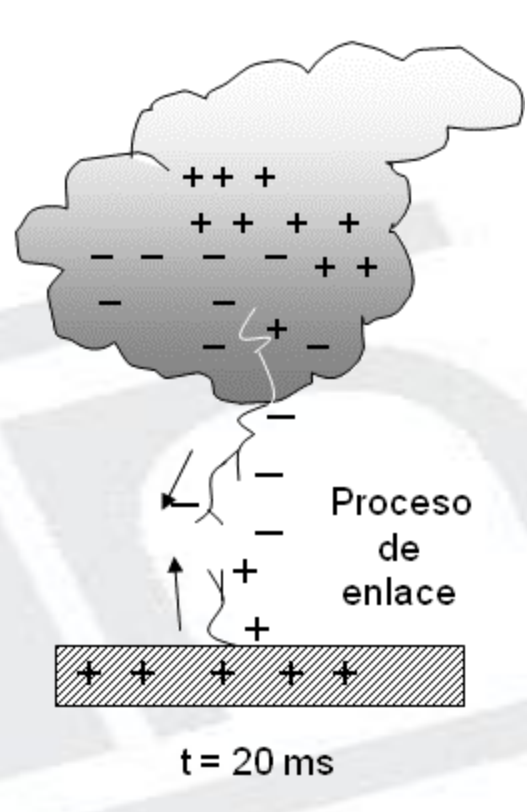


t = 1,20 ms





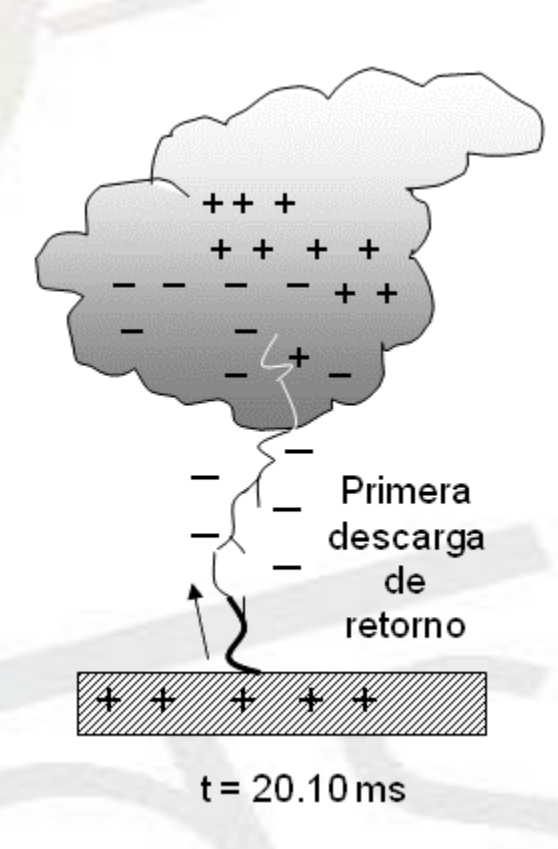
$$t = 19 \, \text{ms}$$

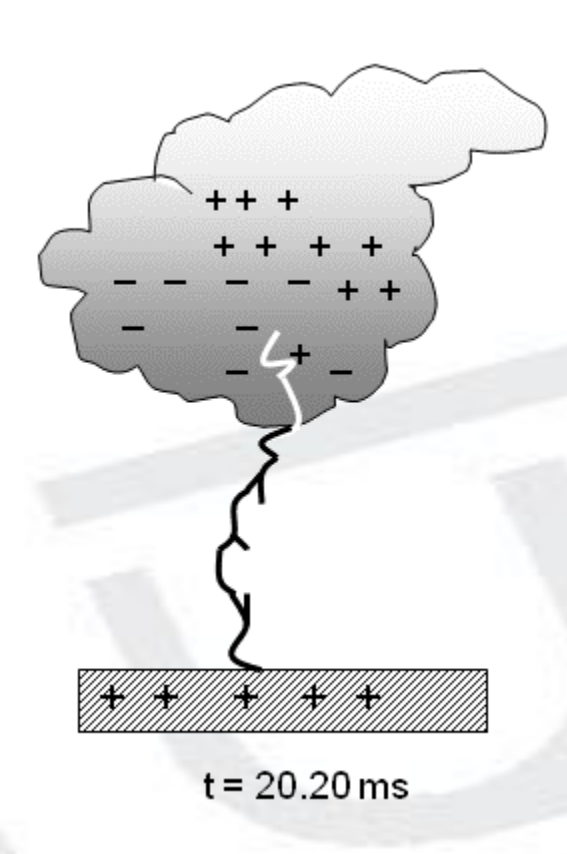


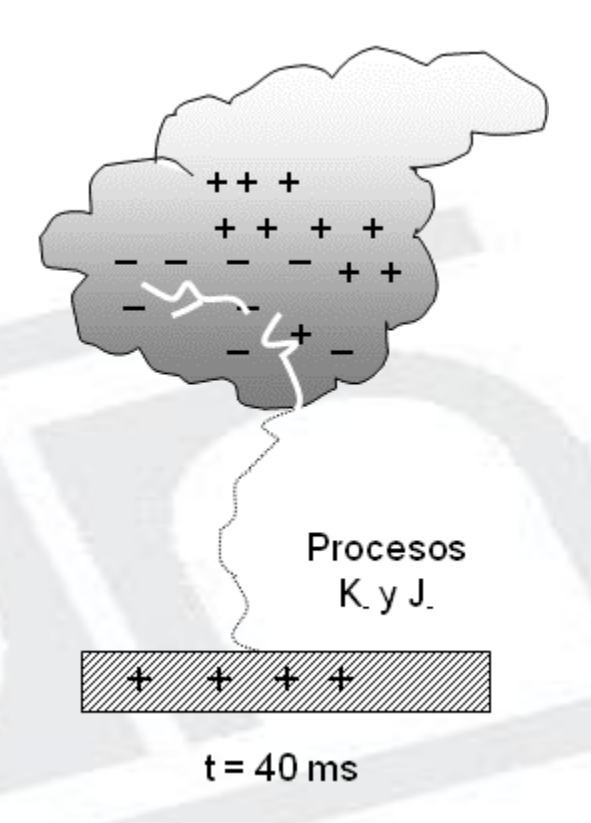




Proceso de la descarga (3/4)

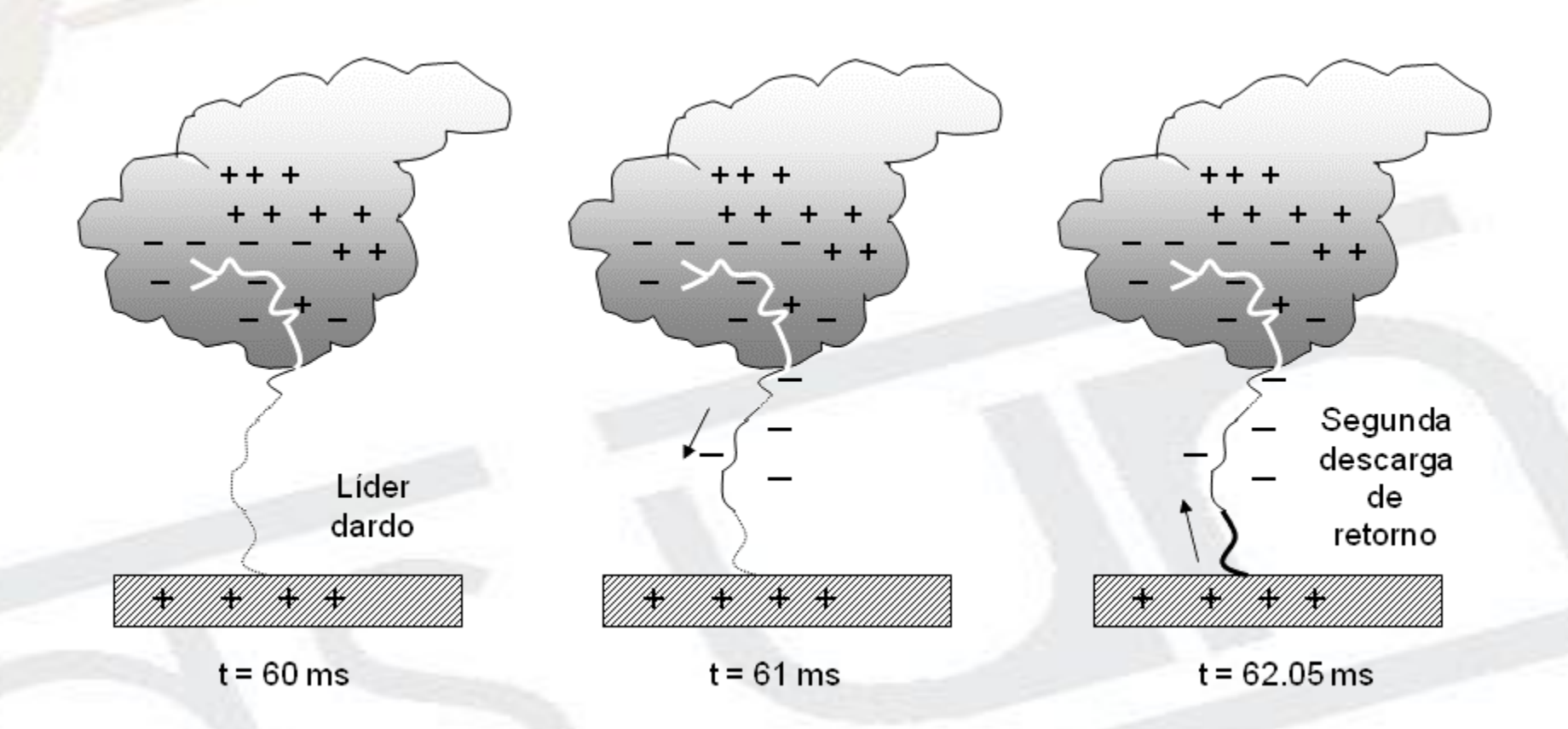








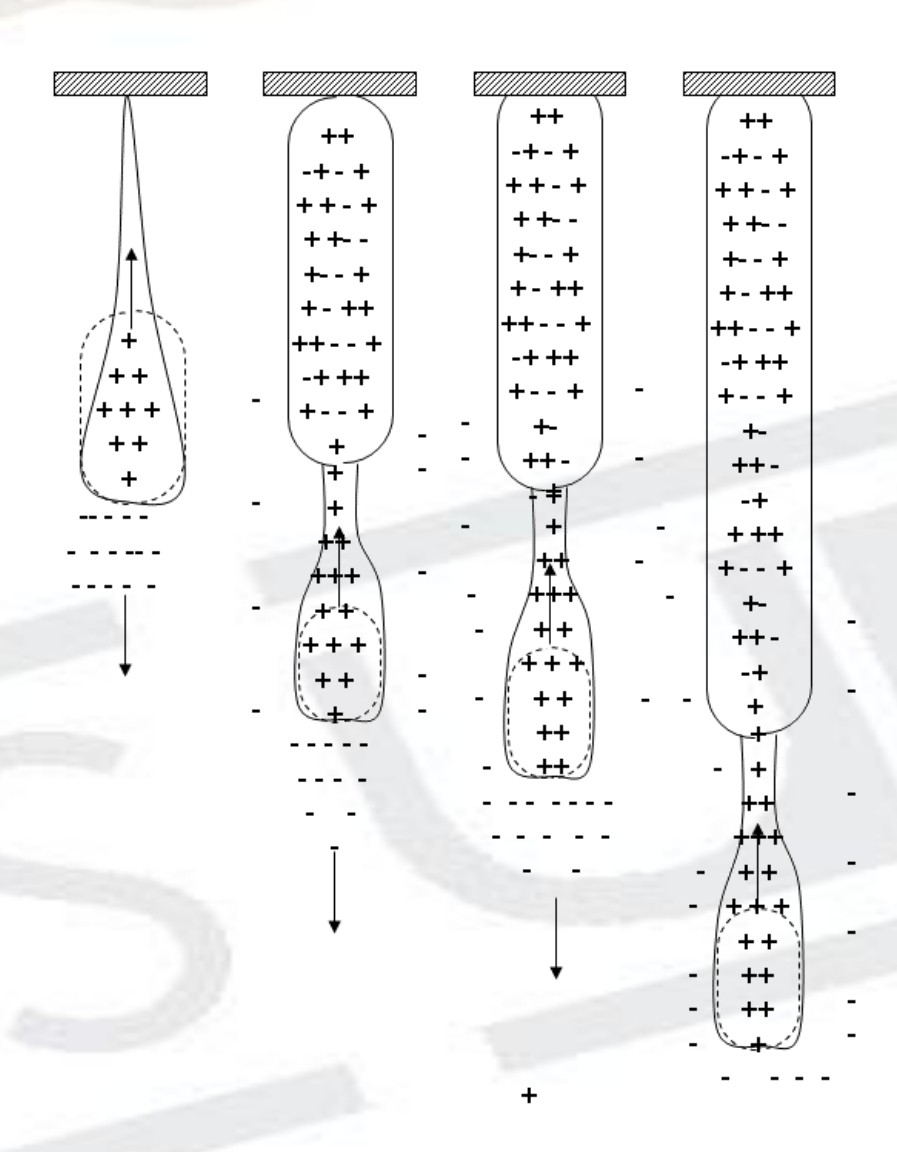
Proceso de la descarga (4/4)







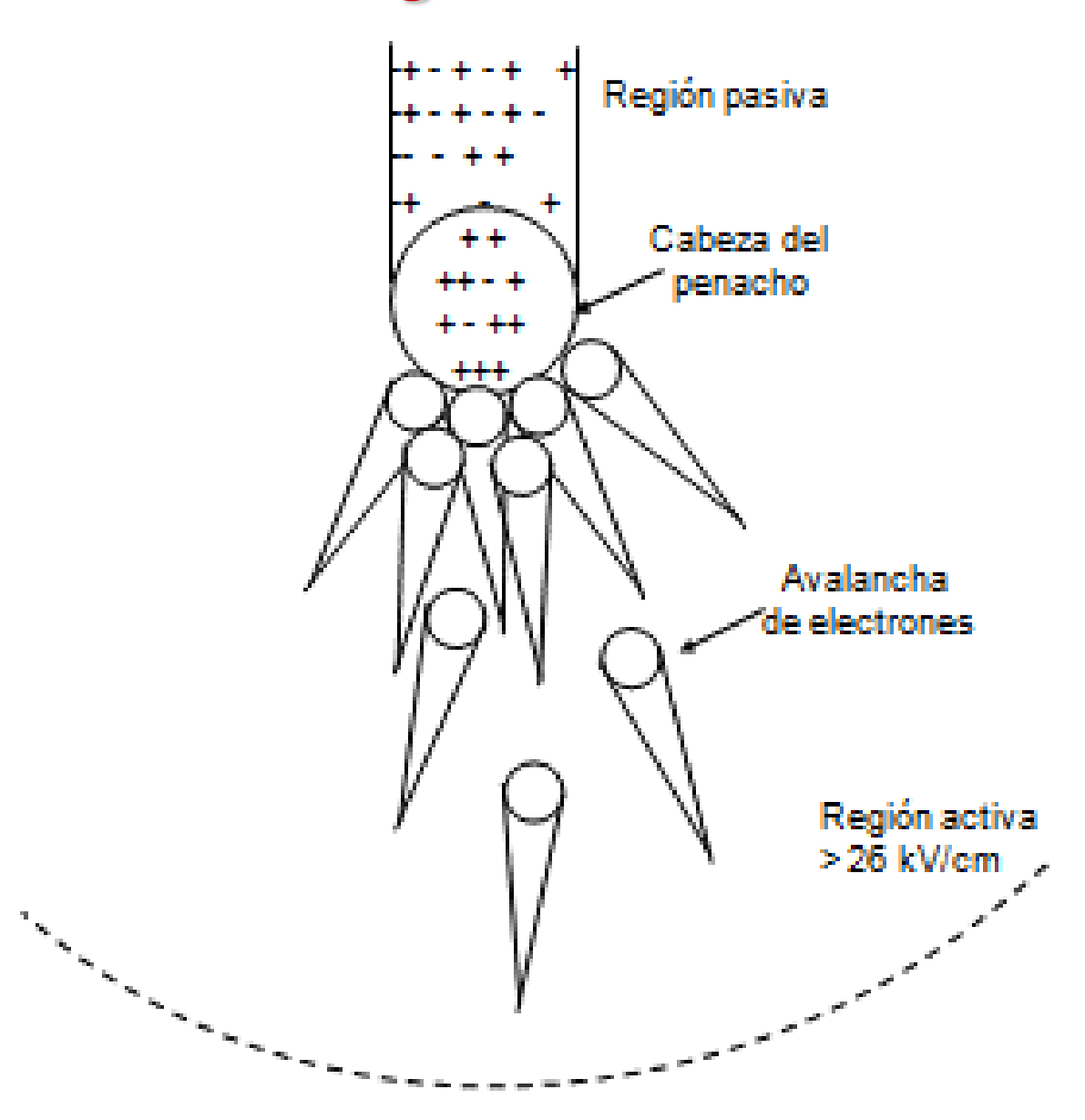
Física de la descarga





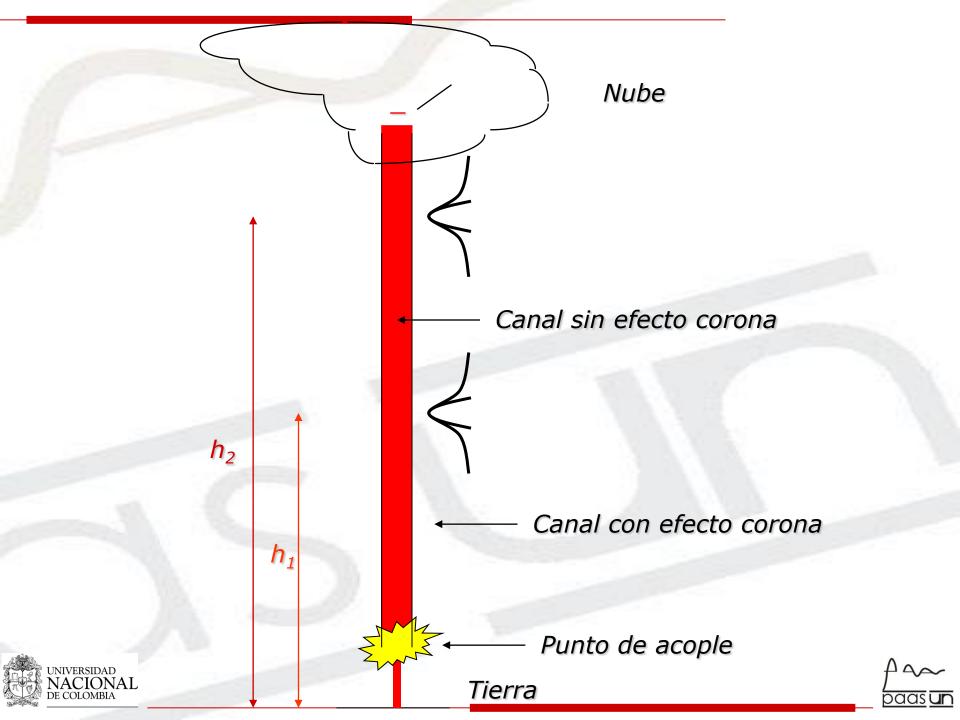


Física de la descarga

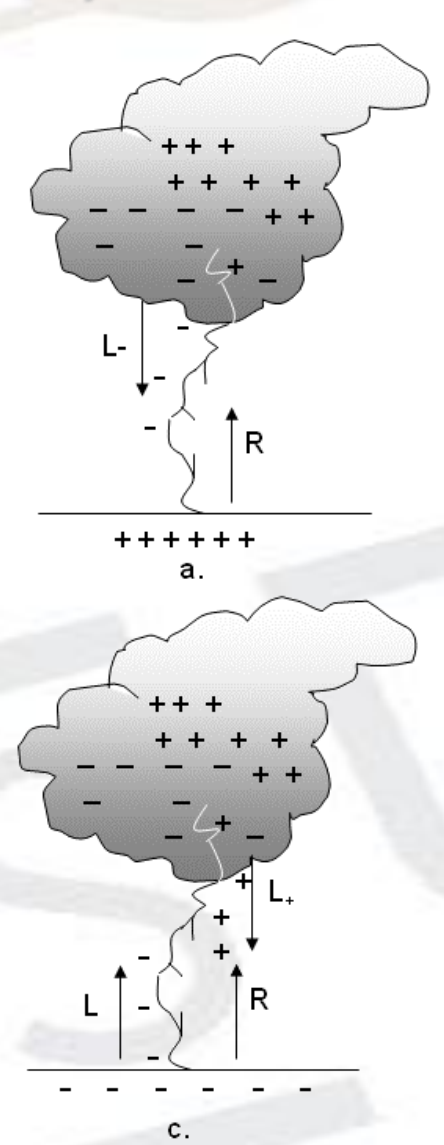


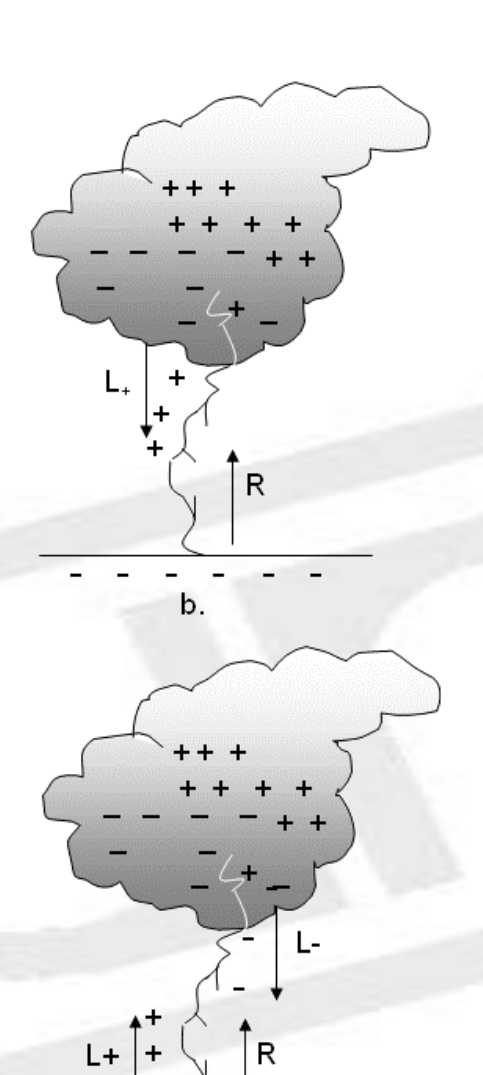


paas un



Tipos de rayos





+++++

d.





Proceso de las descargas disruptivas para propósitos de protección

- 1. Encendido de la descarga (Preliminary breakdown)
- 2. Líder escalonado (Stepped leader)
- 3. Proceso de enlace (Attachment process)









3. Proceso de enlace (Attachment process)

En este proceso se dan 3 etapas:

a.Inicio y propagación de penachos.



b. Transición de penachos a líder y su propagación.











c. salto en el intervalo y transición a una descarga autosostenida

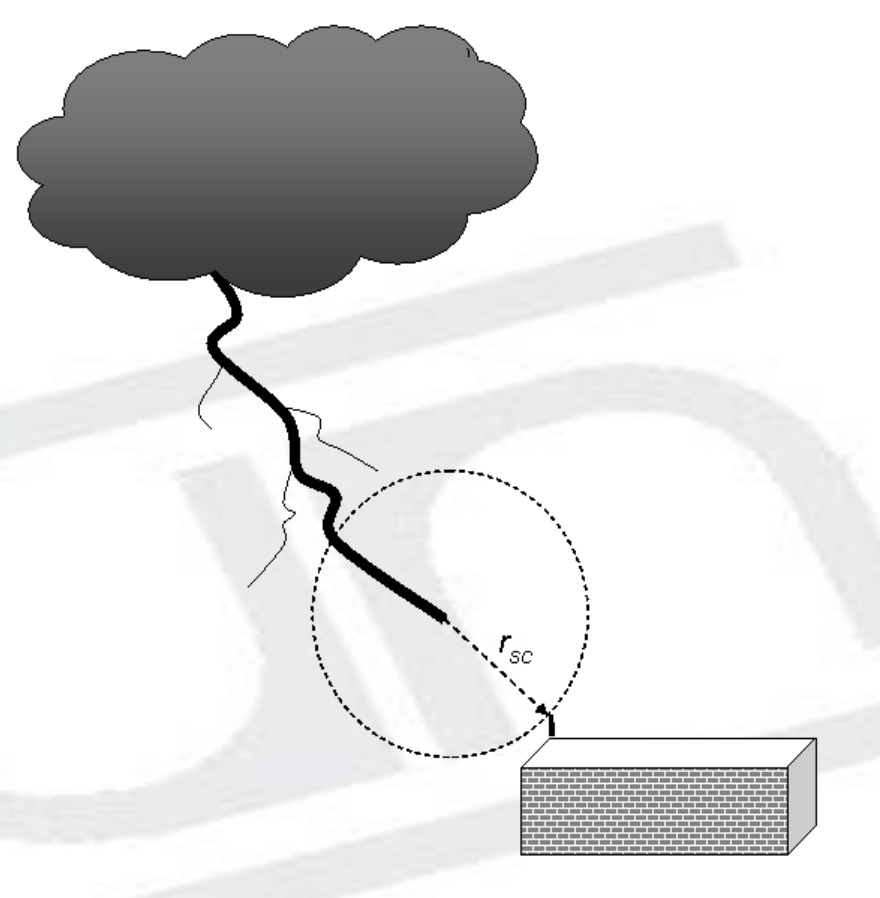
En la actividad de protección de las estructuras contra el rayo, las normas toman en consideración solamente la tercera etapa (c) mediante los conceptos:

distancia de cebado, radio de atracción (r_{sc})

recomendando el uso del modelo electrogeométrico como herramienta para posicionar los captadores en las estructuras.

Es un modelo incompleto y objeto de trabajo de numerosos investigadores; tiene la cualidad de la simplicidad de





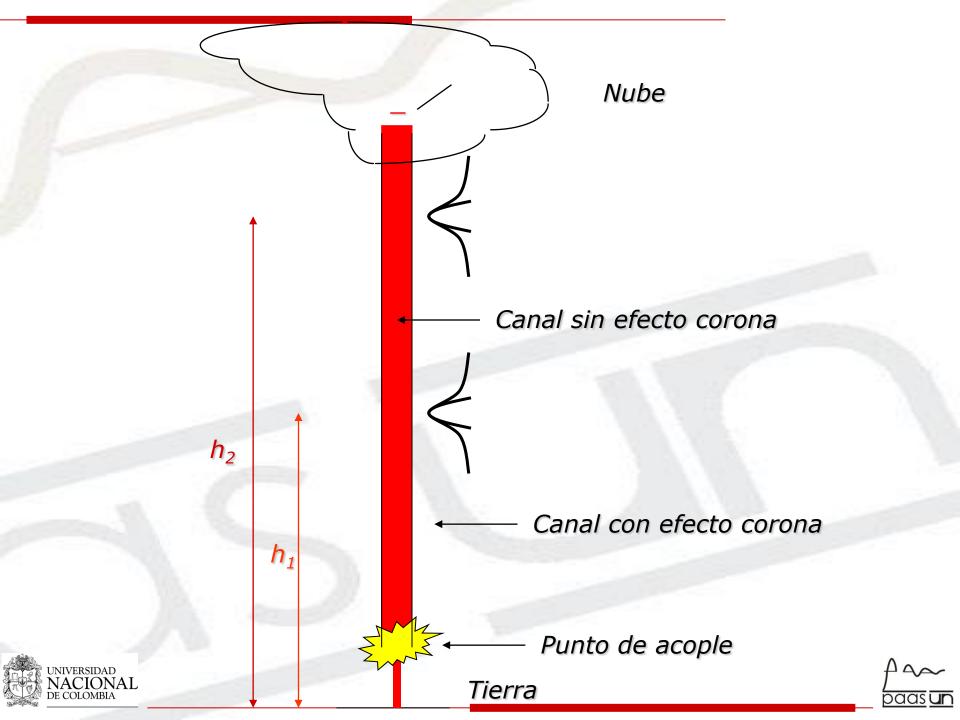


$$r_{sc} = A.(i_{\text{max}})^b$$

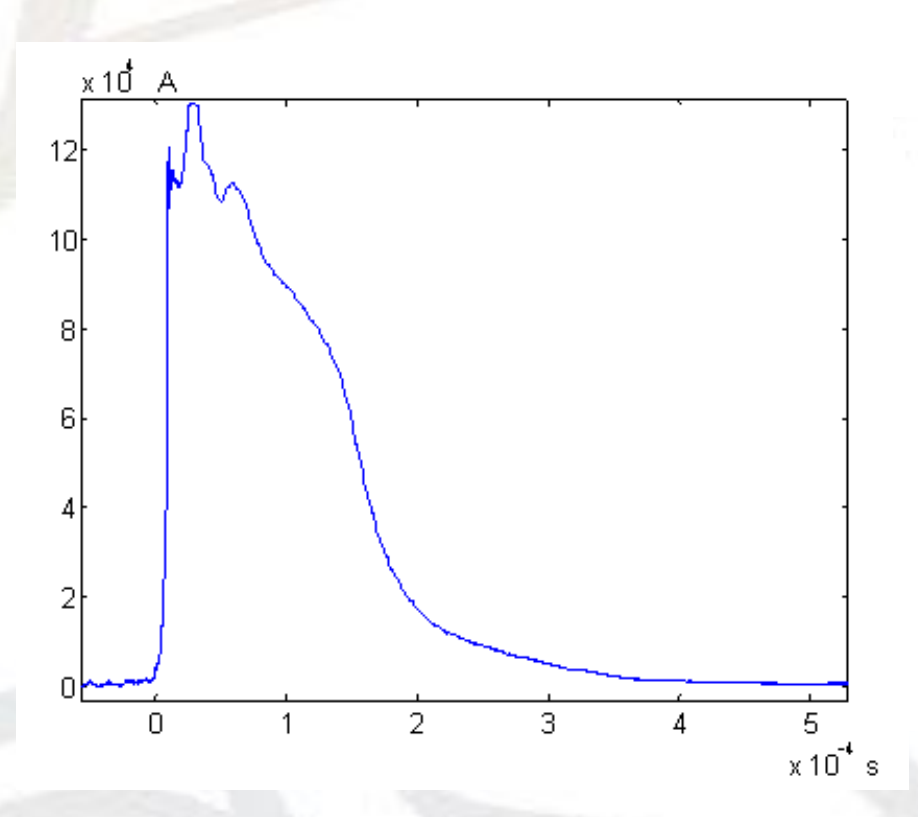
Autor	Distancia de Impacto a Tierra		Distancia de Impacto a conductor de altura h	
	Α	b	Α	b
Young et al (1963)	27	0.32	1200/(462-h) A > 27	0.32
Armstrong (1964)	6	0.8	6.7	0.8
Brown (1969)	6.4	0.75	7.1	0.75
Love (1973)	10	0.65	10	0.65
Anderson (1982)	6.4, 8 o 10	0.65	10	0.65
IEEE (1985)	5.12, 6.4 o 8	0.65	8	0.65
Eriksson (1987)	na	na	0.67h ^{0.6}	0.74
Rizk (1997)	na	na	1.57h ^{0.45}	0.69



paas un



Onda de corriente del rayo



V(p.u.)

1.0
0.9
Frente

0.5
0.3

1 t(µs)

Onda de corriente medida Estación Ilyapa - Colombia

Onda de prueba



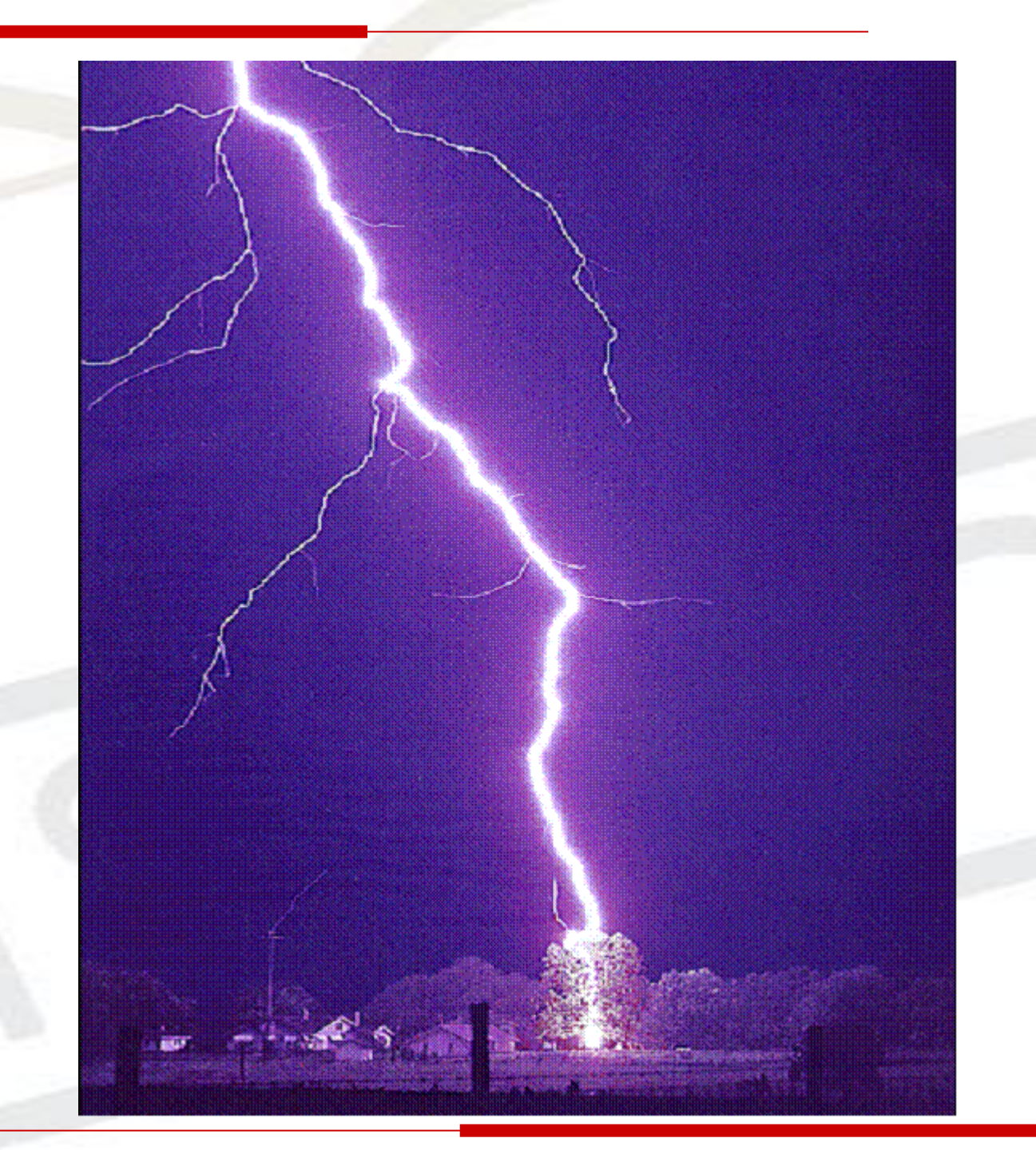


Rayo Ilyapa





paasun





paas un

Radios en el proceso de captación

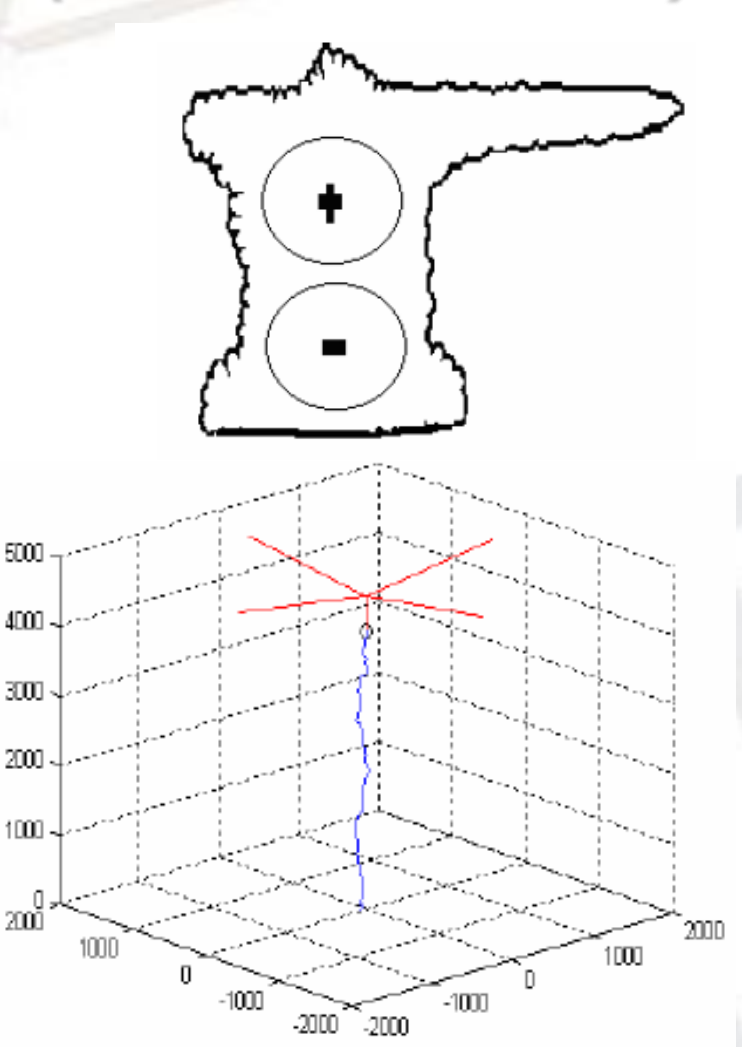


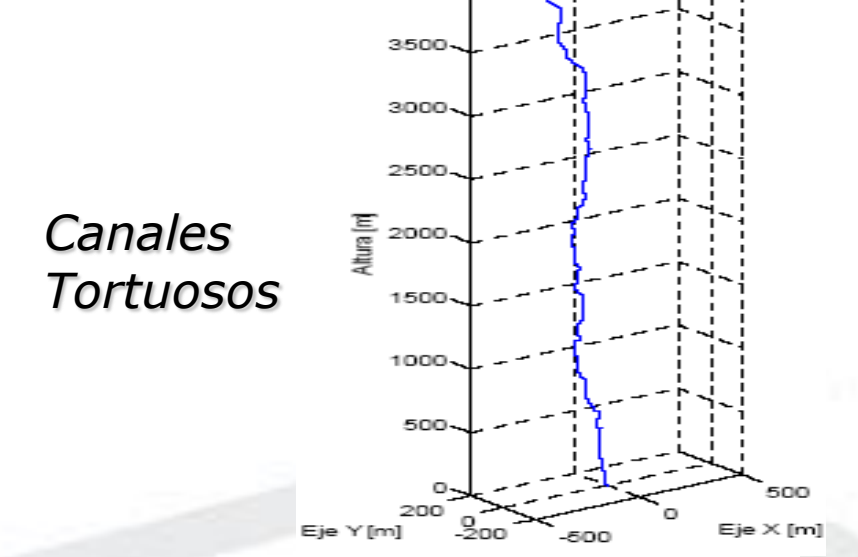




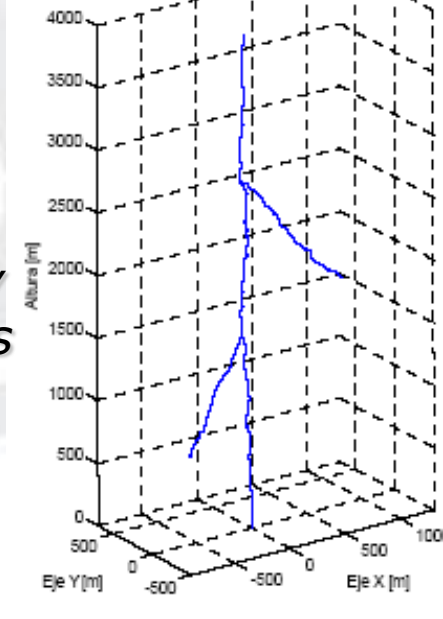


Modelo Bi-lider (PhD PAAS-UN)













Distancia de impacto teniendo en cuenta tortuosidad del canal y ramificaciones NTC4552

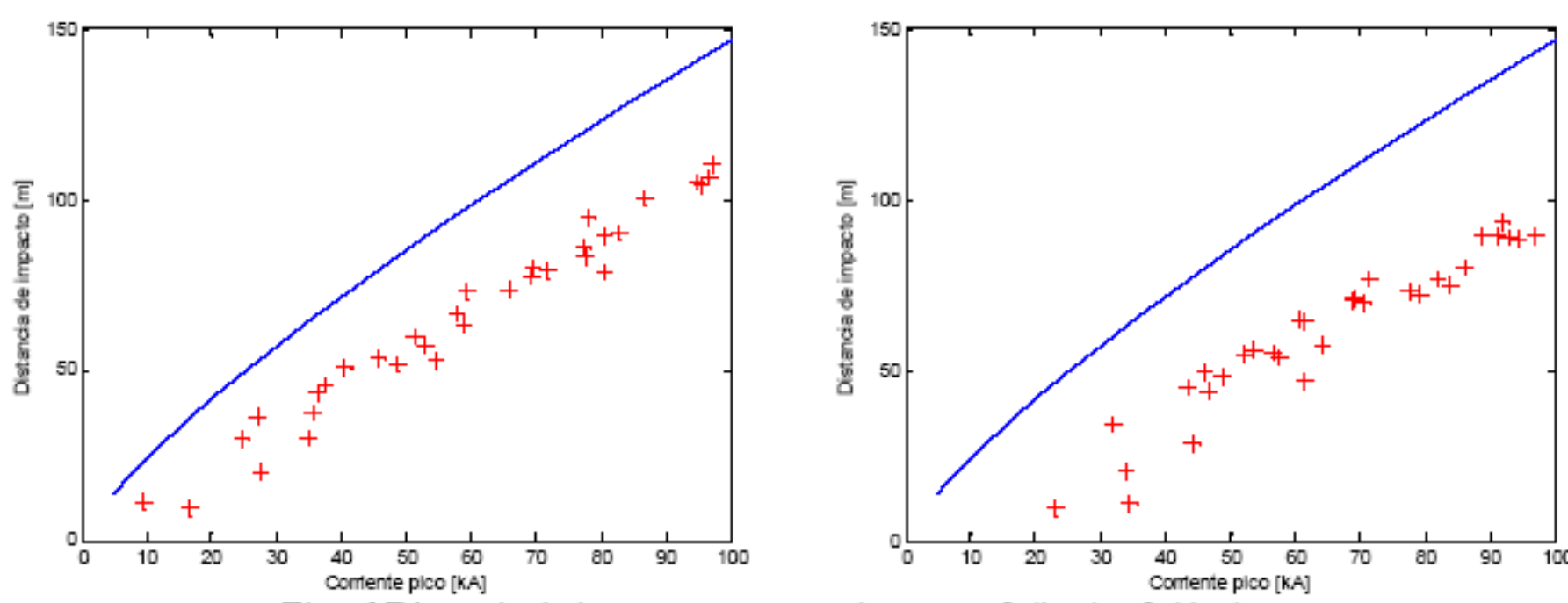


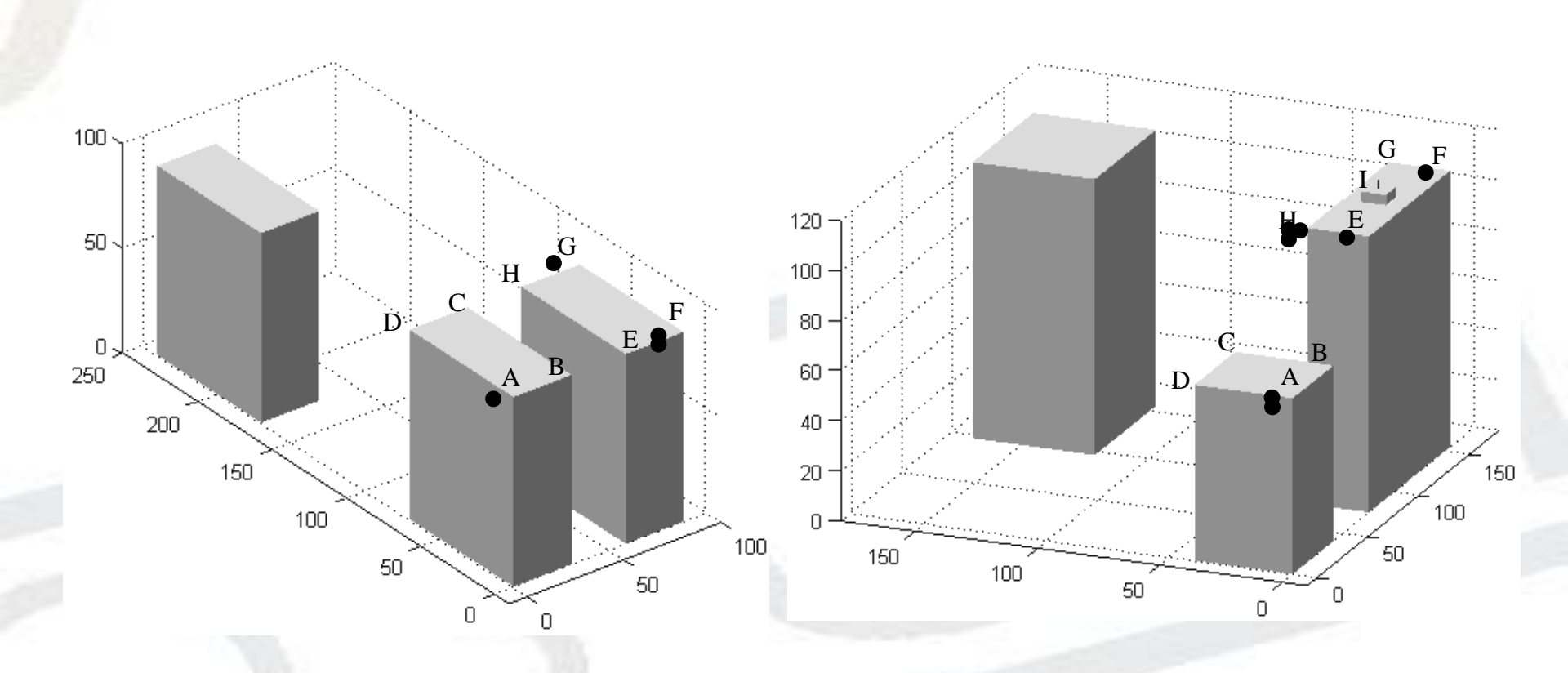
Fig. 6 Distancia de impacto a terreno plano para 2 (izq.) y 3 (der.) ramas (línea continua: canal recto, cruces: canales tortuosos)

$$r_{sc}=4.I^{0.8}$$





Ubicación de impactos observados en edificaciones de Malasia







Porcentaje de impacto directo en estructuras

Localización del impacto	Porcentaje de ocurrencia [%]
Puntas y esquinas	> 80
Bordes horizontales	< 10
Bordes verticales	< 5
Superficies planas	< 1



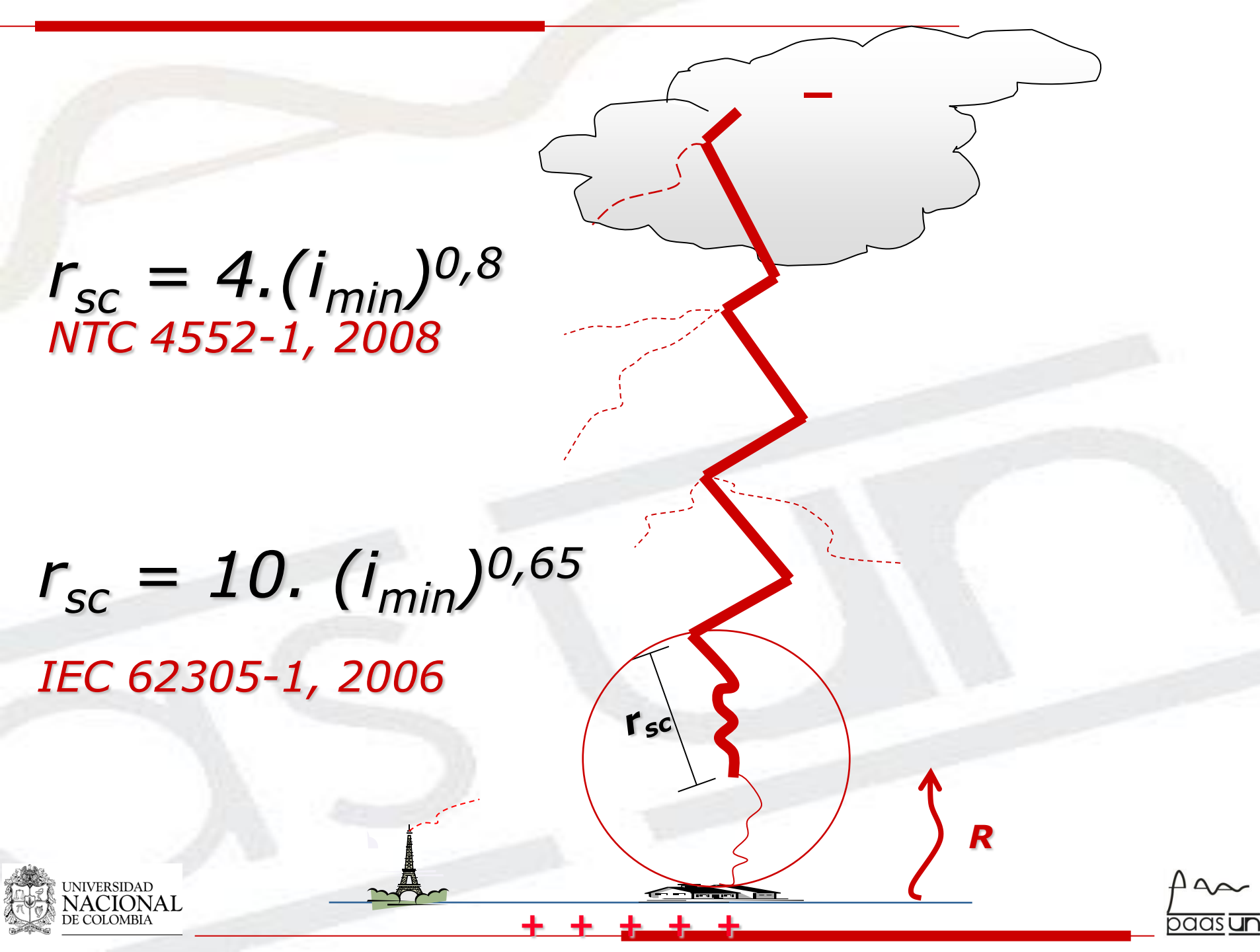


Probabilidad de impactos directos con canal tortuoso sin y con ramas

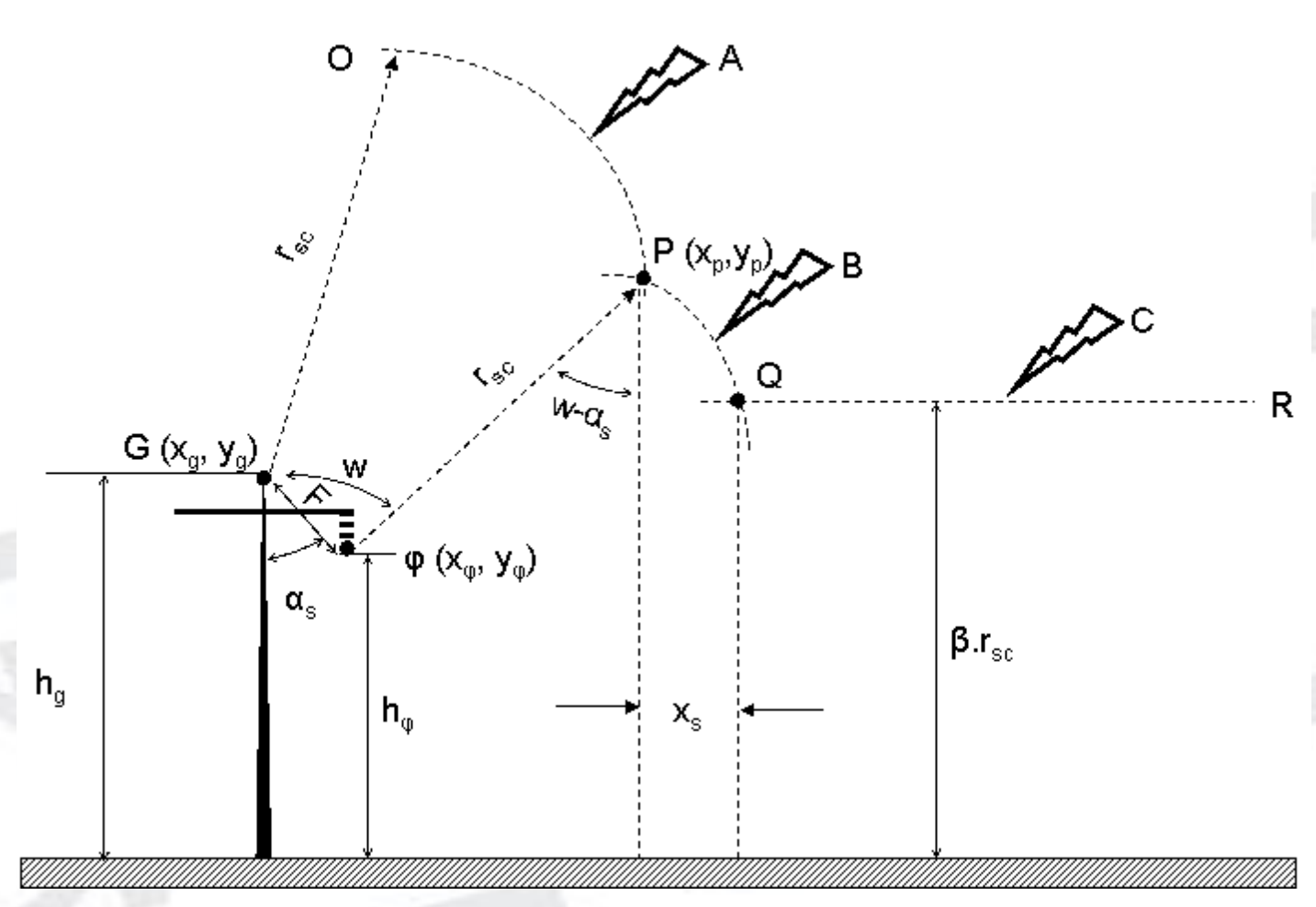
Localización del impacto	Probabilidad estimada de impacto directo [%] sin y con ramas			
	Parámetros de corriente de zona tropical		Parámetros de corriente de zona templada	
	Torres Faber	Edificios bancarios	Torres Faber	Edificios bancarios
Puntas y esquinas	83 / 78	97 / 91	78 / 71	91 / 84
Bordes horizontales	15 / 19	2.8 / 8.4	19.7 / 26	8.8 / 15
Techo plano	1.6 / 2.8	0.25 / 0.3	2.6 / 3.4	0.4 / 0.5







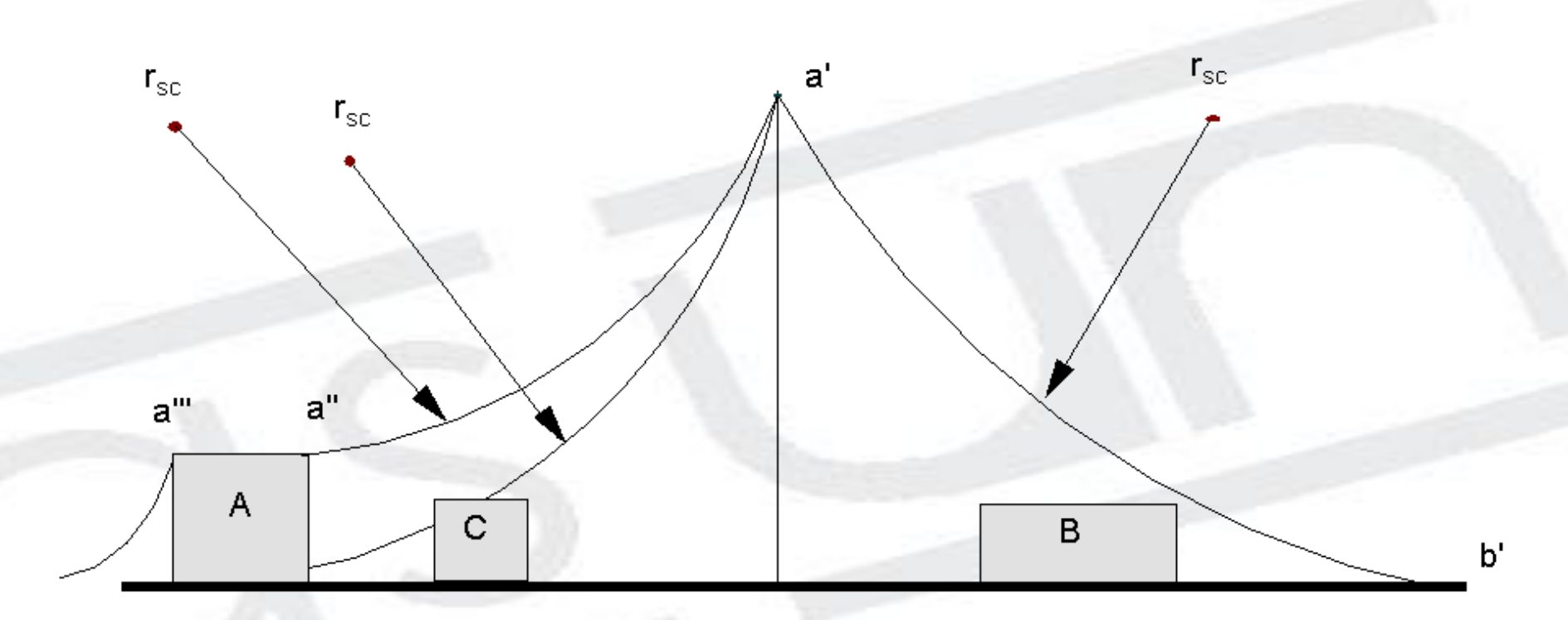
Modelo electrogeométrico MEG







Modelo Electrogeométrico MEG







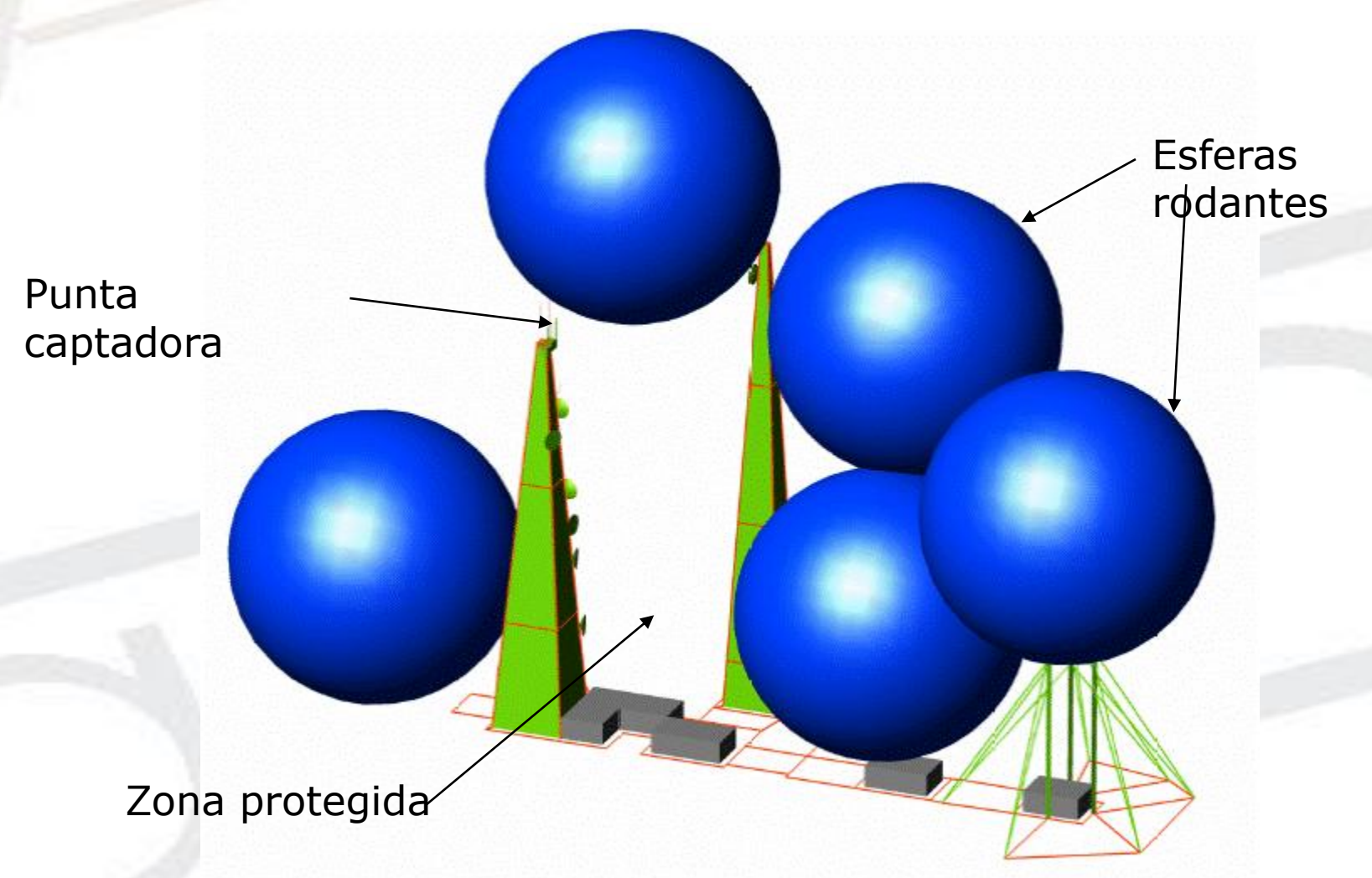
Métodos de captación

- Método de la Esfera Rodante MER
 - Se presentan problemas cuando la altura de la estructura supera su radio.
 - Es aplicable a estructuras con altura menor a 60 metros.
- Método del Ángulo de Protección MAP
 - Existe dificultad al aplicarlo a techos planos.
 - Es útil para edificaciones con formas simples pero está limitado a la altura de los mismos y el tamaño del pararrayos.
- Método del Enmallado ME
 - Es útil para proteger superficies planas como techos y terrazas.





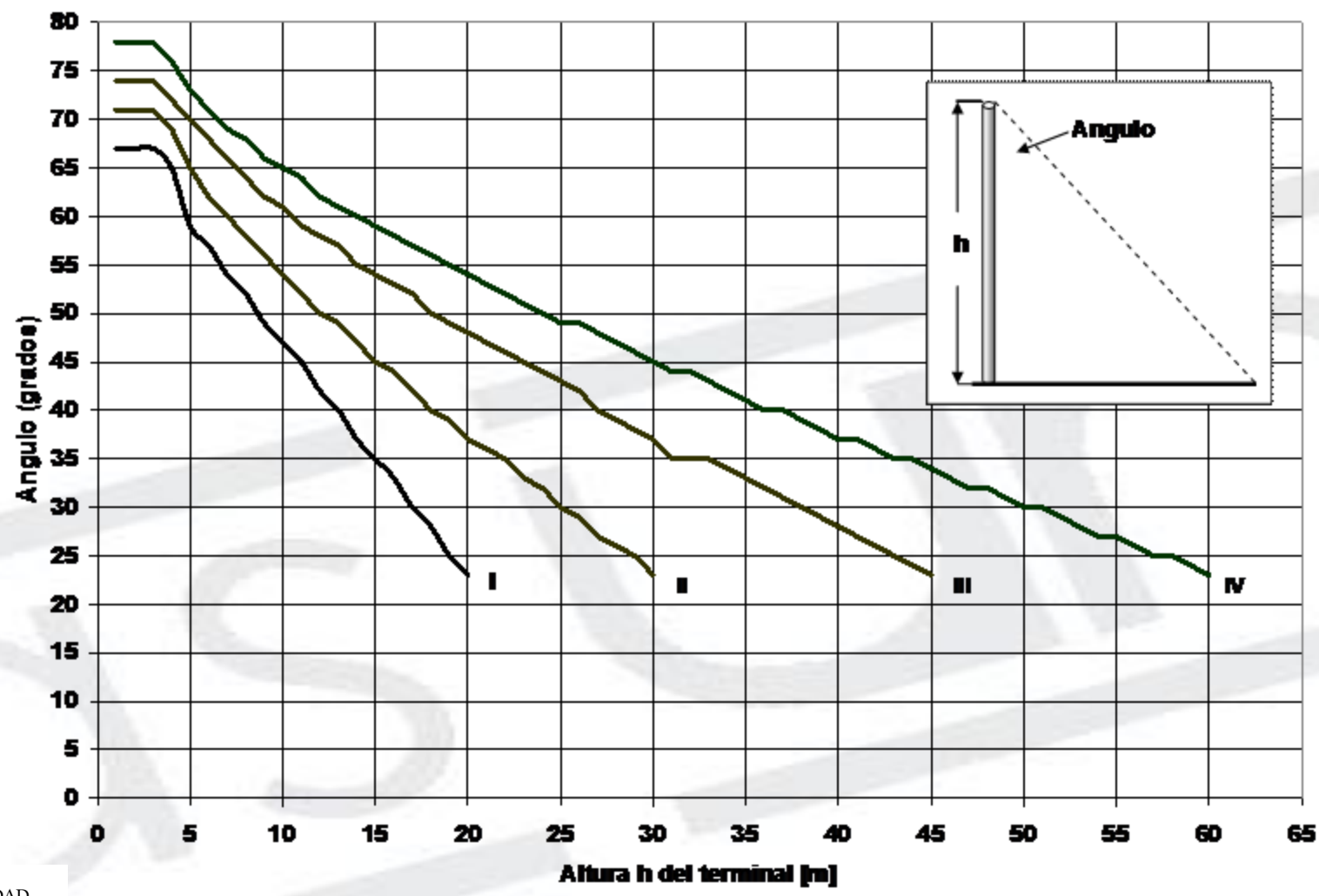
Método MER - Ej. Cerro Kennedy







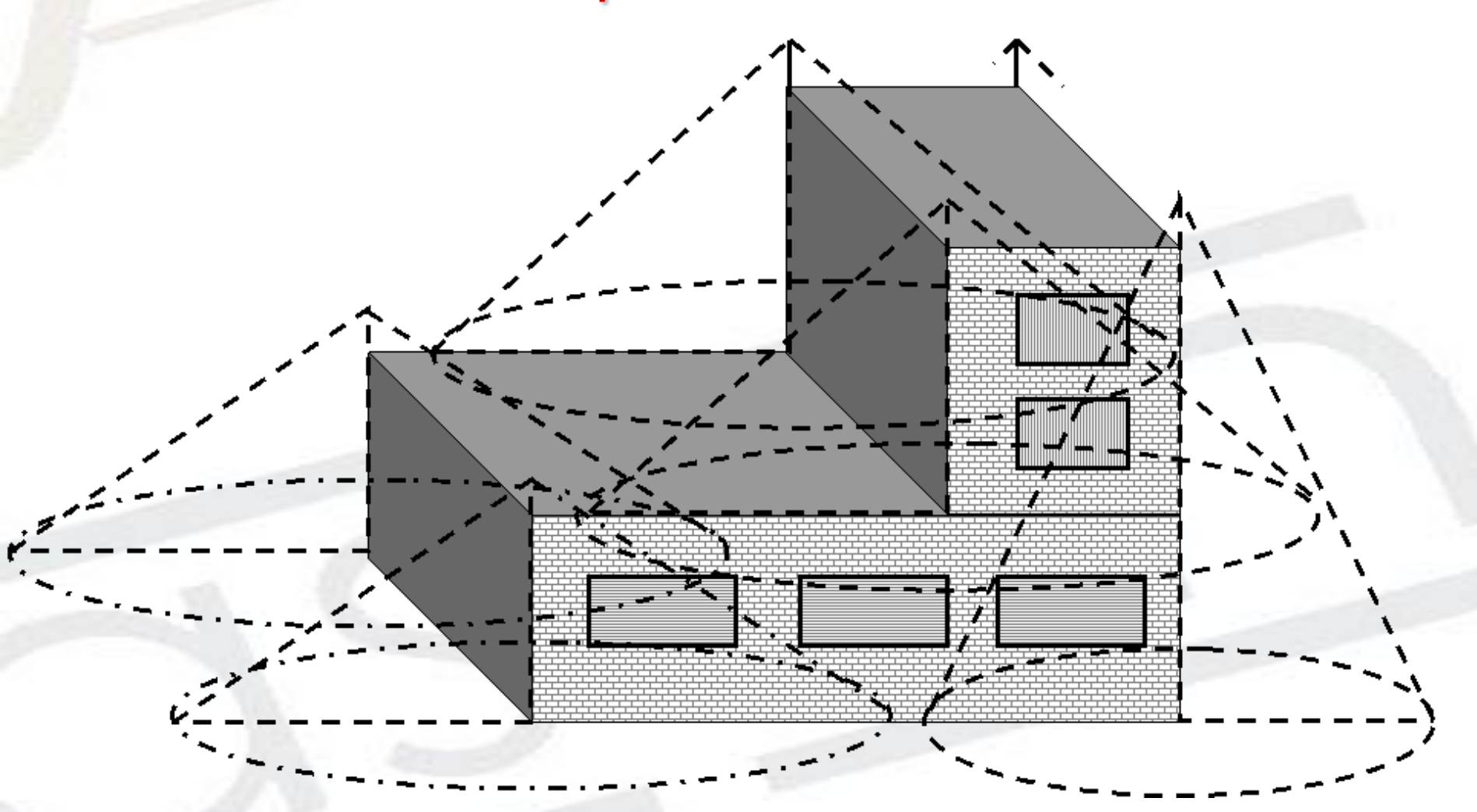
Sistema de captación Método del Ángulo de Protección - MAP







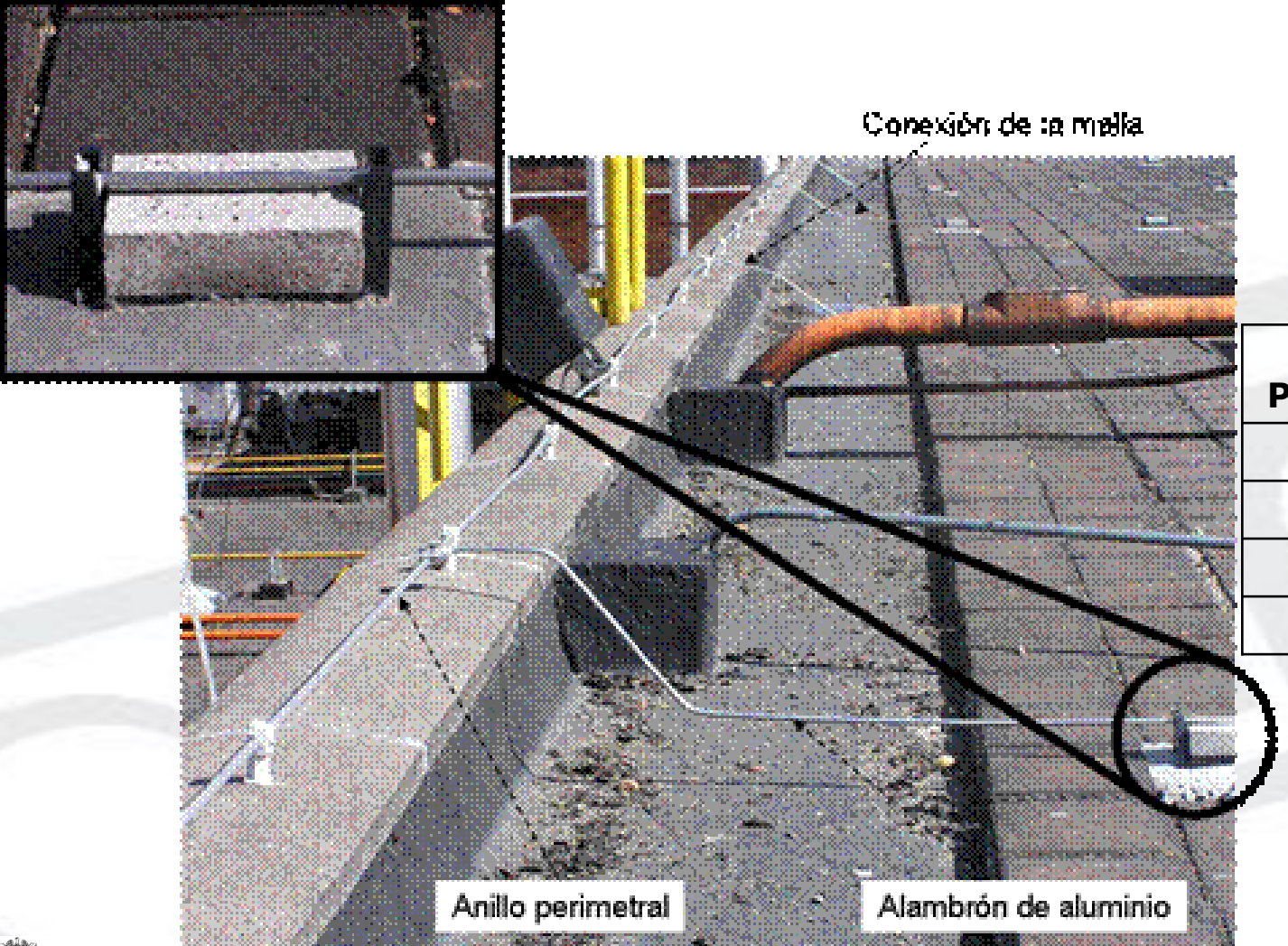
Sistema de captación MAP - Conos de protección







Sistema de captación Método del Enmallado



Nivel de Protección	Malla [m]
I	5x5
II	10x10
III	15x15
IV	20x20





- •No existen sistemas de protección contra rayos 100% eficaces
- "Tengo sistema de protección, luego duermo feliz"
- •En la ciencia no hay verdades absolutas sino certezas temporales: Quedan aun por responder muchas preguntas científicas.
- •Los "vivos" aprovechan las lagunas del conocimiento.





St Michael's Cemetery, Toronto Leon Konigsthal, Jr. Summer 1990





Parámetros del rayo para aplicaciones en ingeniería

- 1 Nivel Ceráunico
- 2 Densidad de Descargas a Tierra
- 3 Polaridad
- 4 Multiplicidad
- 5 Amplitud de la corriente de Retorno
- 6 Forma de impulso de la corriente de retorno

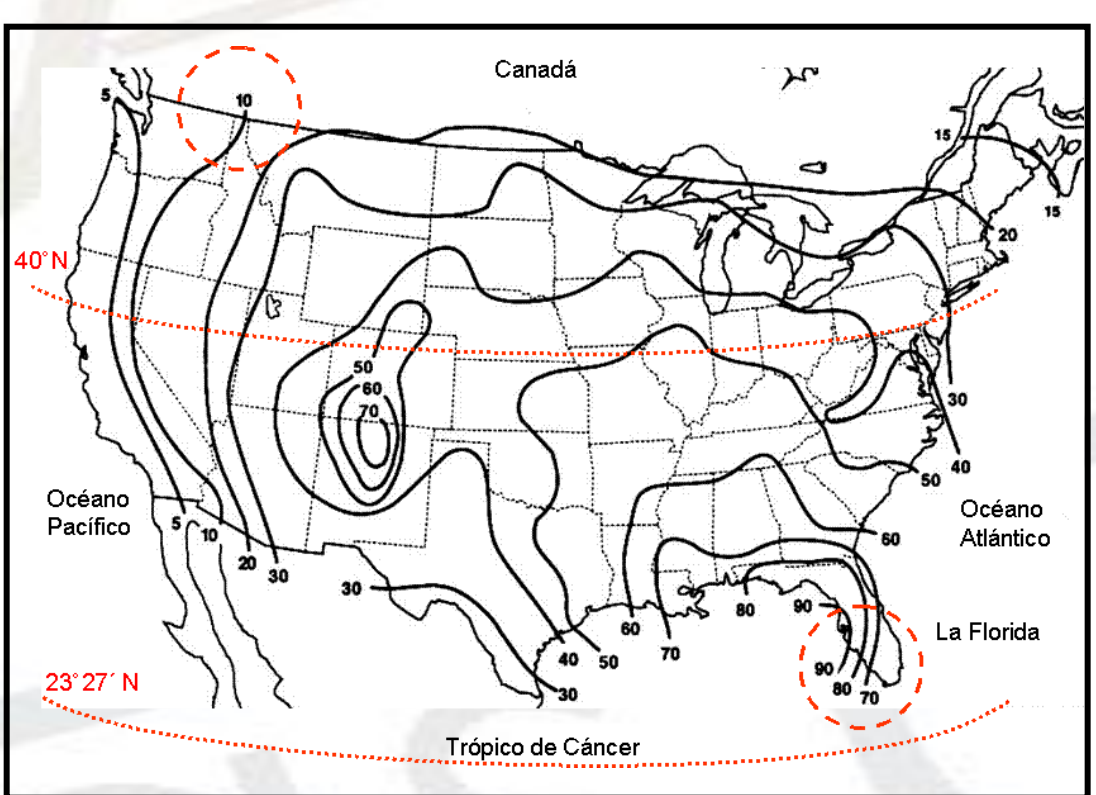


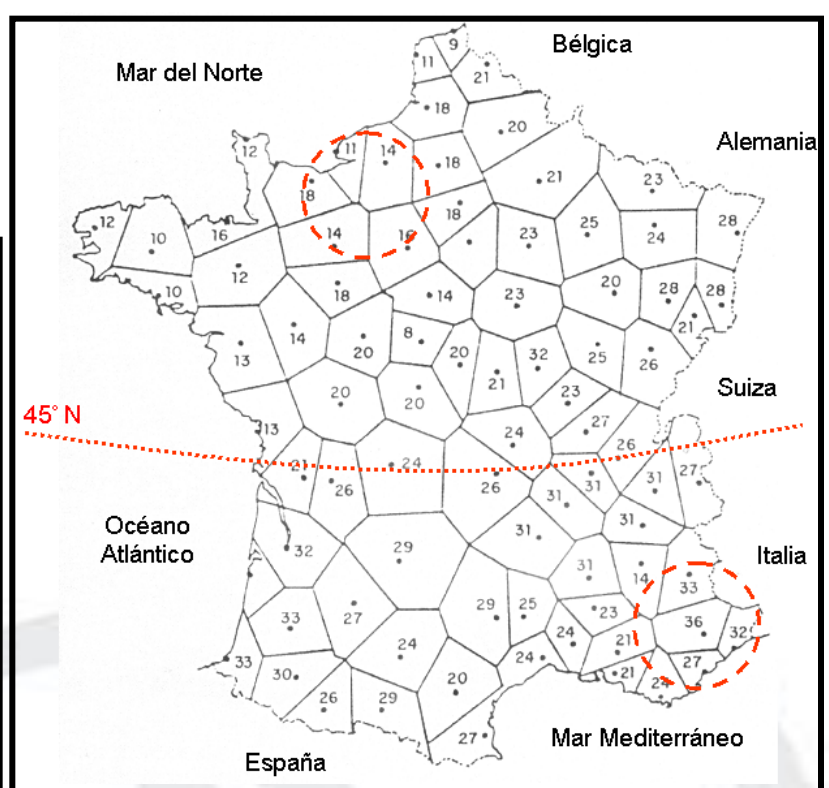
Espacio y Tiempo (CIGRE1999)

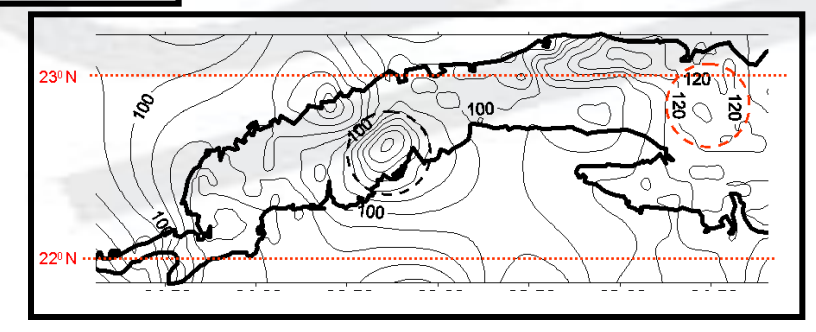




1. Nivel Ceráunico





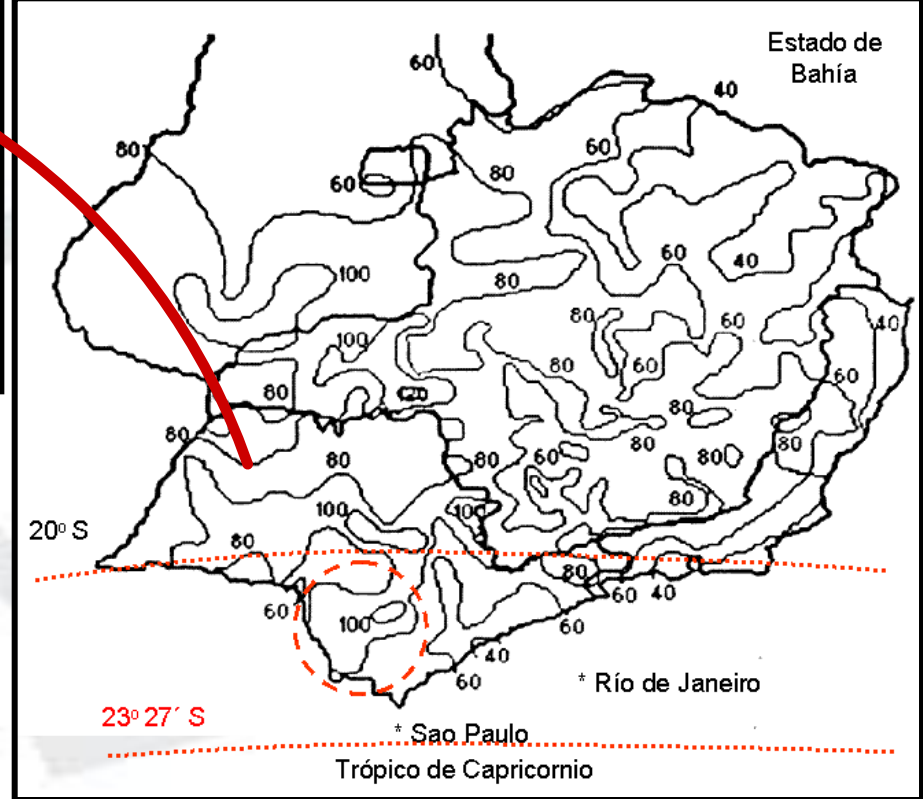






VENEZUELA PANAMA (} **BRASIL ECUADOR PERU**

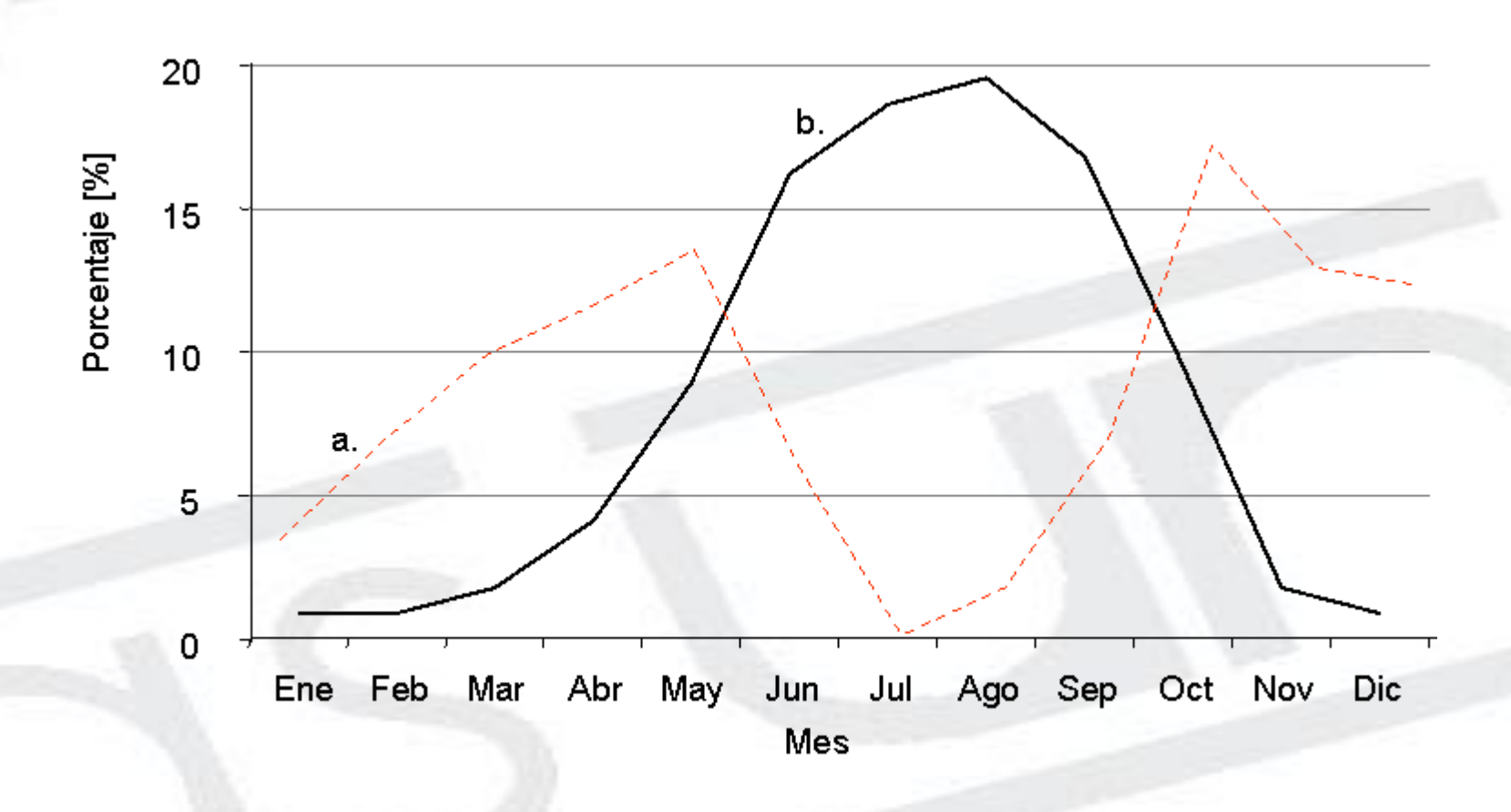
Vientos Alisios







Variación temporal

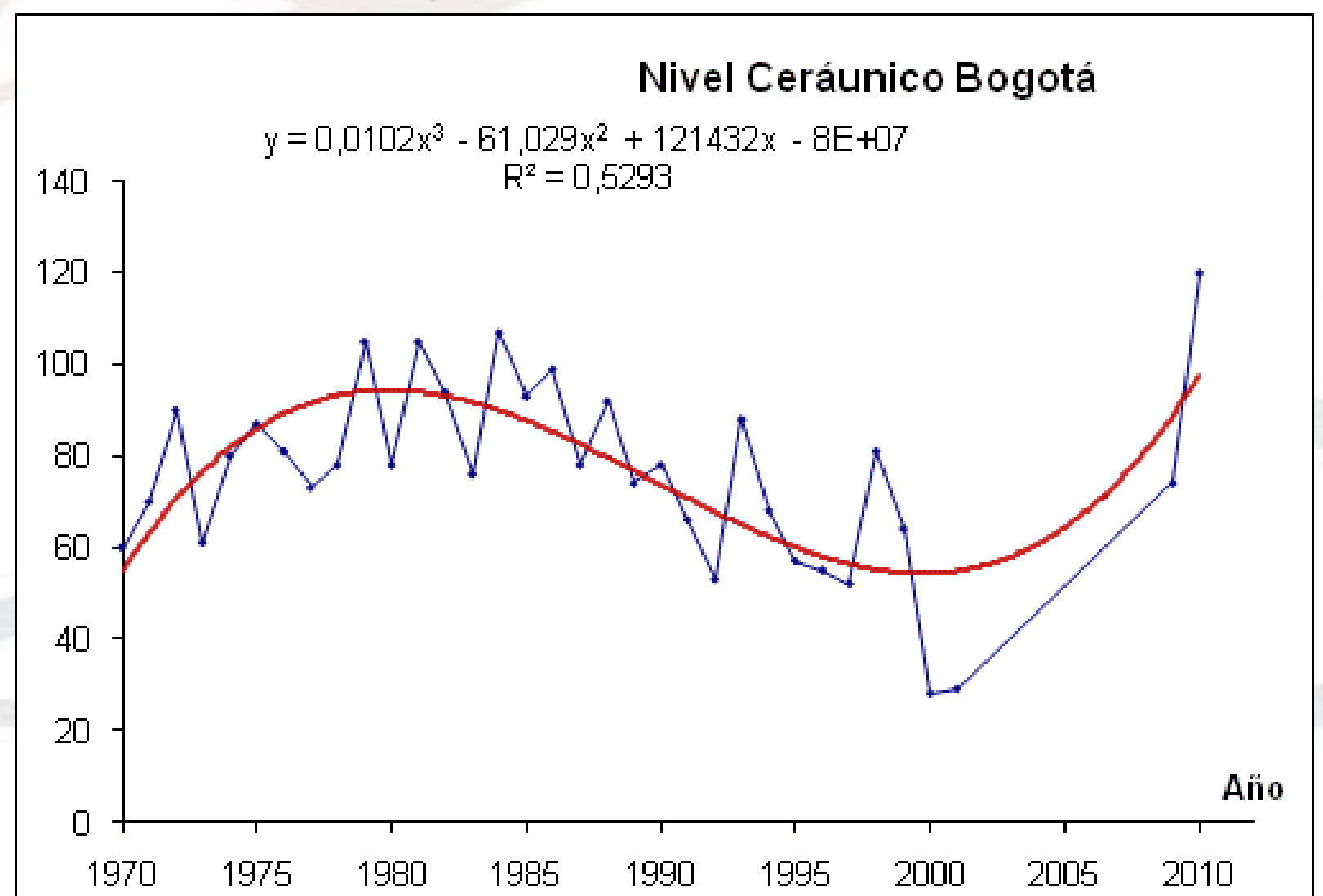


a. Bogotá. b. La Habana





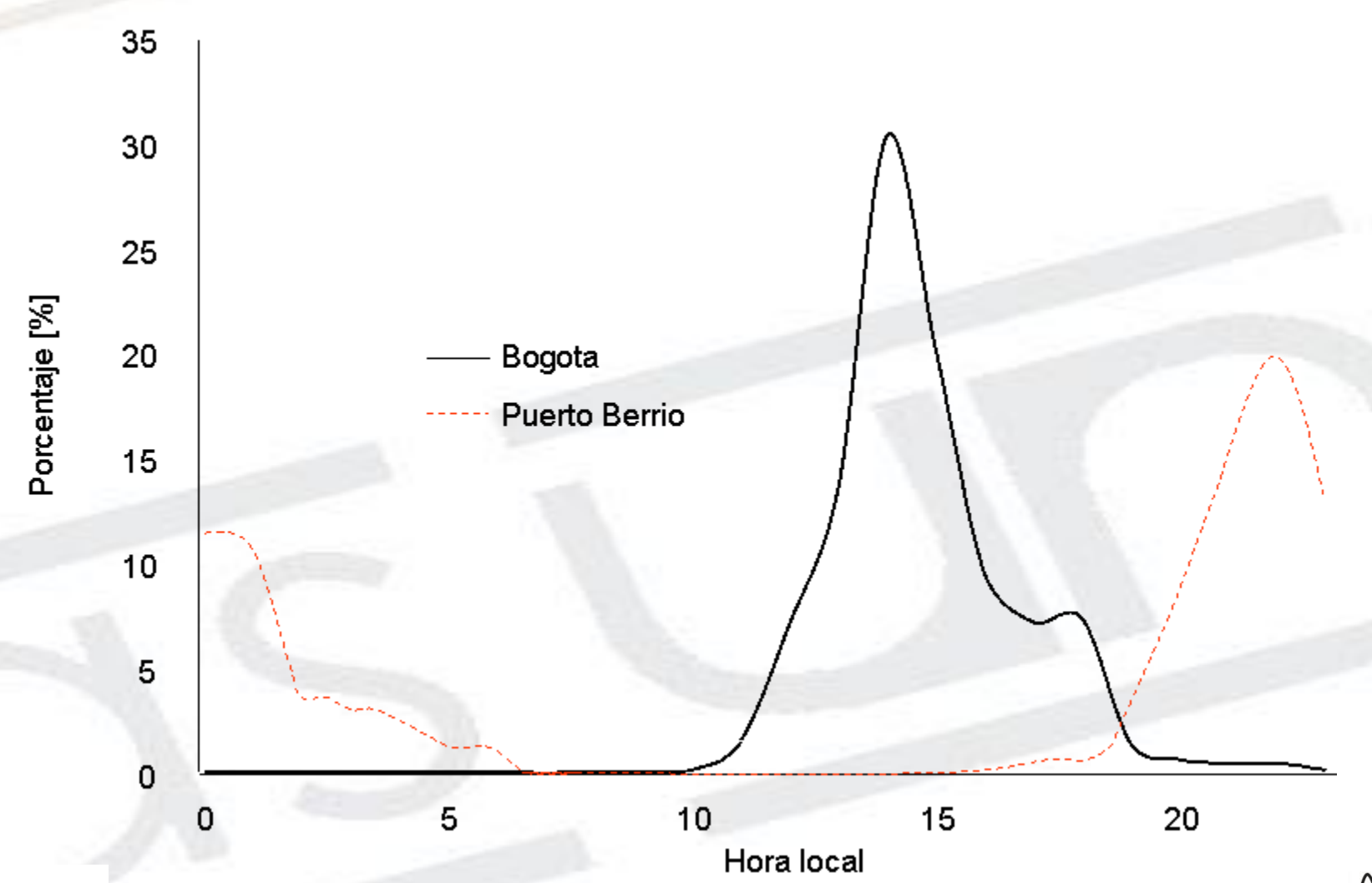
Variación temporal





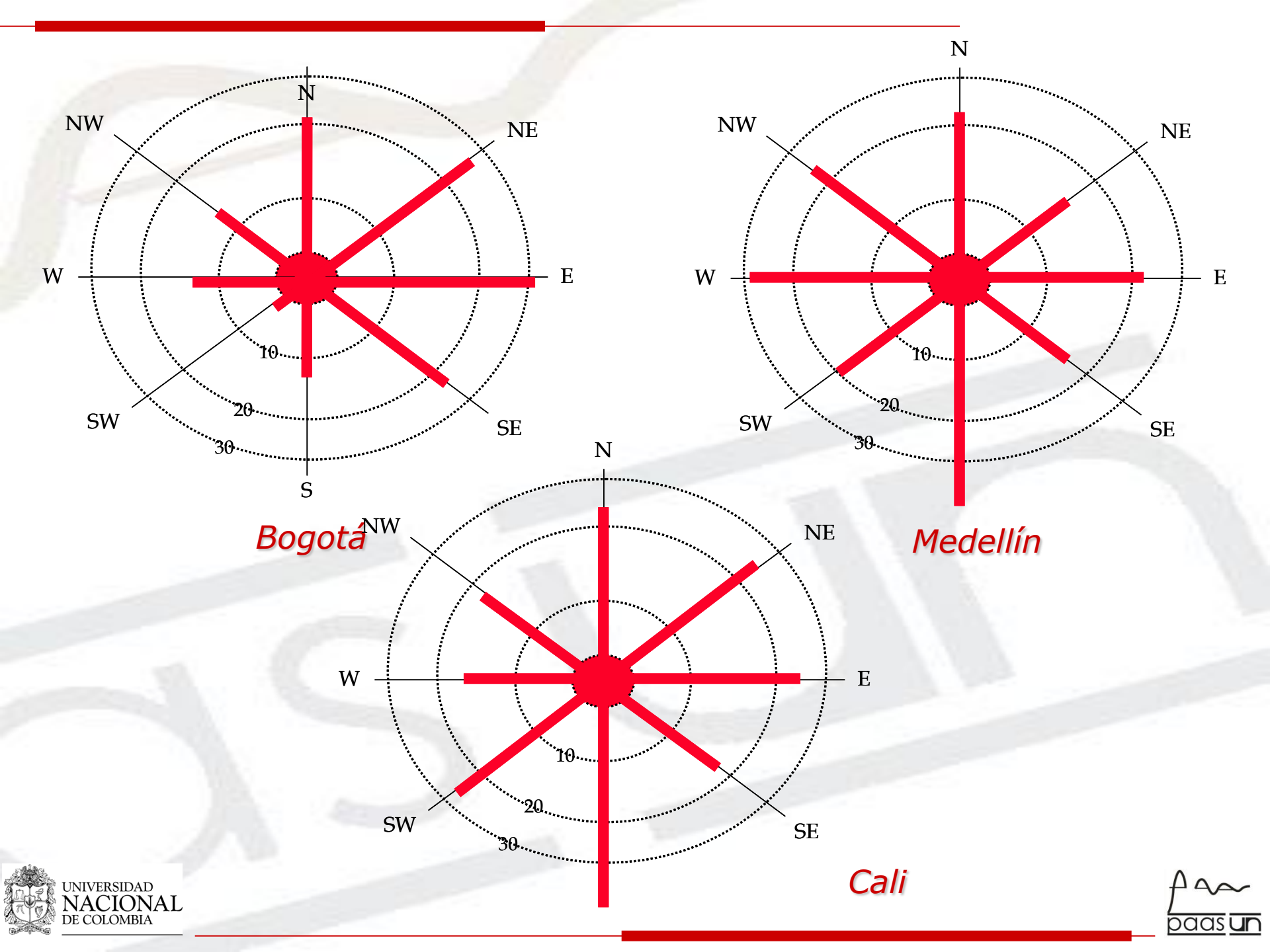


Variación temporal









2. Densidad de Descargas a Tierra - DDT

Número de rayos a Tierra por kilómetro cuadrado - año

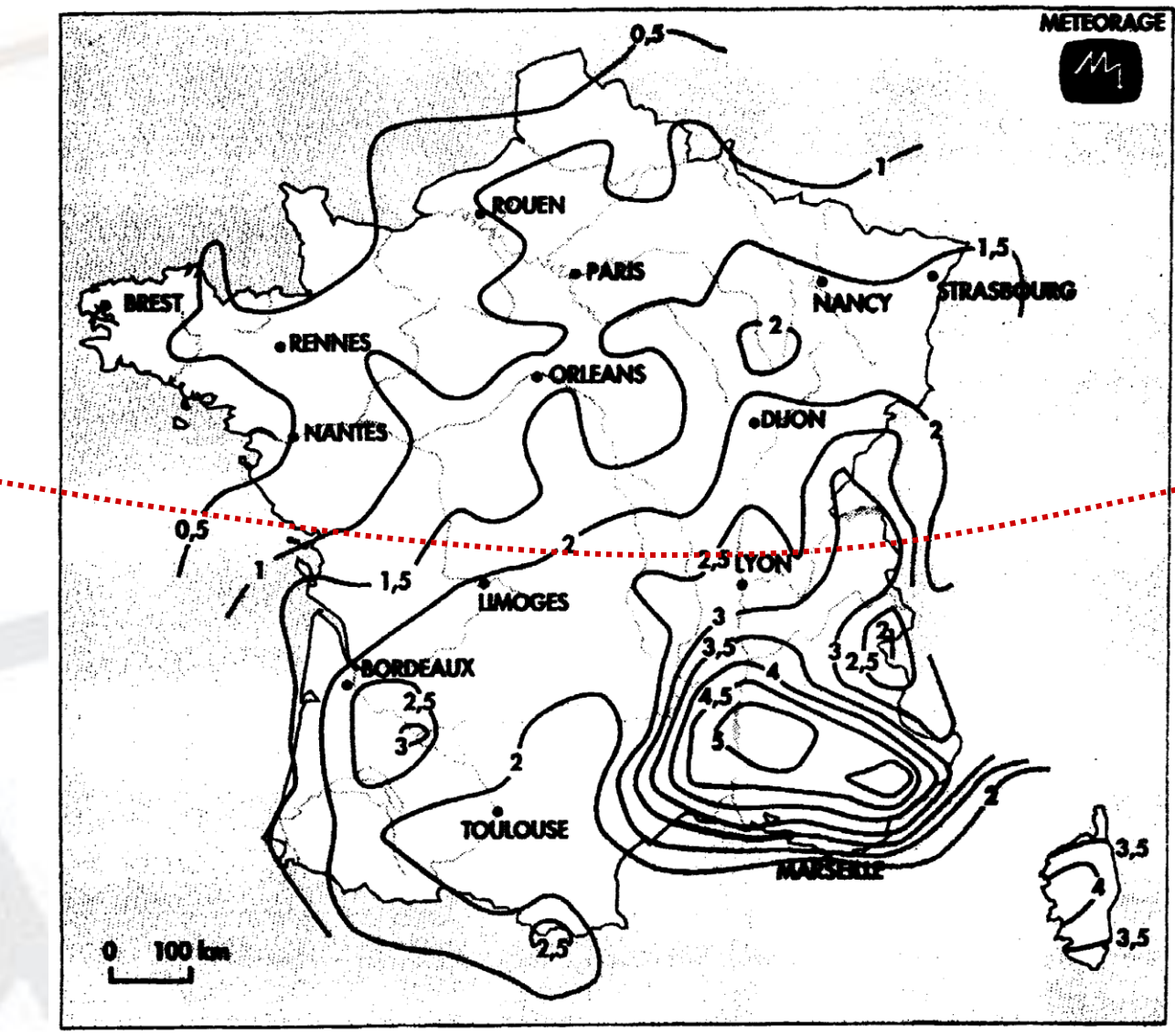
Determinado por:

- Mediciones directas
- Ecuaciones empíricas





DDT Francia



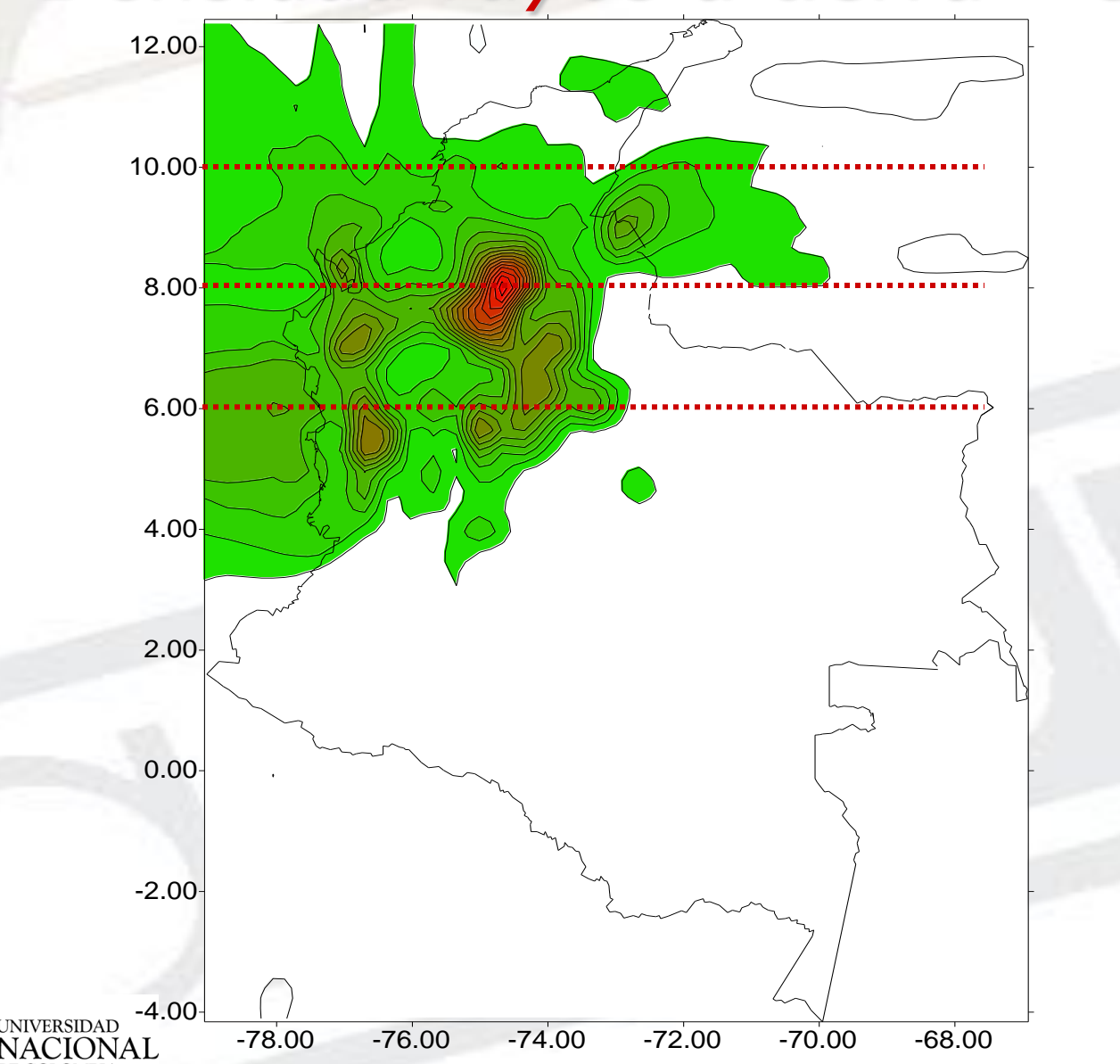


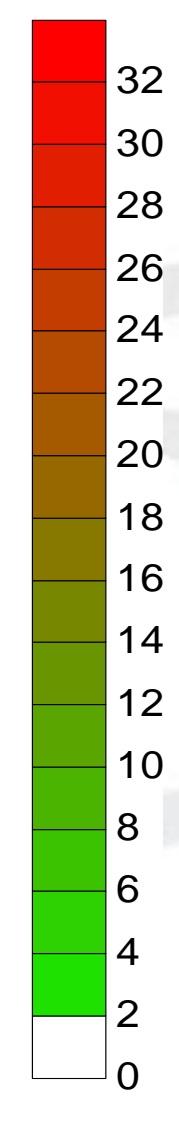
45° N

Pour connaître la densité de foudroiement sur l'une des 36000 communes de France : 3617 METEORAGE.



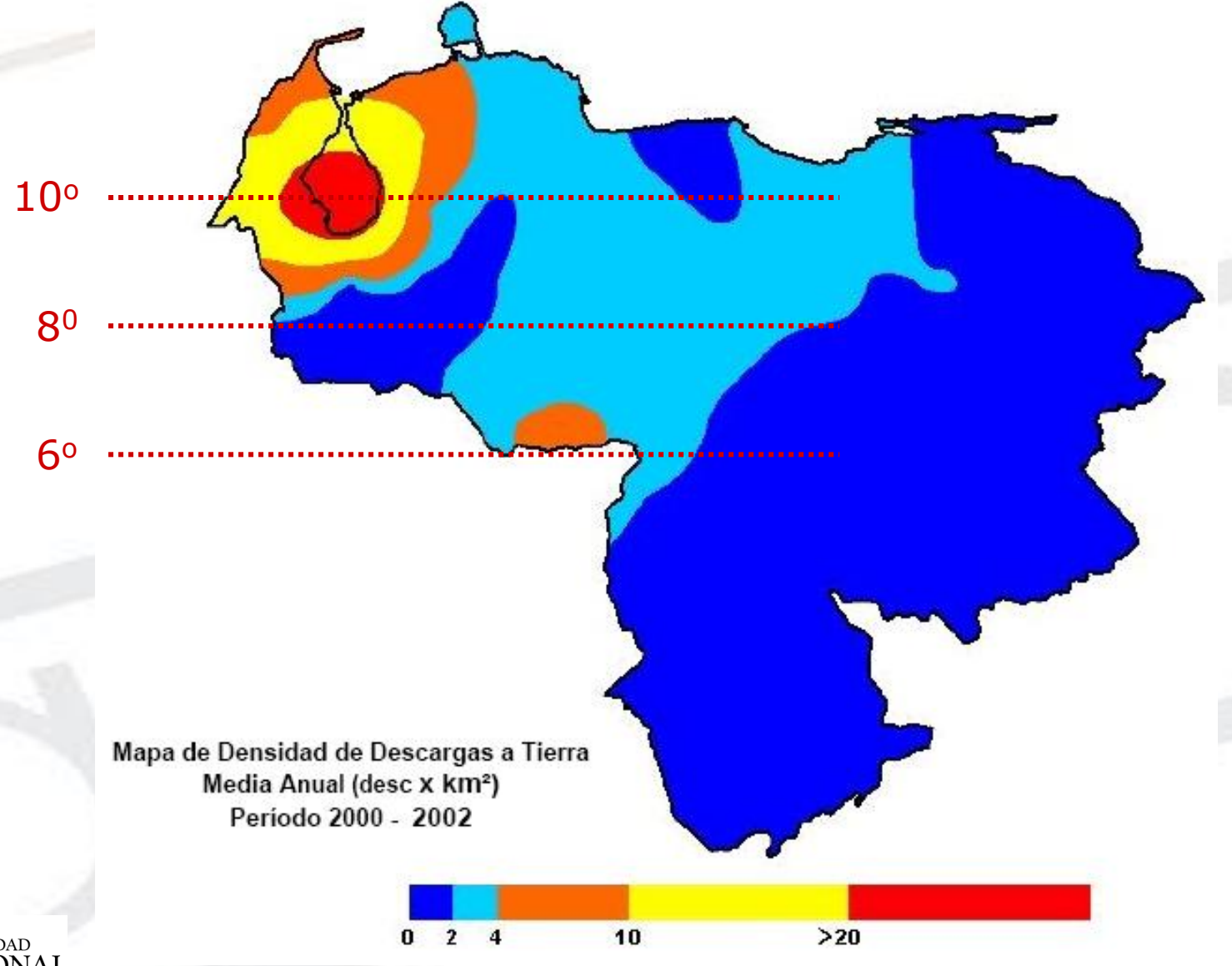
Densidad rayos a tierra - Colombia







Densidad rayos a tierra - Venezuela







10 zonas con más alta densidad (rayos/km²-año) en el mundo¹

Ruanda	82,7
R. Dem. del Congo	66,3
R. Dem. del Congo	52,1
R. Dem. del Congo	50,3
Malasia	48,3
Nigeria	47,4
Gabon	47,1
Argentina	42,7
Colombia	39,9
Paraguay	37,0
	R. Dem. del Congo R. Dem. del Congo R. Dem. del Congo Malasia Nigeria Gabon Argentina Colombia

UNIVERSIDAD NACIONAI DE COLOMBIA

¹ Christian, H. J., R. J. Blakeslee, and S. J. Goodman, The detection of lightning from geostationary orbit, J. Geophys. Res. 2004

Ecuaciones de DDT en función de NC

Ecuación Propuesta	Autor	DDT, NC=57 (1995)	DDT, NC=68 (1994)	DDT, NC=88 (1993)
DDT medido en Bogotá	-	0.6	1.2	2.4
0.053*(NC) ^{1.17}	Eriksson, Africa	6	7.4	10
0.04*(NC) ^{1.25}	Eriksson, IEEE	6.3	7.8	10.8
0.15*(NC)	Brown, USA	8.6	10.2	13.2
0.1*(NC)	Aiya, India, IEC	5.7	6.8	8.8
0.14*(NC)	Anderson	8	9.5	12.3
0.17*(NC)	Horn, U.S.A	9.7	11.6	15
0.0017.NC ^{1.56}	Torres, Colombia	0.93	1.22	1.83





Correlación DDT y NC

DDT = 0.024.NC $^{1.12}$ México

DDT = $0,030.NC^{1,12}$ Brazil

DDT = $0,0017.NC^{1,56}$ Colombia





Proposal IEEE 1410 IEC 62305-2

"NOTE- If the map of Ng is not available, it may be estimated in several ways:

The GFD **for temperate regions** may be estimated from the keraunic level using equation:

$$Ng = 0.04*Td^{1.25}$$
 (IEEE)
 $Ng = 0.1Td$ (IEC)

In the case of **tropical regions**, the GFD may be estimated from the keraunic level using the results found in mountainous regions of Mexico, Brazil and Colombia as follows:

$$Ng = 0.024 \times Td^{1,12}$$
 México
 $Ng = 0.030.Td^{1,12}$ Brazil
 $Ng = 0.0017.Td^{1,56}$ Colombia

Where

Td is the number of thunderstorm days per year (the keraunic level)"





3. Amplitud de la corriente de retorno del rayo

□ La amplitud de la corriente de retorno de la descarga eléctrica atmosférica es frecuentemente referida como el parámetro más importante para aplicaciones en ingeniería.

Determinado por:

- Modelos matemáticos
- Mediciones directas





Valor pico corriente de retorno del rayo en diferentes zonas del planeta (Adaptado de Lee et. al. 1979)

País	Mediana (kA)	
Estados Unidos	23	
Suiza	30	
Suecia	30	
Polonia	31	
Malasia	36	
Brasil ¹	43	
Rodesia	42	
Colombia ²	43	

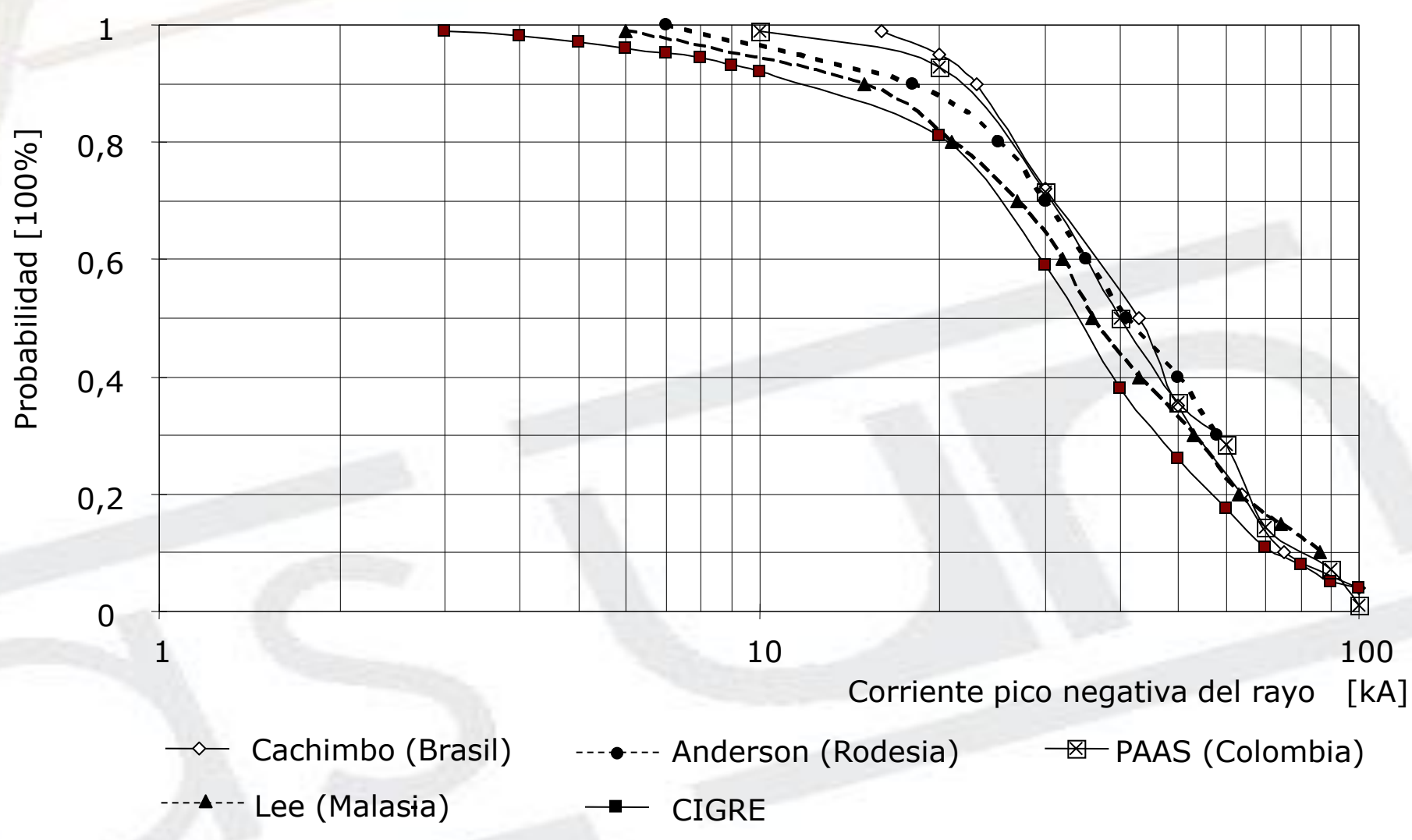
¹ Monte Cachimbo, Minas Gerais, Brasil 2004

² Mediciones de campo eléctrico a menos de 100 km. y aplicando el modelo MTL. Torres, H. "El Rayo", Editorial UNIBIBLOS, Bogotá, 2002.





Corriente de rayo







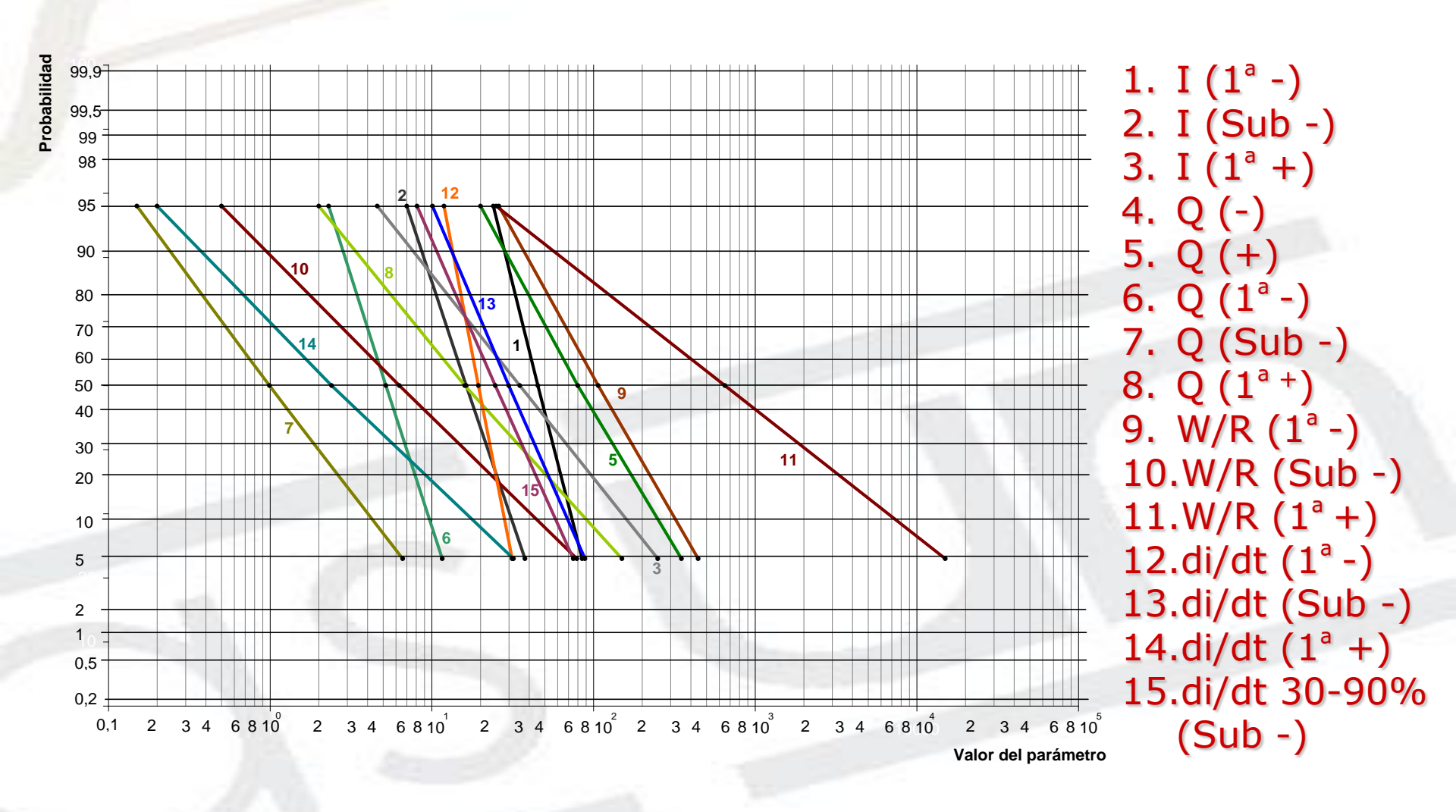
Corriente pico de la primera descarga de retorno negativa

Zona	Media	δ_{ln}	
Templada	31.1	0.48	
Tropical	45.3	0.39	





Parámetros del rayo, zona tropical

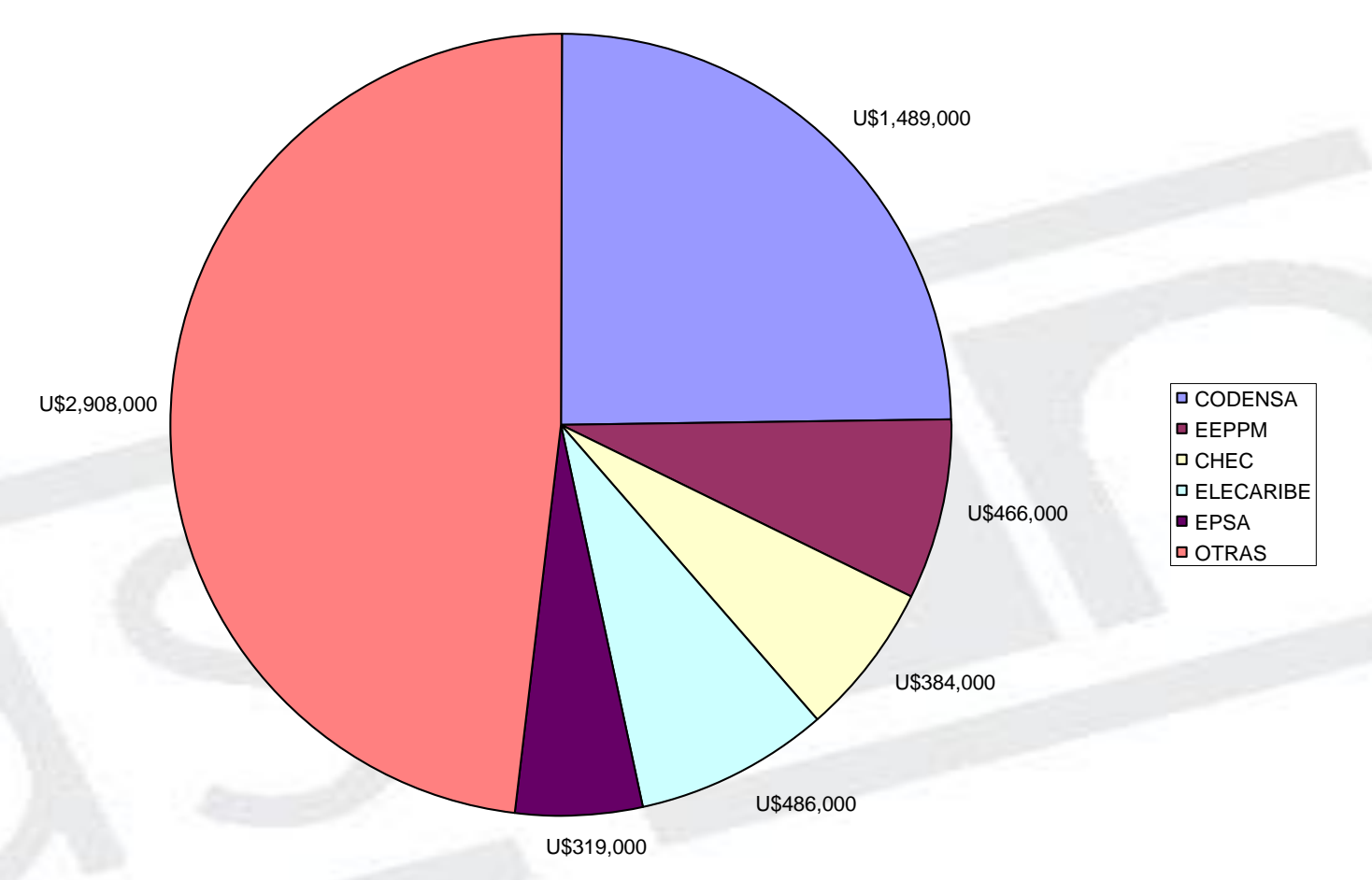








Costo Anual de Reposición de Transformadores de distribución Fallados en Colombia







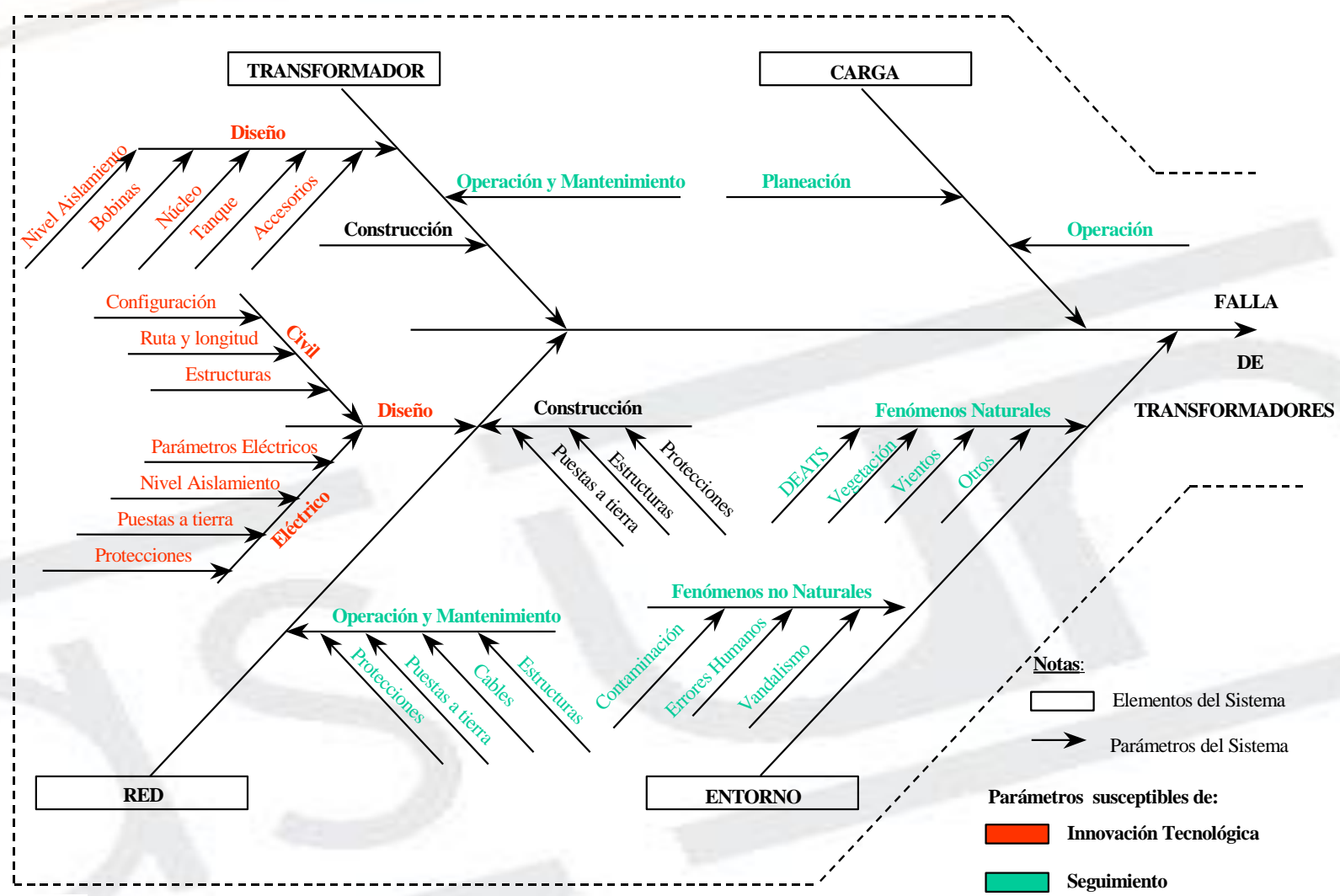
Metodología de los 3 elementos integrales

- 1. Diagnóstico Integral del problema (DI)
- 2. Alternativas tecnológicas, Diseño e Implementación Integral de una solución (ATS)
 - 3. Control y monitoreo de variables (CM)





Diagrama Causa – Efecto (DI, ATS)







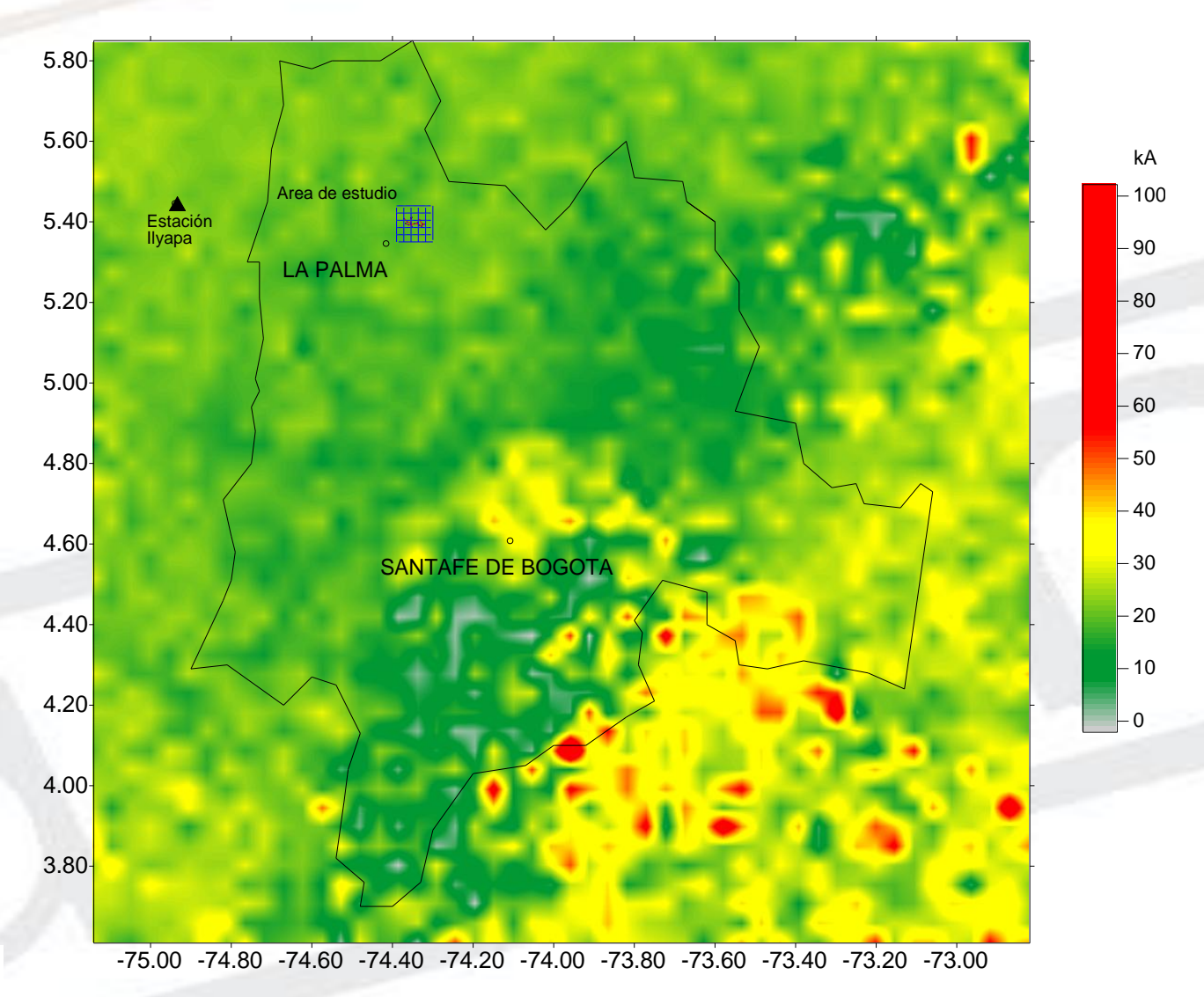
La Norma NTC4552-2004 (DI)

Riesgo = 0,7 *
$$R_{DDT}$$
 + 0,3 * R_{labs}





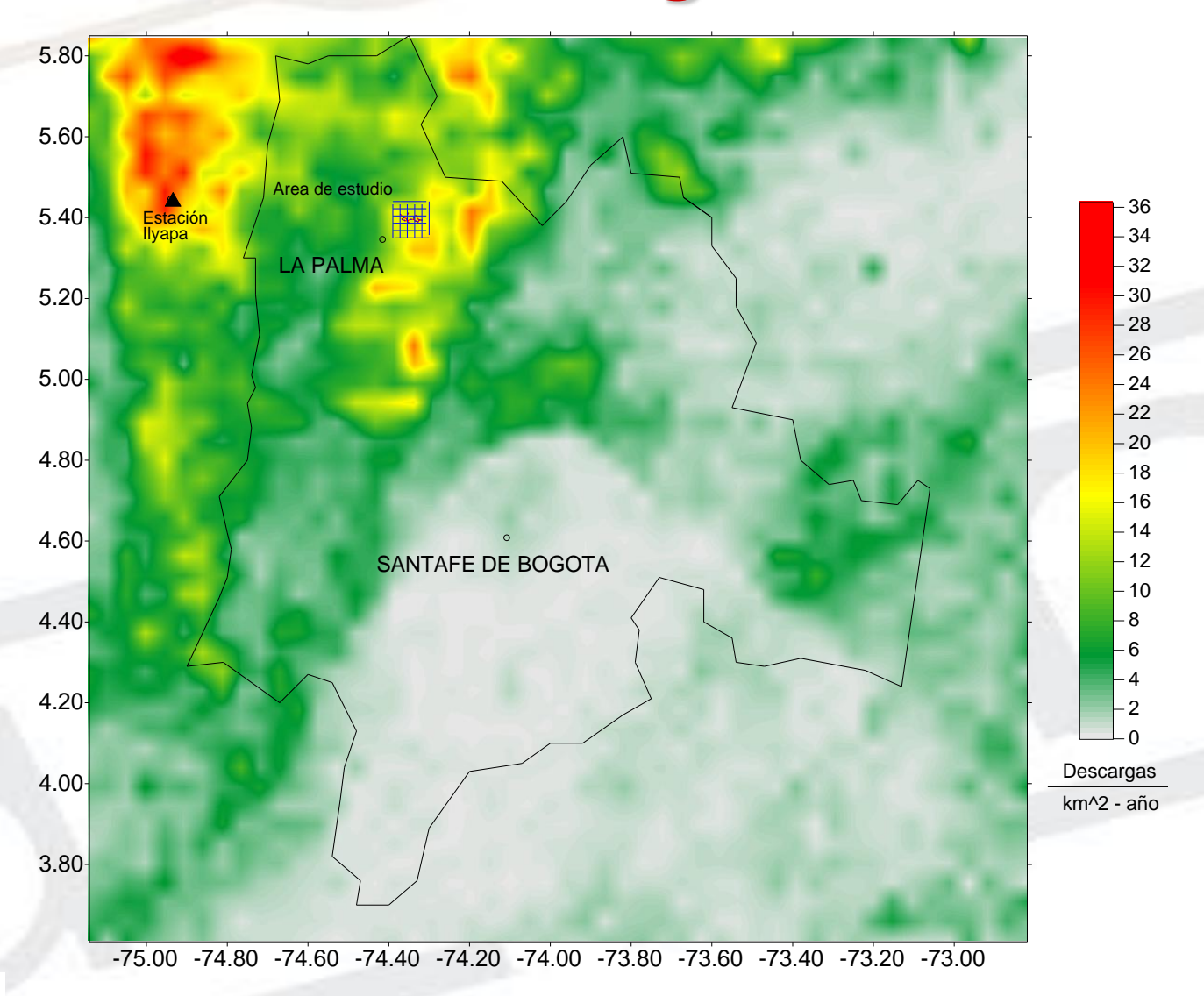
Corriente Absoluta Promedio (DI)







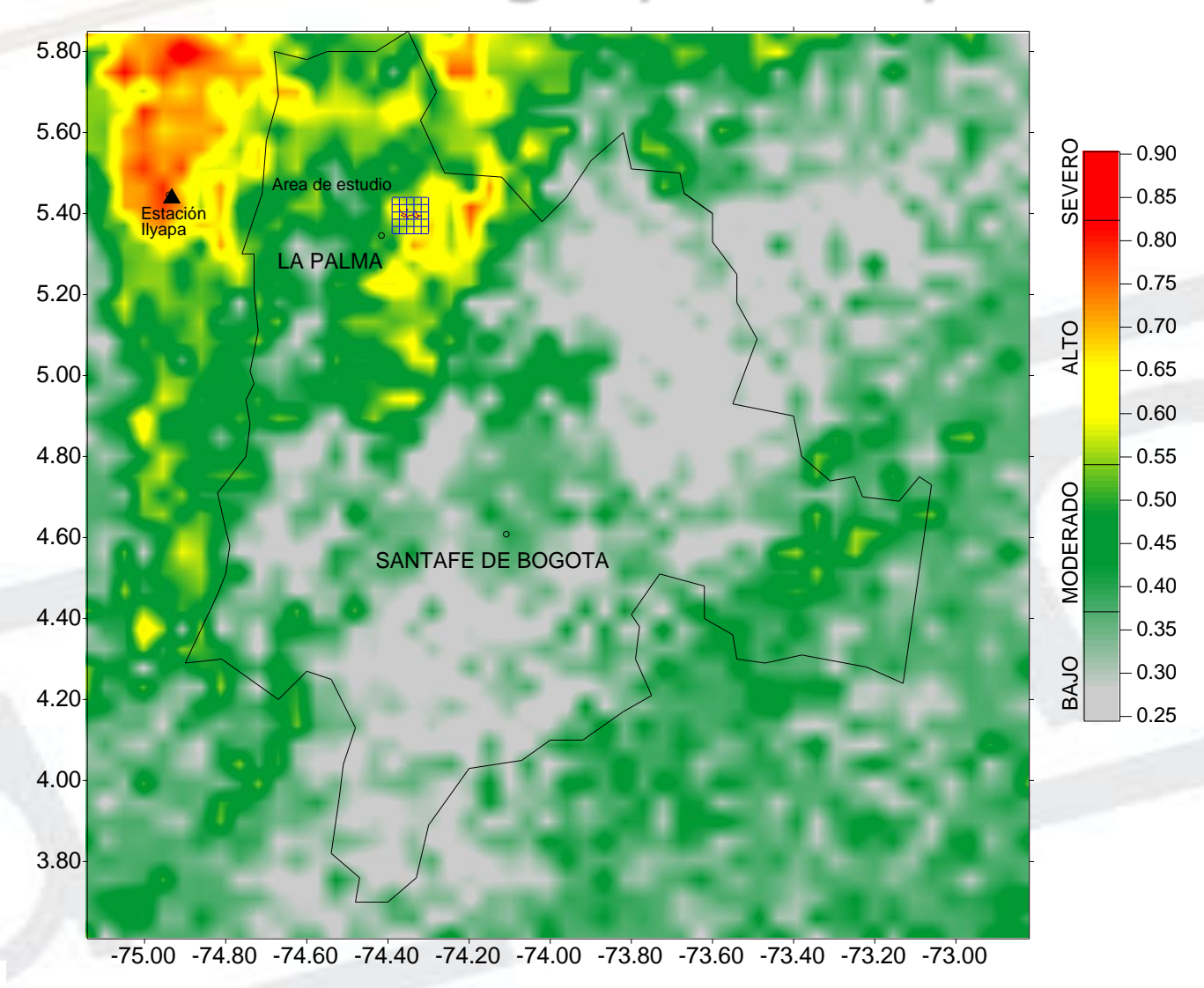
Densidad de Descargas a Tierra (DI)







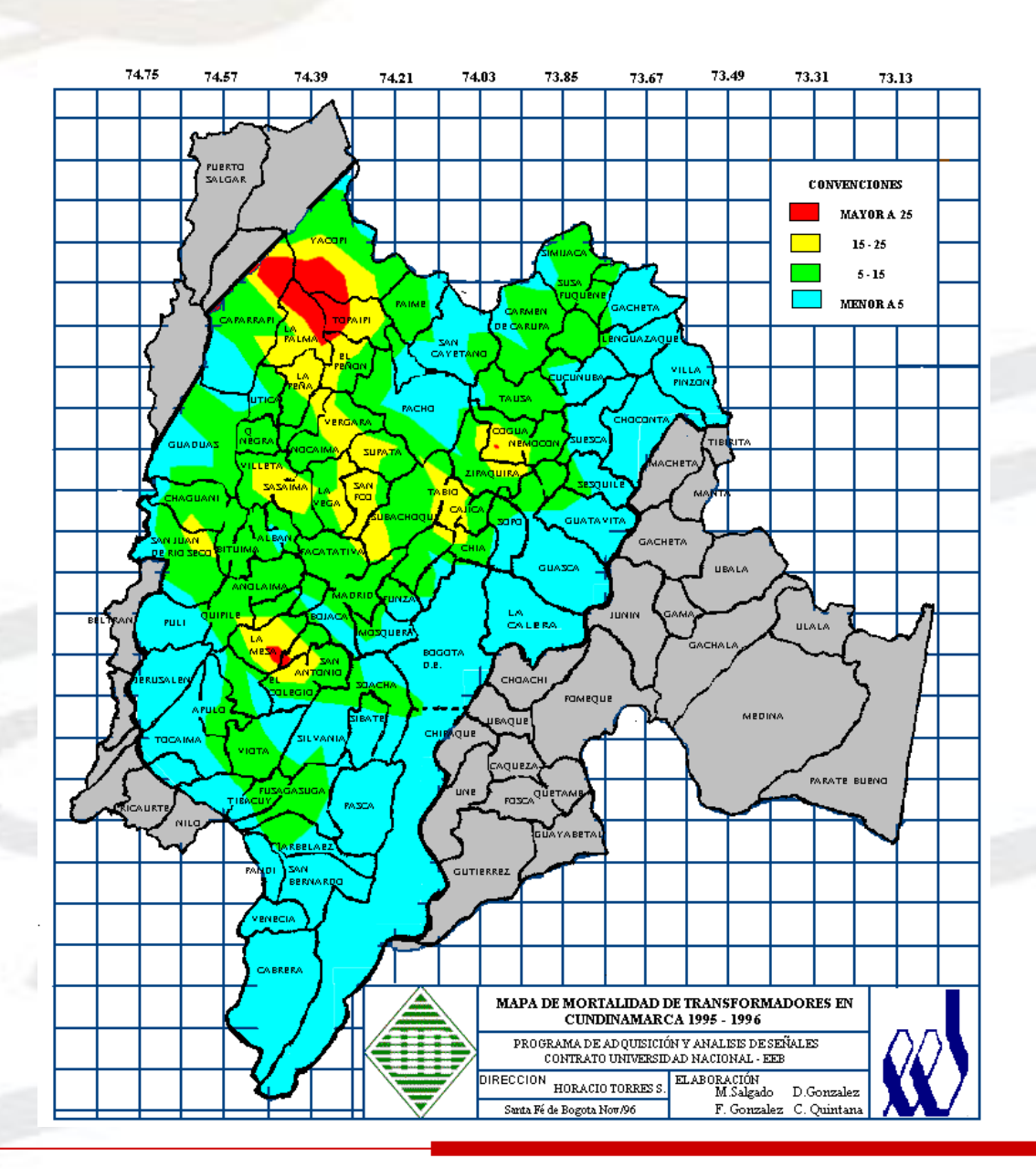
Indice de Riesgo por Rayos (DI)







Mortalidad de Transformadores (DI)

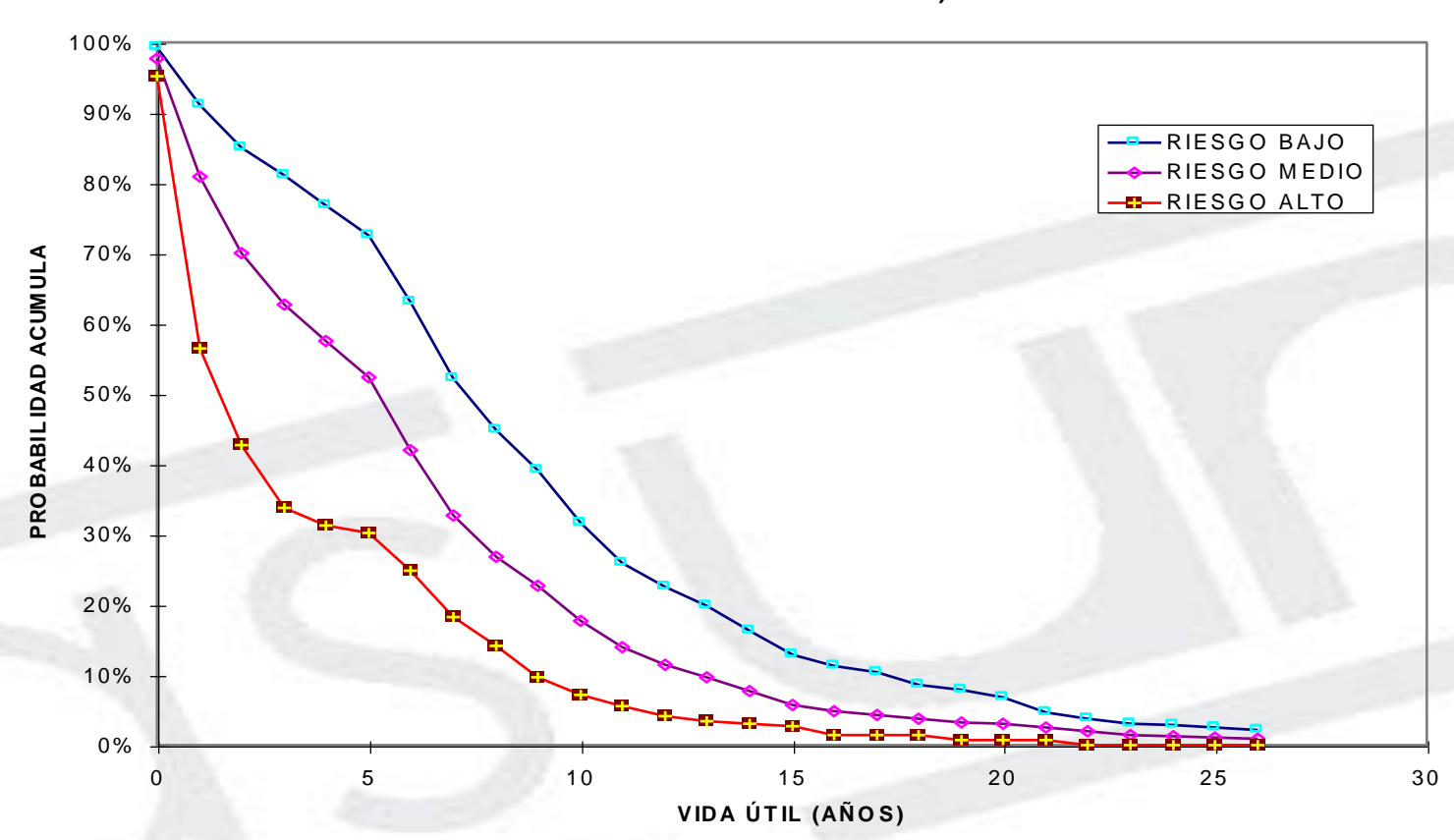






Índice de Vida Útil (DI)

PROBABILIDAD ACUMULADA DE VIDA ÚTIL PARA LOS TRANSFORMADORES FALLADOS EN EL SISTEMA RURAL EEB PARA TRES NIVELES DE RIESGO POR RAYOS (ENE/94 - JUN/96)







Manipulación del Trafo Tipo Estándar (DI)







Manipulación del Trafo Tipo Estándar (DI)







Manipulación del Trafo Tipo Estándar (DI)





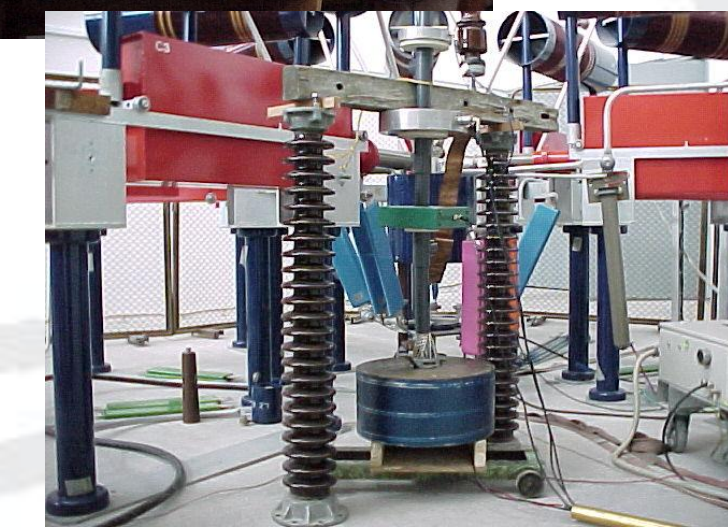


Pruebas de Campo y Laboratorio

- □ Cortacircuitos
- □Aisladores
- □Estructura Cruceta
- □Descargadores de sobretensión y fusibles
- □Transformadores tipo estándar

Los elementos ensayados cumplen con los valores establecidos en las normas en lo referente a los niveles de aislamiento para condición normal y contingencia.









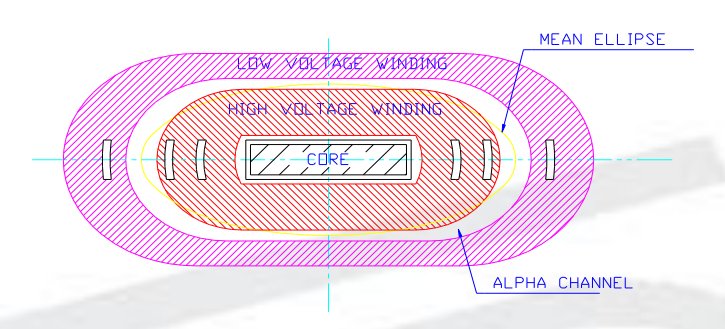
Modelamiento matemático del transformador de distribución ATS)

Cálculo de capacidades

Ecuaciones basadas en métodos electromagnéticos o por medio del método de Simulación de cargas.

Cálculo de Inductancias

En ambos casos (trafos mono y trifásicos) la inductancia propia fue calculada por medio de una expresión analítica derivada de consideraciones de campos electromagnéticos.



$$C = \frac{2.\pi.\varepsilon.I}{\operatorname{arcosh}(R_2/c) - \operatorname{arcosh}(R_1/c)}$$

$$M = \mu_0 N_1 N_2 \int_{-l_2-l_1}^{l_2} \int_{0}^{l_1} \int_{\sqrt{(z_1-z_2)^2 + r_1^2 + r_2^2 - 2r_1 r_2 \cos \psi'}}^{r_1 r_2 \cos \psi' d\psi' dz_1 dz_2}$$

$$L = \mu_0 N^2 \int_{0.00}^{h.h.\pi} \frac{\frac{a^2 b^2 \cos \psi'}{a^2 + (b^2 - a^2) \cos^2 \psi'}}{\sqrt{(z_1 - z_2)^2 + \frac{2 a^2 b^2 (1 - \cos \psi')}{a^2 + (b^2 - a^2) \cos^2 \psi'}}} d\psi' dz_1 dz_2$$



Parámetros medidos y calculados (ATS)

Trafos monofásicos

Bobina	Cg HV(pF)	Cg. LV(pF)	С _{А_В} (рF)	L. HV: (mH)	L. LV: (mH)
Valor calculado	471.2	621.8	897.1	662.9	305.8
Valor medido	424.0	649.0	817.0	468.5	268.8

Trafos trifásicos

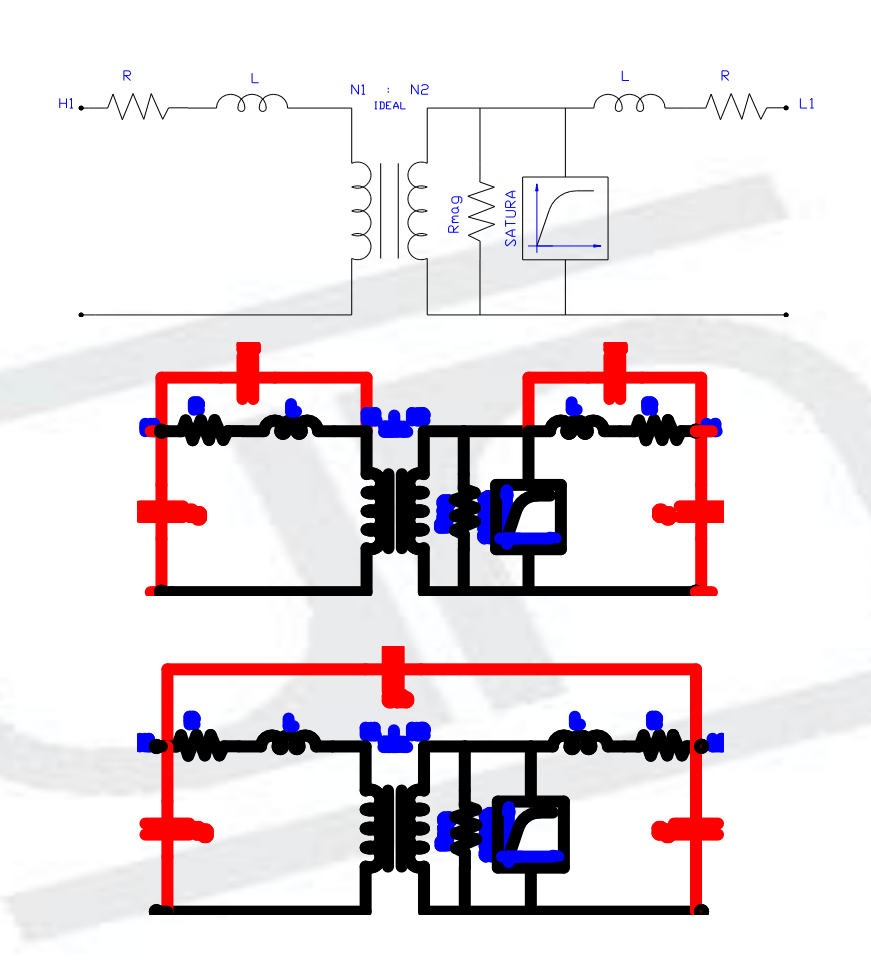
Bobina	Cg.HV (pF)	Cg.LV (pF)	C _{A1-B1} (pF)	C _{B1-B2} (pF)	L. HV (mH)	L. LV (mH)
Valor calculado	317	192	784.5	126	653	341
Valor medido	340	215	744	99	580	435





Modelo matemático (ATS)

Para la implementación computacional del modelo del transformador de distribución se utilizó el programa EMTP/ATP, con el módulo "Transformer", el cual permite incluir las capacidades y la curva de saturación. Se desarrollaron tres modelos para cada tipo de transformador. Cada uno de los cuales permite representar comportamiento del transformador ante señales de media, baja y alta frecuencia (60Hz hasta impulsos tipo rayo).







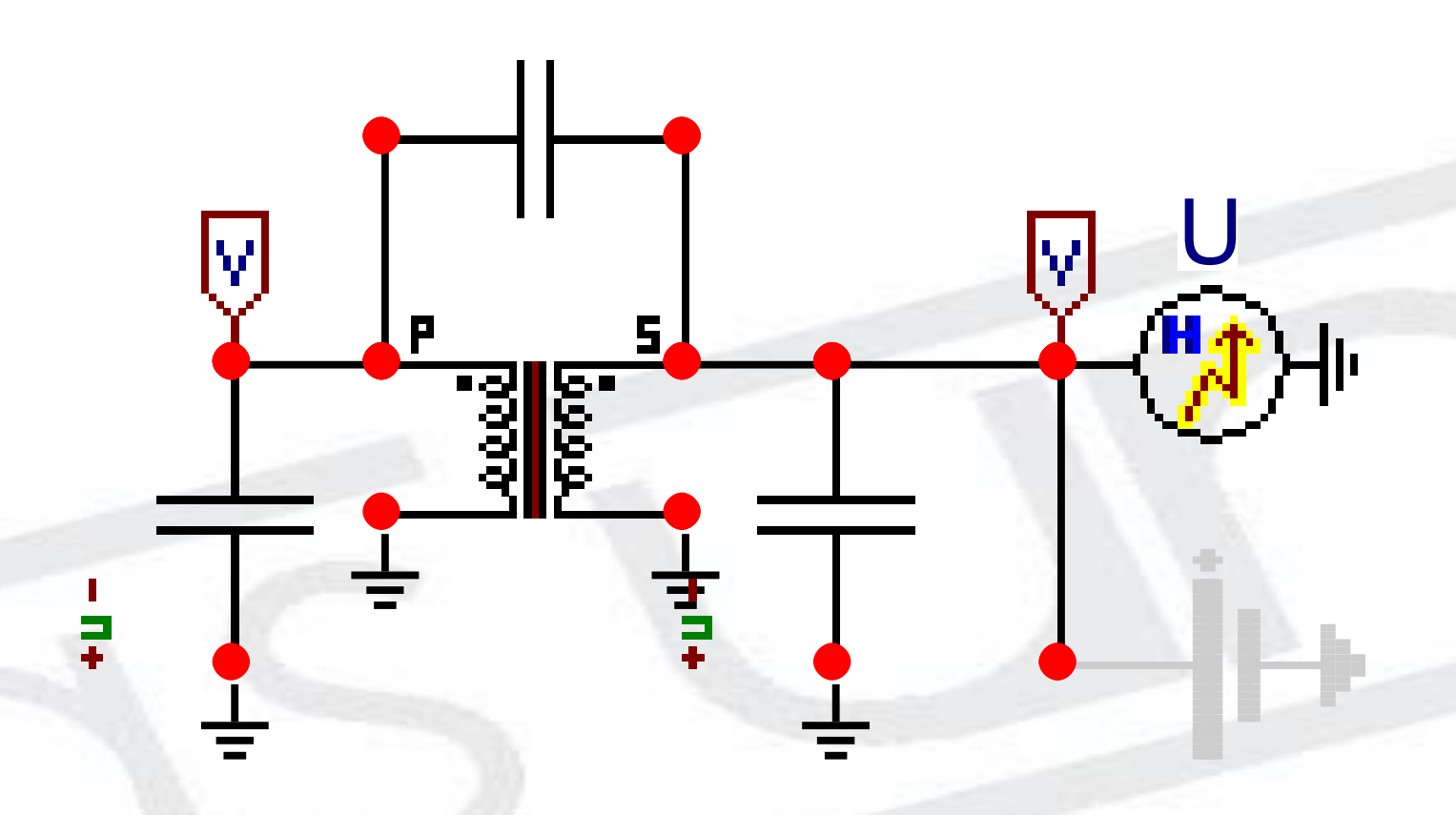
Transformador Prototipo Nuevo Diseño (ATS)

- 1. Mayor robustez: Incremento del BIL del transformador
- 2. Reducción del Pulso Transferido: Diseño Bobina Núcleo
- 3. <u>Fácil manipulación</u>: Modificación de los soportes mecánicos para transporte en zonas de difícil acceso
- 4. <u>Mejoramiento de las Protecciones</u>: Descargadores en AT y BT, Autoprotección (CSP), protecciones adicionales en red si es necesario
- 5. <u>Manipulación e instalación adecuada</u>: Garantía de vacío (0.2 atm.) y reposo antes de la energización. O utilizar llenado integral (sin colchón de aire)
- 6. <u>Mejoramiento de Puestas a Tierra:</u> Puestas a tierra de bajo valor ohmico.
- 7. <u>Monitoreo y Mantenimiento</u> permanente del sistema entorno (Red, protecciones, transformador, puestas a Tierra, vegetación)
- 8. Evaluación de la relación Costo / Beneficio



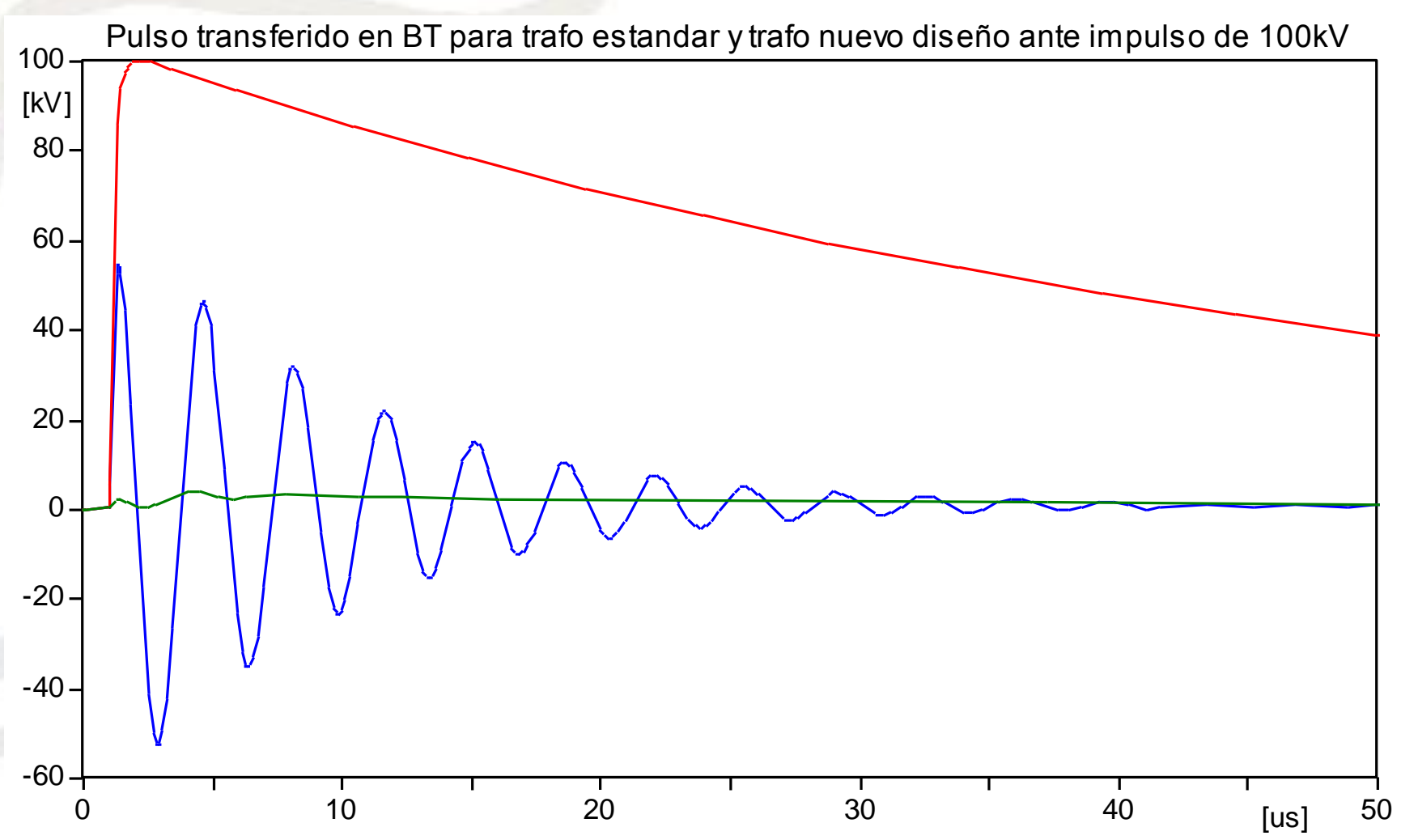


Modelo de transformador









DS-95AN.pl4: v:BAJA

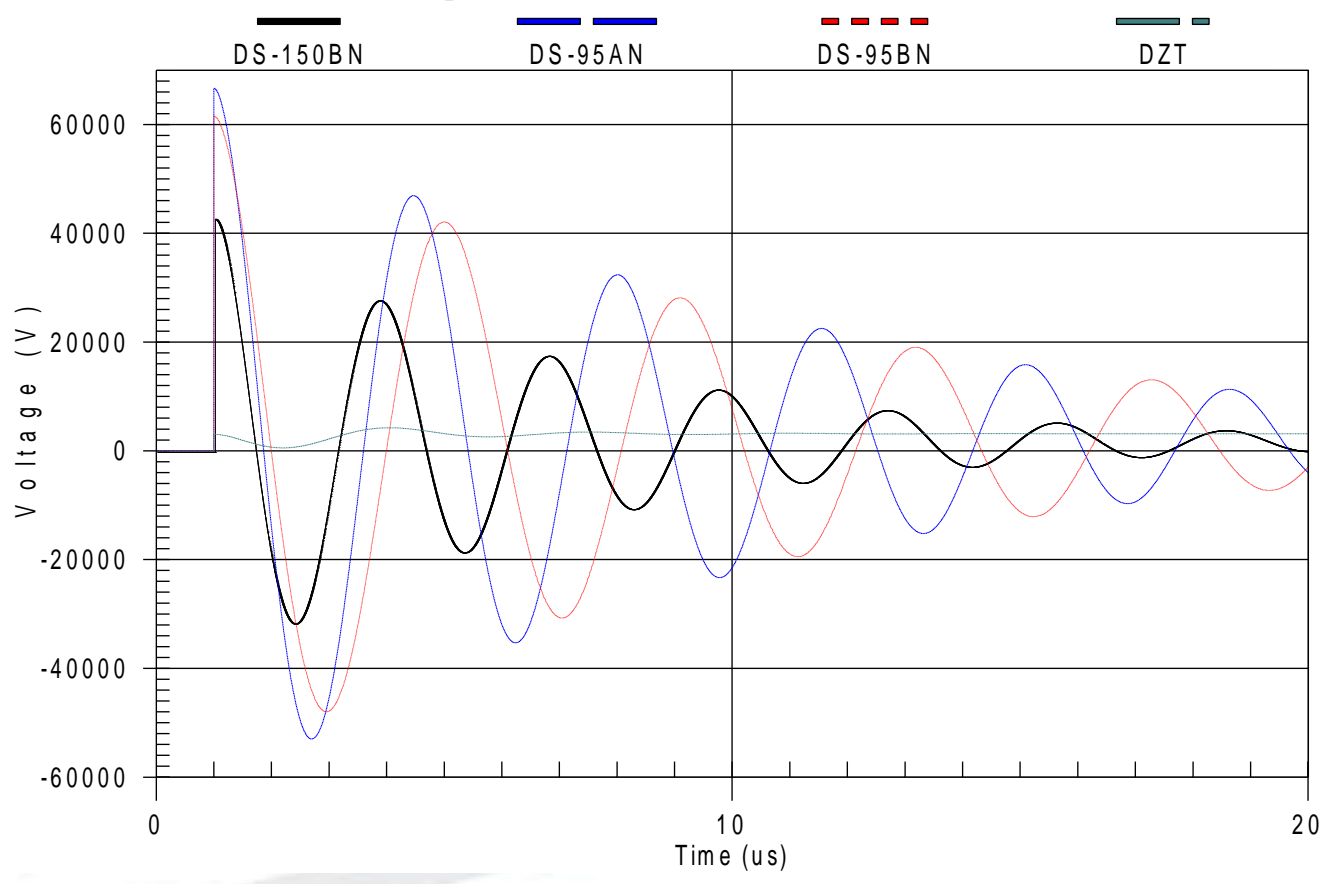
dzt.pl4: v:ALTA v:BAJA





Comparación pulso transferido

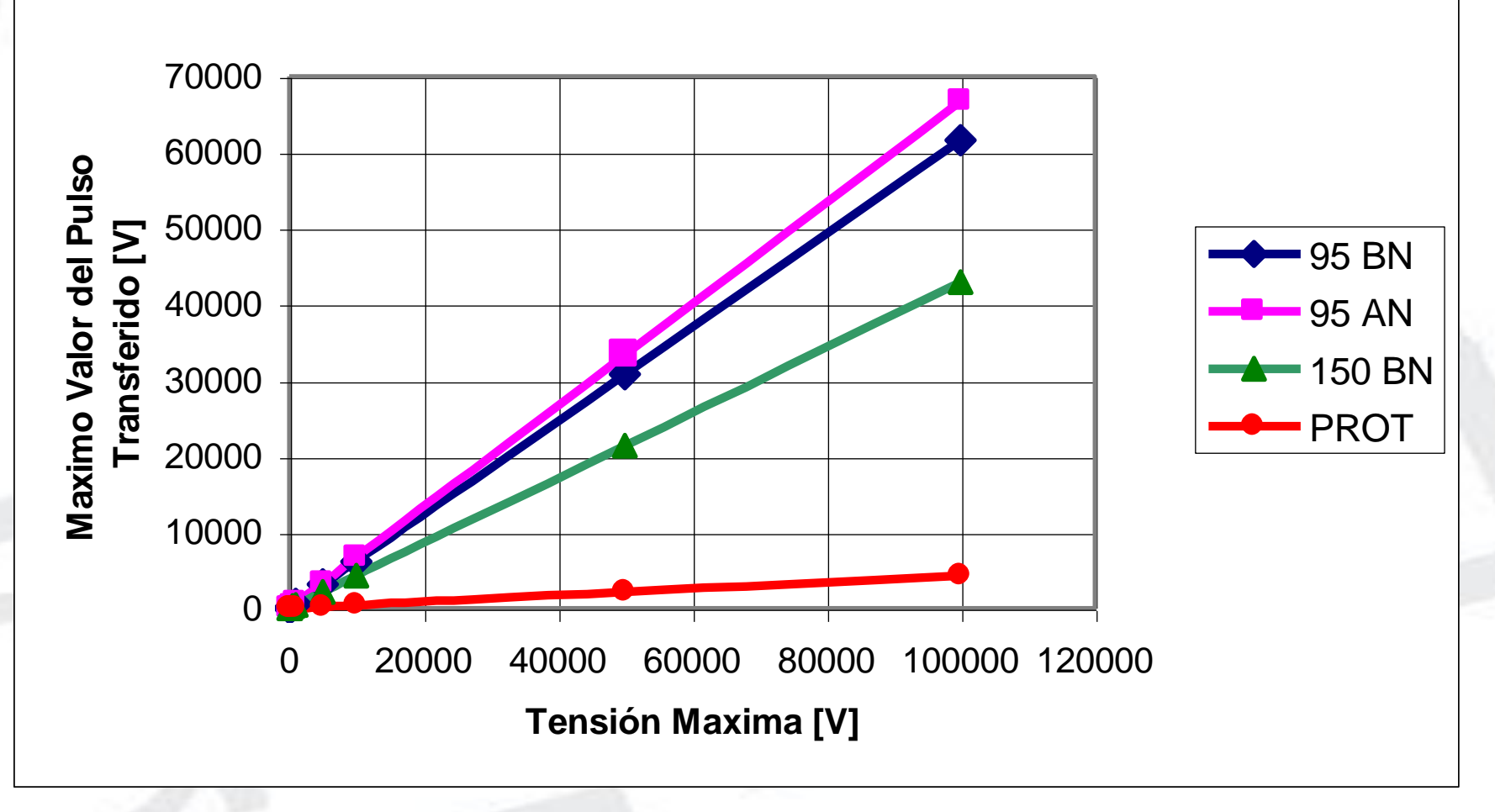








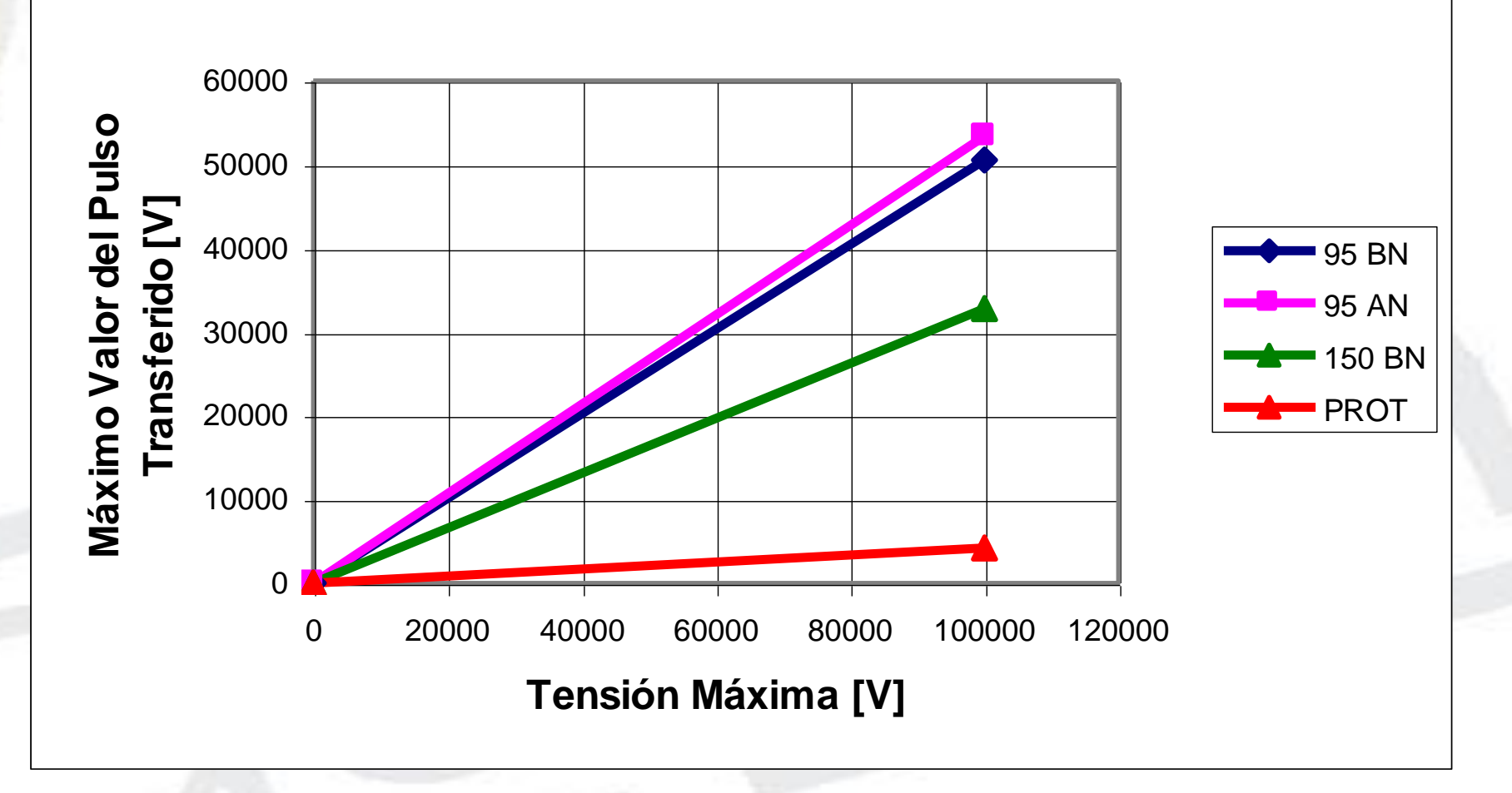
Pulso Transferido Para 4 Clases de Transformadores (Onda Paso)







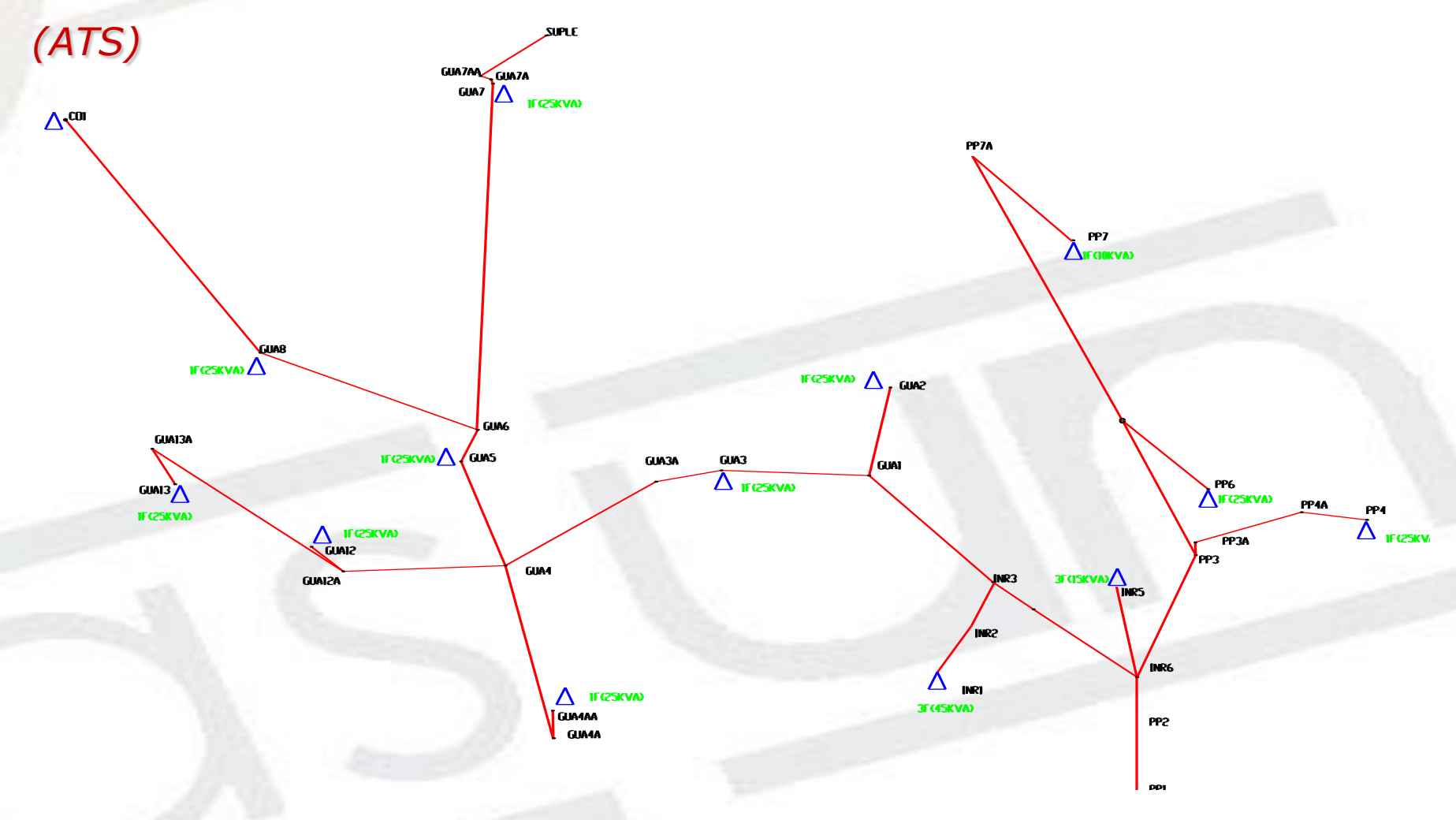
Pulso Transferido para 4 clases de Transformadores (Onda Tipo Rayo)







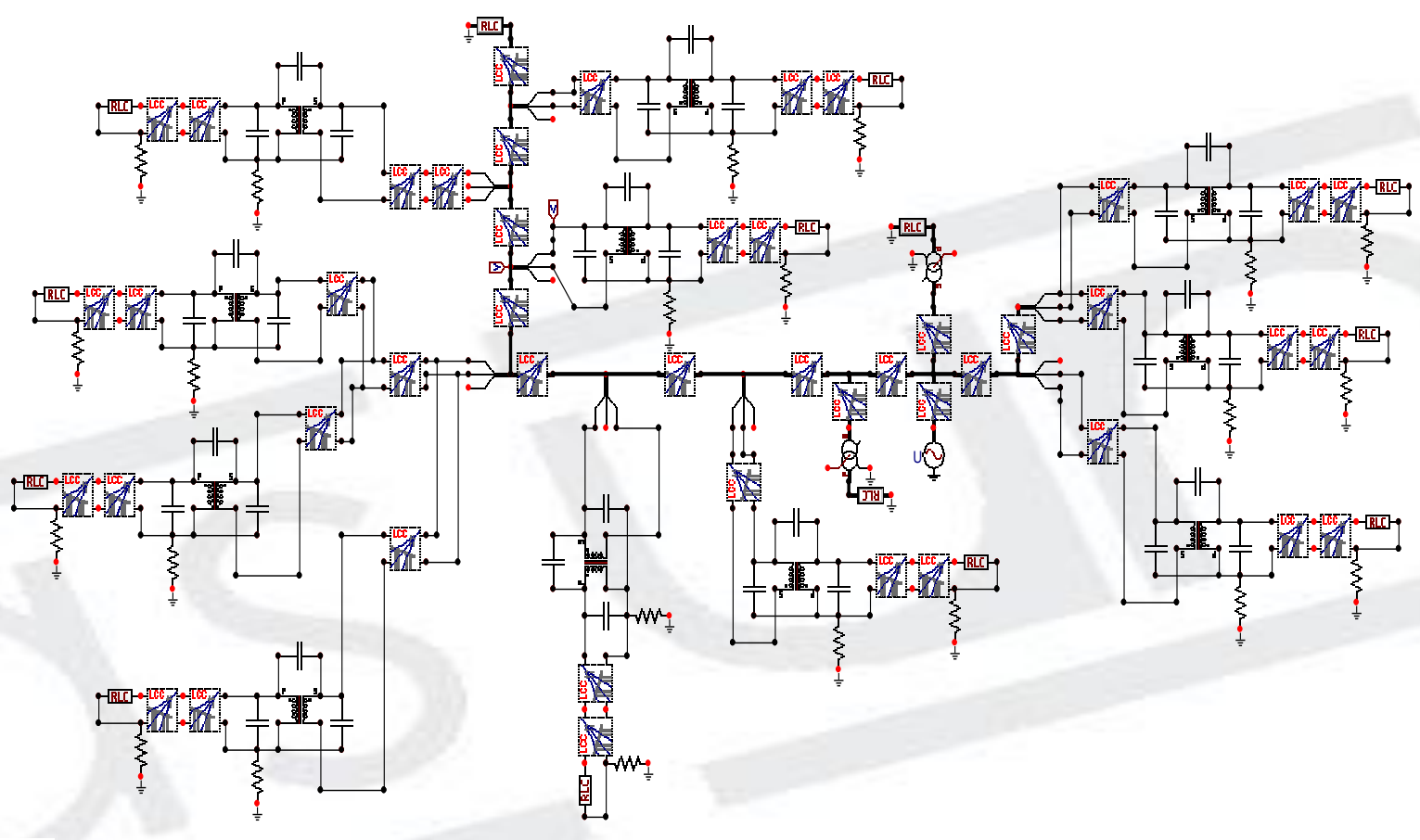
Circuito Experimental Guachipay







Circuito experimental montado en el ATPDraw (ATS)







Manipulación del Trafo Prototipo Nuevo Diseño (ATS)







Trafos Prototipo Nuevo Diseño





Instalación del Trafo Prototipo Nuevo Diseño (ATS)

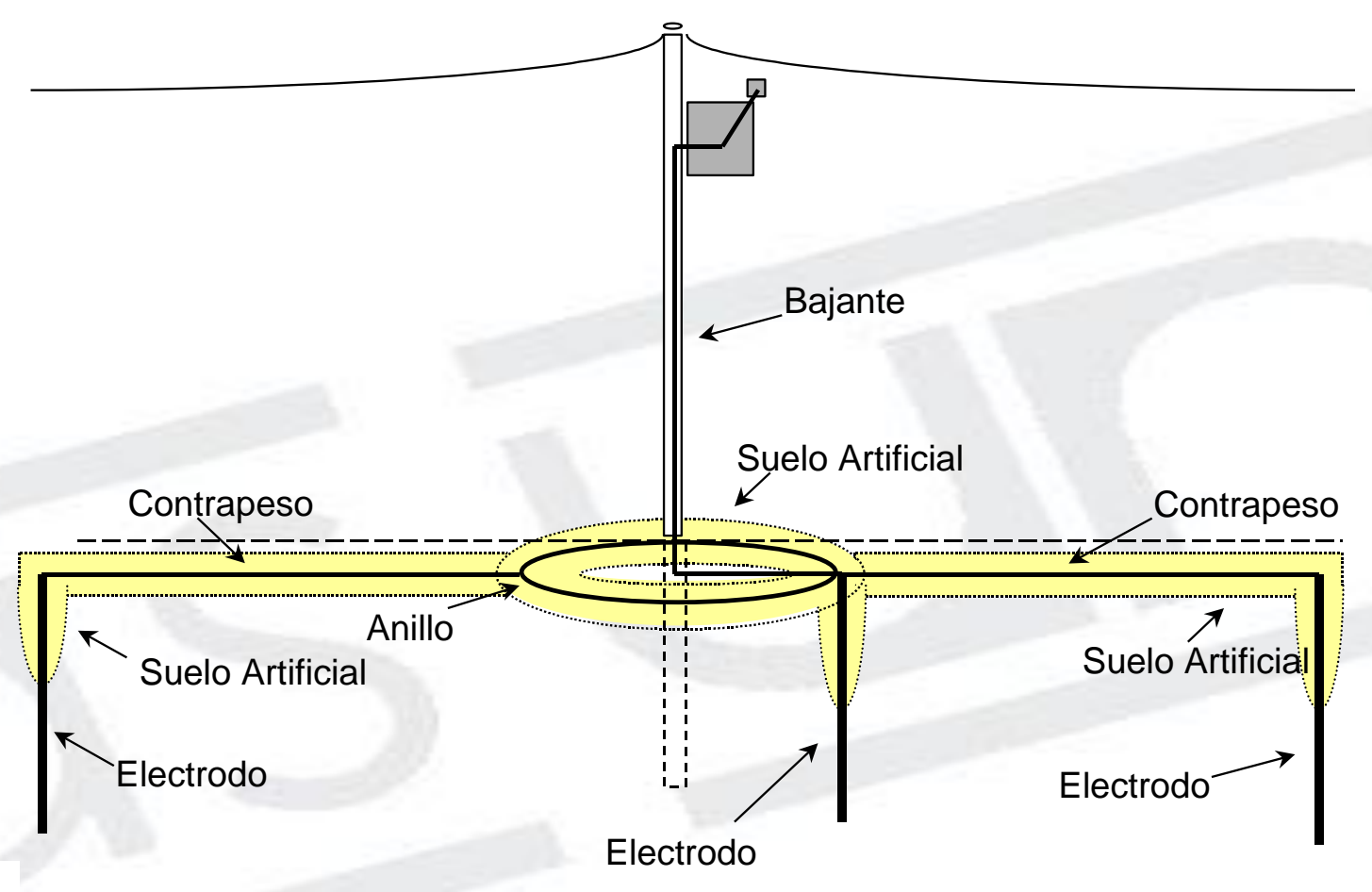








Nuevo Diseño del sistema de puesta a tierra (ATS)





paas ur

Seguimiento de los valores de puesta a tierra (CM)

Transformador	$R_{inicial}[\Omega]$	Dic. 97	Mar. 98	May. 98	Sep. 98	<i>Mar.</i> 99
Insp. Naranjal	1088	3.3	2.56	2.33	206	2.02
Ac. Naranjal	158	17.7	17.99	10.04	6.97	11.58
Jaime Ariza	140	12.94	10.46	8	8.81	8.39
Mard. Prieto	107	6.84	7.08	6.35	10.4	7.54
Ana de Torres	231	11.8	10.81	10.41	10.67	9.65
Pablo Bustos	77	9.3	8.51	7.47	8.79	8.93
Ant. Gaitán	271	8.32	7.21	7.15	6.92	7.15
Enr. Bustos	208	11.45	11.81	10.49	11.61	10.47
Reyes Anzola	88	3.52	5.44	3.5	3.61	4.02
Fid. Bustos	225	5.31	5.12	5.19	5.39	4.88
Mel. Virgüez	15	6.94	4.77	5.3	4.48	5.81
Ant. Alvarez	262	h		<u>-</u>	11.73	14.04
Marc. Olivares	301	V	-	-	18.32	18.35
Julio Beltrán	260		1	<u>-</u>	23.13	21.25





Relación Costo – Beneficio (ATS)

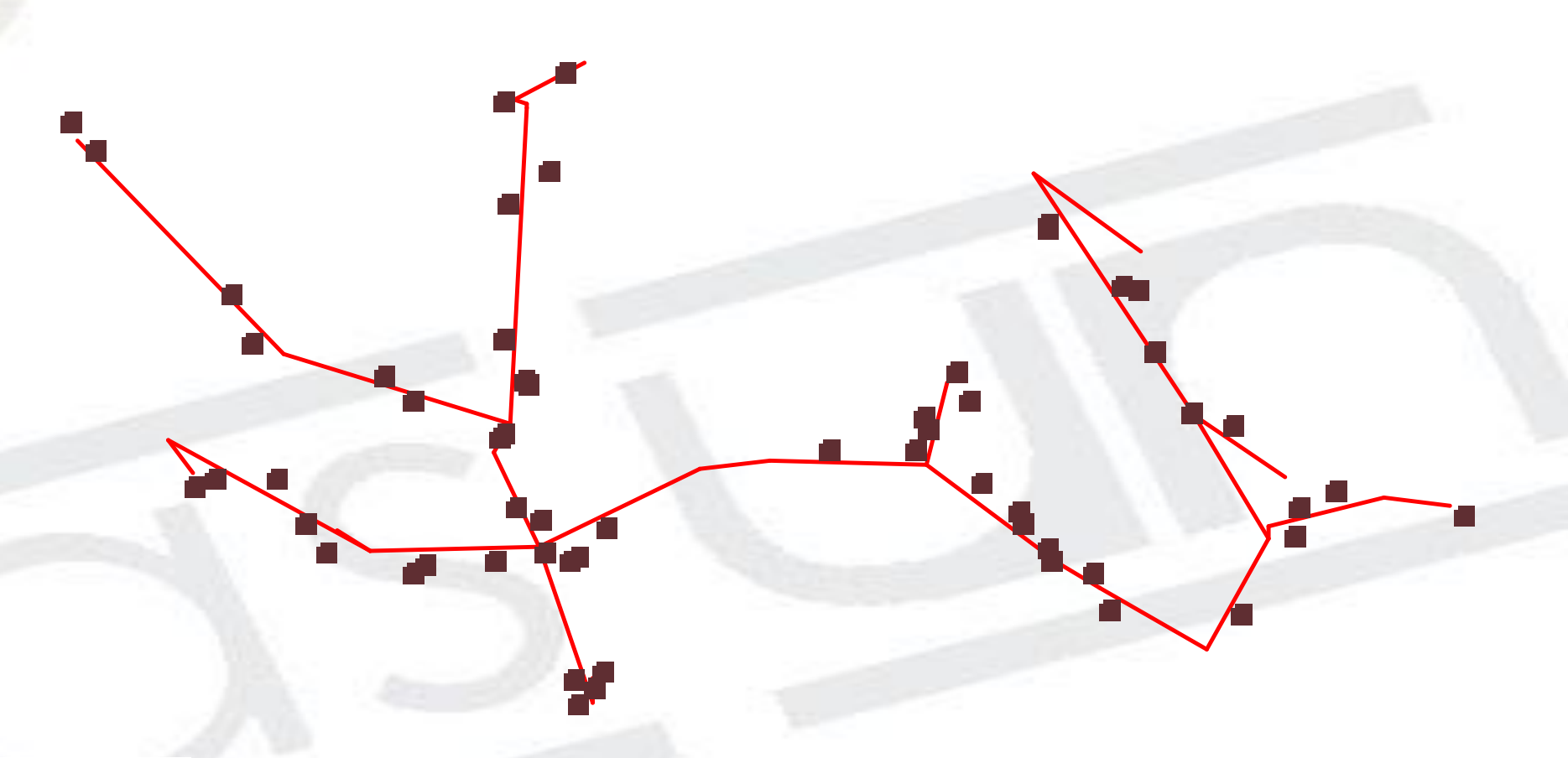
Nivel de Riesgo Por Rayos	Índice de Fallas (promedio anual %)	% Transformadores Fallados en 10 años	Costos reposición de <u>trafos tipo</u> <u>estándar</u> por cada 100 trafos estándar instalados en el año cero
Alto	12.86	335	335.000.
Medio	8.62	329	329.000.
Bajo	4.82	160	160.000.





Seguimiento actividad de rayos

(58 rayos - Año 1998 - 1 evento, 0% fallas) (CM)

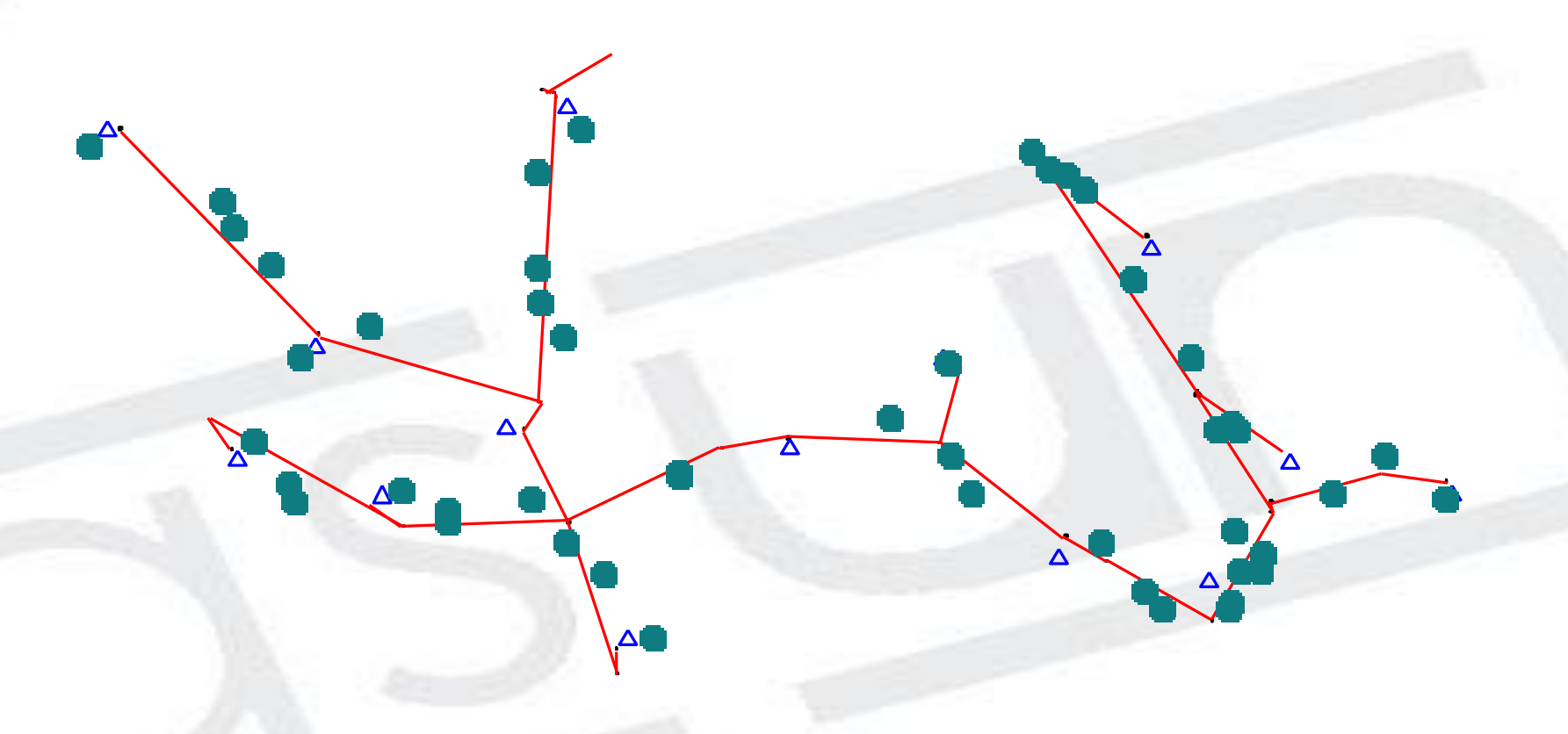






Seguimiento actividad de rayos

(44 rayos - Año 1999 - 7% fallas) (CM)

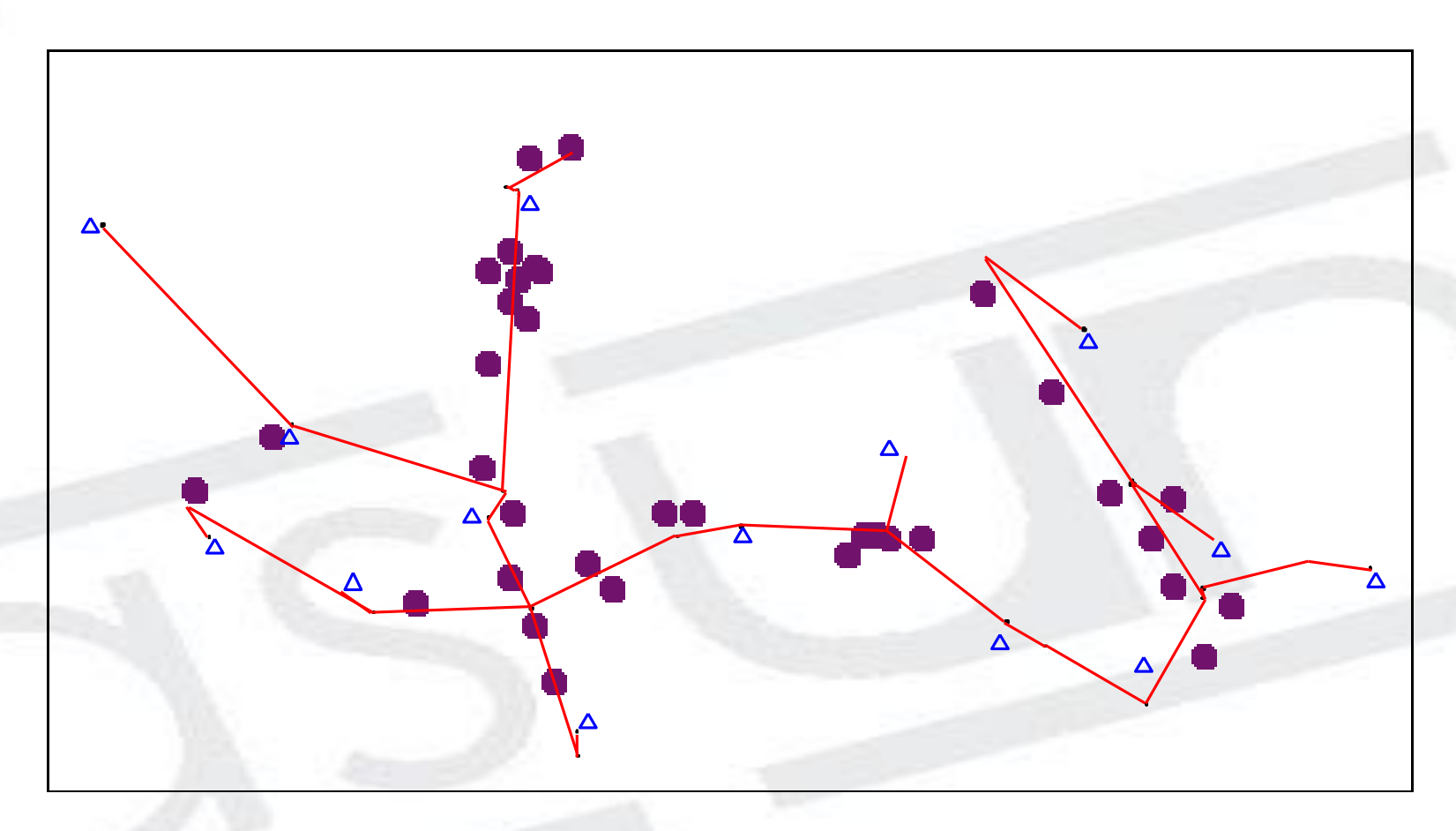






Seguimiento actividad de rayos

(35 rayos - Año 2000 -0% fallas) (CM)







Conclusiones

Los circuitos piloto experimentales de Guachipay (Cundinamarca) y Samaná (Caldas) localizados en una de las dos zonas de mayor actividad de rayos del mundo, muestran resultados promisorios para la solución al problema de falla de transformadores de distribución en Colombia. Por ejemplo, para el Circuito Piloto Experimental de Guachipay, luego de instalados los transformadores Prototipo Nuevo Diseño, la rata de fallas pasó del **50%** para el periodo 1990 - 1997, a **0%** en el año 1998, **7%** en 1999 y **0%** en 2000.





Aplicaciones recientes de la metodología:





MEJORAMIENTO DE ÍNDICES DE CALIDAD DE LOS CIRCUITOS DE DISTRIBUCIÓN RURAL DE CODENSA EN ZONAS DE ALTA ACTIVIDAD ELÉCTRICA ATMOSFÉRICA

CODENSA S.A. ESP UNIVERSIDAD NACIONAL DE COLOMBIA

Septiembre de 2010









Alcance

- Mejorar la Calidad de la Energía, reduciendo en zonas rurales los índices DES y FES y, por lo tanto, el costo de las compensaciones.
- Reducir la cantidad de demandas por el daño de equipos en instalaciones de los usuarios.
- Reducir los costos de reposición de equipos fallados
- Reducir las pérdidas económicas debidas a energía no suministrada





Metodología

- "Región piloto" ubicada en una zona con un alto número de salidas de líneas y alta actividad eléctrica atmosférica.
- "Circuito piloto" dotado con equipos de medición de Tensiones Inducidas. Media tensión (hasta 34.5 kV) y baja tensión.
- Red de monitoreo de actividad eléctrica atmosférica para la Región (muy bajo costo y gran volumen de información)
- Monitoreo de fallas y causas en el circuito piloto





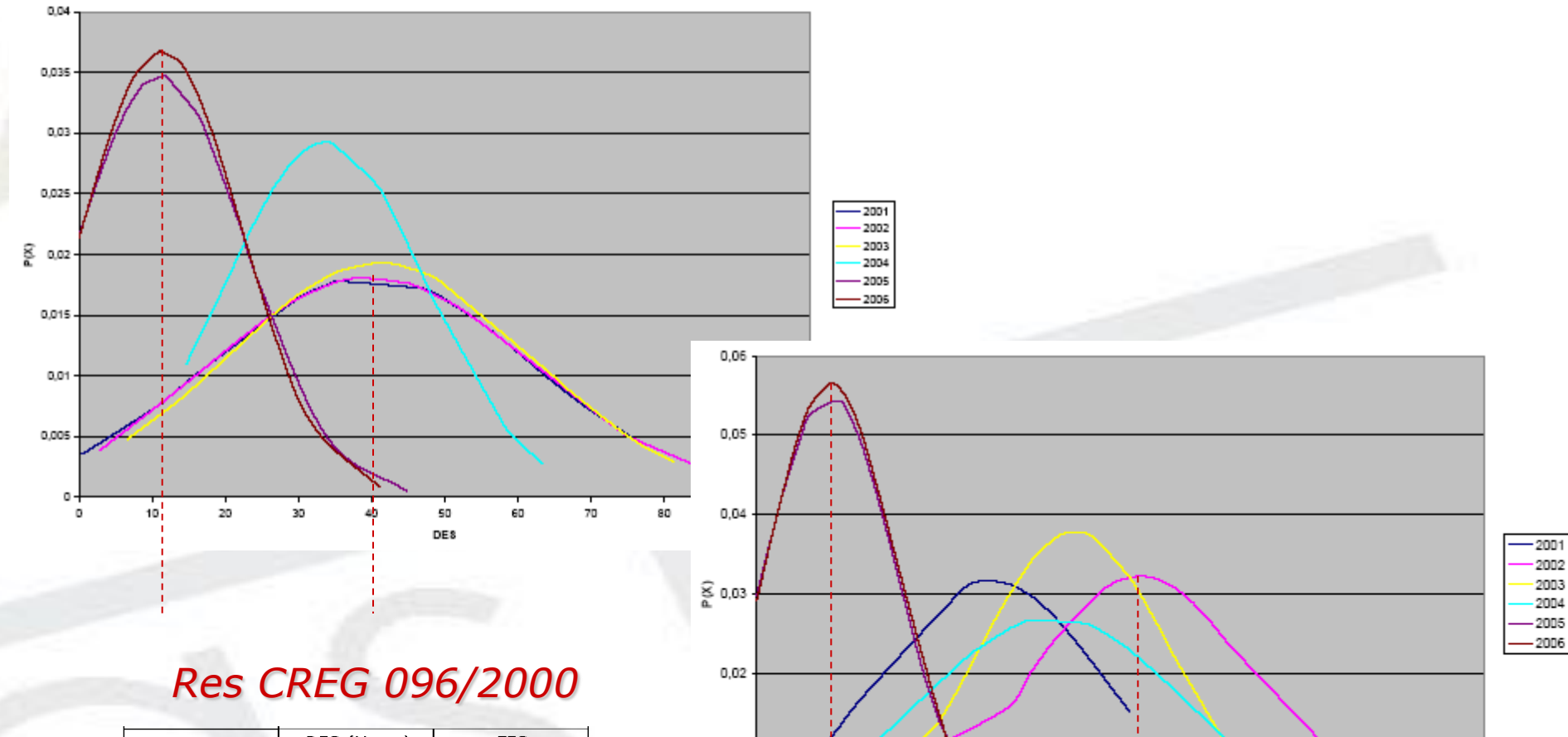
Selección del Circuito Experimental

- Zona de Rionegro Cundinamarca (23 circuitos)
- Zona con alto índice de fallas por descargas eléctricas atmosféricas.
- ☐ Información de índices de DES y FES durante año 2001-2007
- Análisis Estadístico
- □ Selección de 9 circuitos





DES y FES histórico en Rionegro (2001-2006)



0,01

10

70.00	DES (Horas)	FES
GRUPO 1	11	26
GRUPO 2	19	44
GRUPO 3	29	51
GRUPO 4	39	58

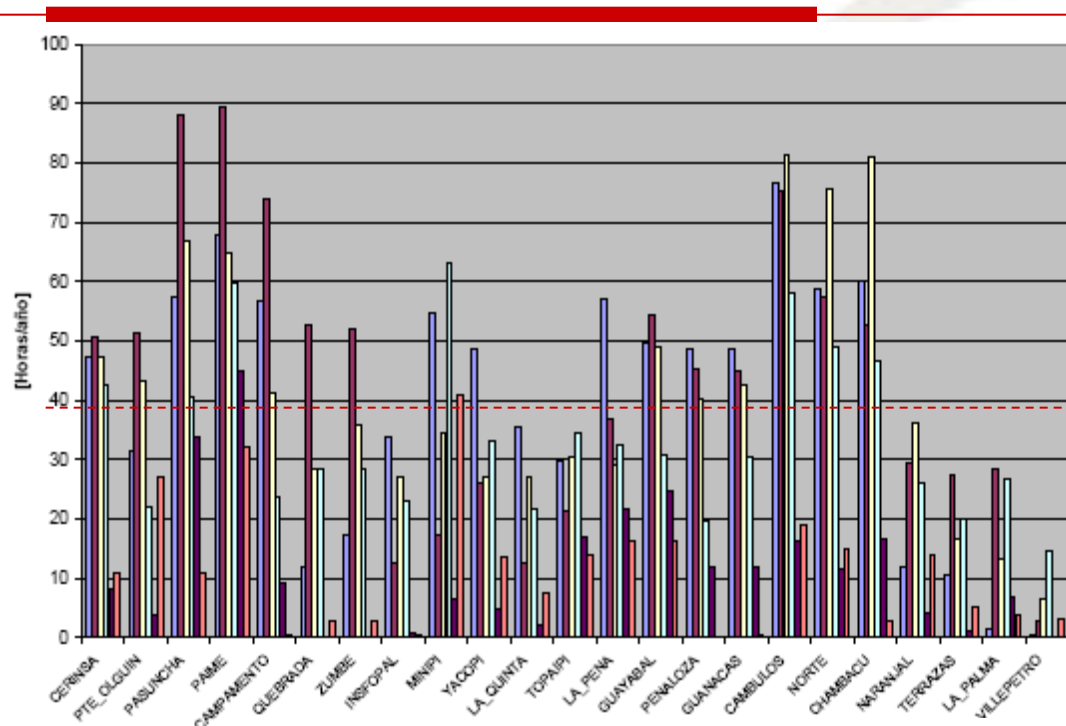




60

FES

70

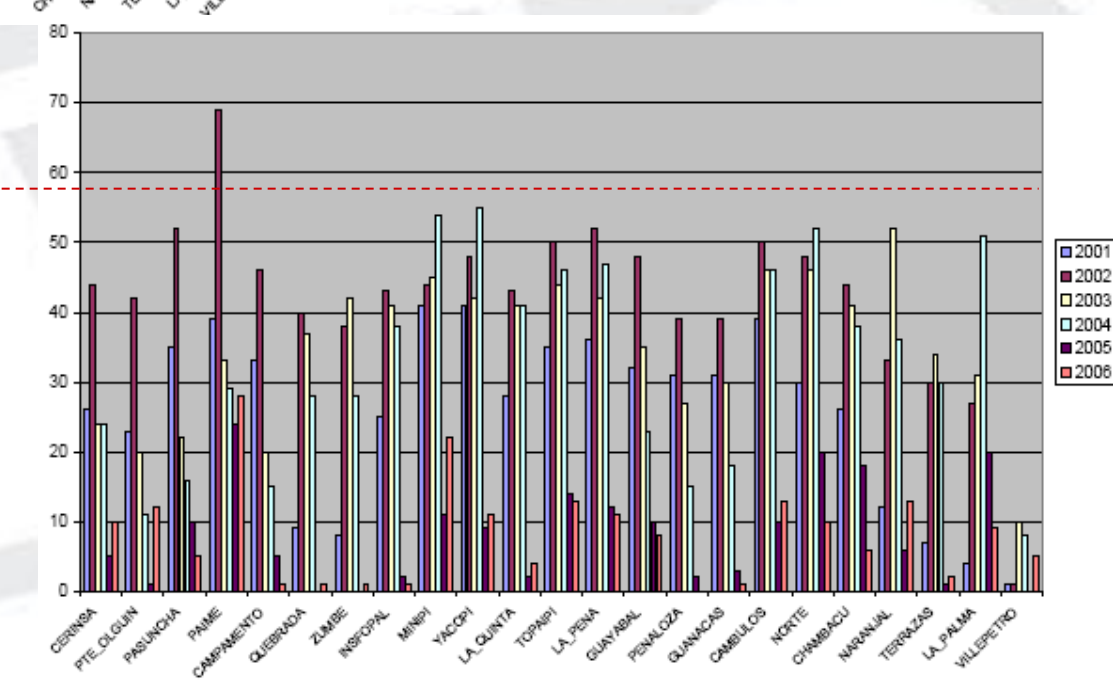


Histograma DES por circuitos

CREG 096

CREG 096

Histograma FES por circuitos



2001

■2002 □2003 □2004 ■2005

2008



Datos circuitos seleccionados

Nº	Cir	cuito	Grupo	Ancho(km)	Largo(km)	Altura (m)
IN*	Código	Nombre	Grupo	Alicho(kili)	Largo(Kill)	Altura (III)
4	VG12D	PAIME	3	22	12,5	800-1600
9	LM12D	MINIPI	4	25	14	1200-1600
10	LM13D	YACOPI	4	27	30	800-1600
12	LM22D	TOPAIPI	4	13	12	800-1800
13	LM23D	LA_PENA	4	9	17	800-1600
17	RR11D	CAMBULOS	4	15	6	600-1600
18	RR12D	NORTE	4	30	15	1000-2000
19	RR13D	CHAMBACU	4	2	3	1000-1600

Circuito seleccionado





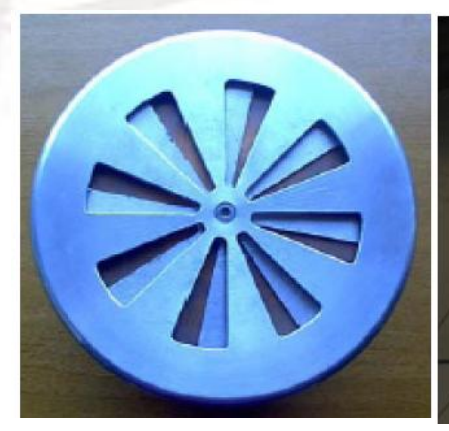
Datos circuito Minipí

	-
Variable	Valor
Grupo	4
kVA's Instalados	3400
Longitud aprox MT (km)	159
Longitud aprox BT (km)	308
Cantidad de Usuarios	2167
Cantidad de Trafos	255
Nivel de tensión	13.2 kV
Incidencias debidas a rayos	79%

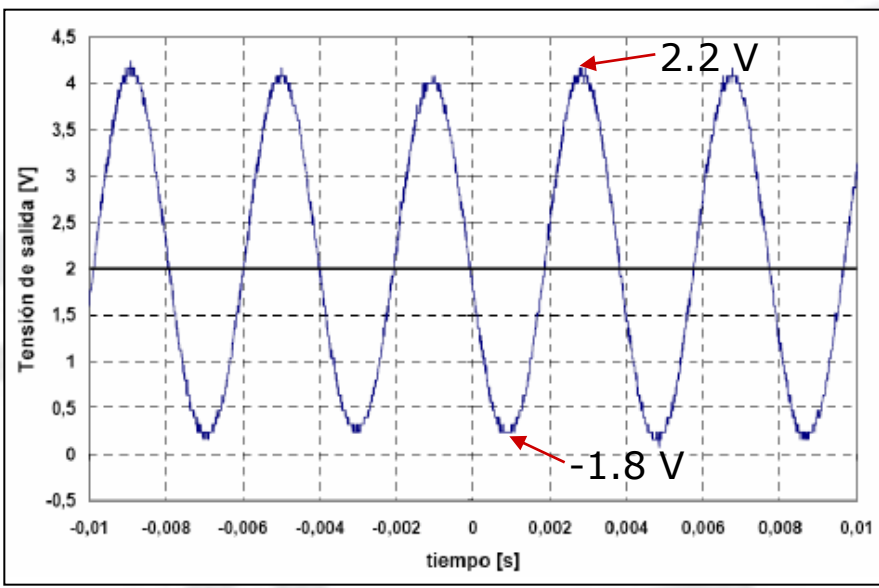




Molinos de Campo MCE-UN







Principio de medición

- Principio de inducción de carga superficial
- Ventanas de inducción
- La frecuencia de medición depende de la frecuencia de giro y del número de ventanas
- Detección de la polaridad (Innovación Tecnológica)
 - Capacidad variable del instrumento
 - Señal asimétrica
 - Reducción de componentes electrónicos
 - La detección de polaridad se realiza mediante software





Ubicación de Molinos de Campo Eléctrico MCE







Alturas de localización de los MCE

	-
Estación de medida	Altura sobre el nivel del mar (m)
MCE La Palma	1447
MCE La Aguada	1607
MCE El Castillo	1490
MCE Sabaneta	1562
MCE Caparrapi	1263



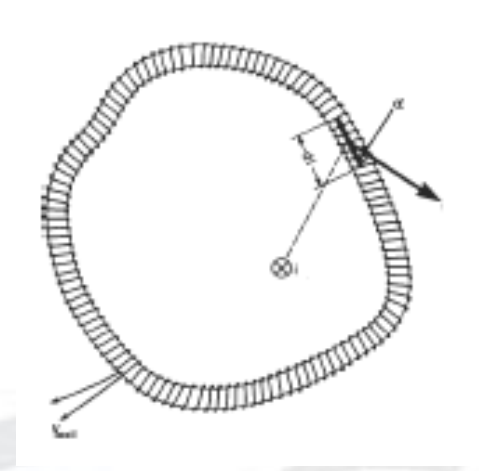






paas **un**

Bobina de Rogowsky



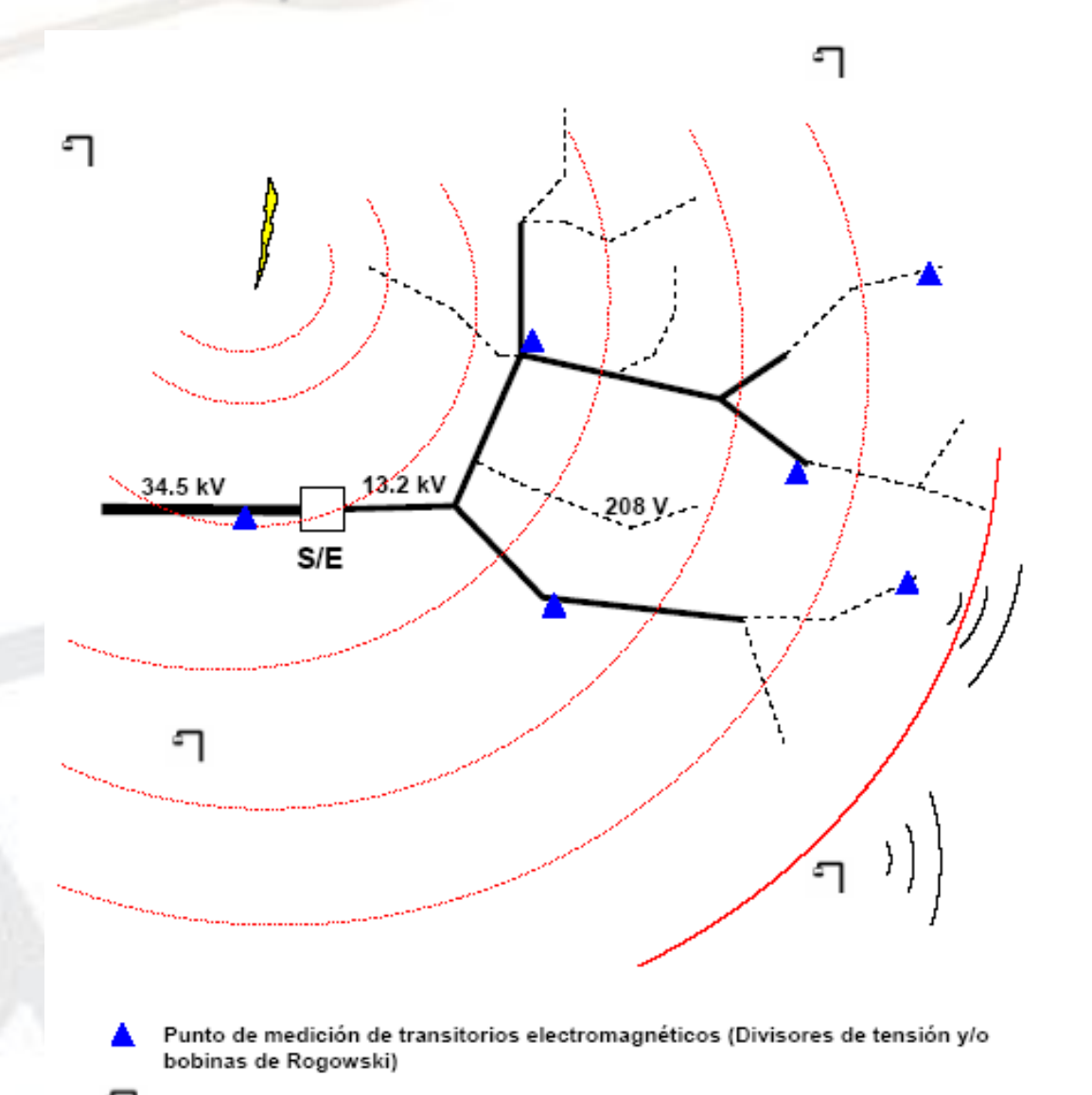
$$V_{coil} = -\frac{d\Phi}{dt}$$



Sistema experimental

Molino de campo eléctrico

UNIVERSIDAD NACIONAL DE COLOMBIA





Centro de control

Sistema de medida (OE1,2,3)

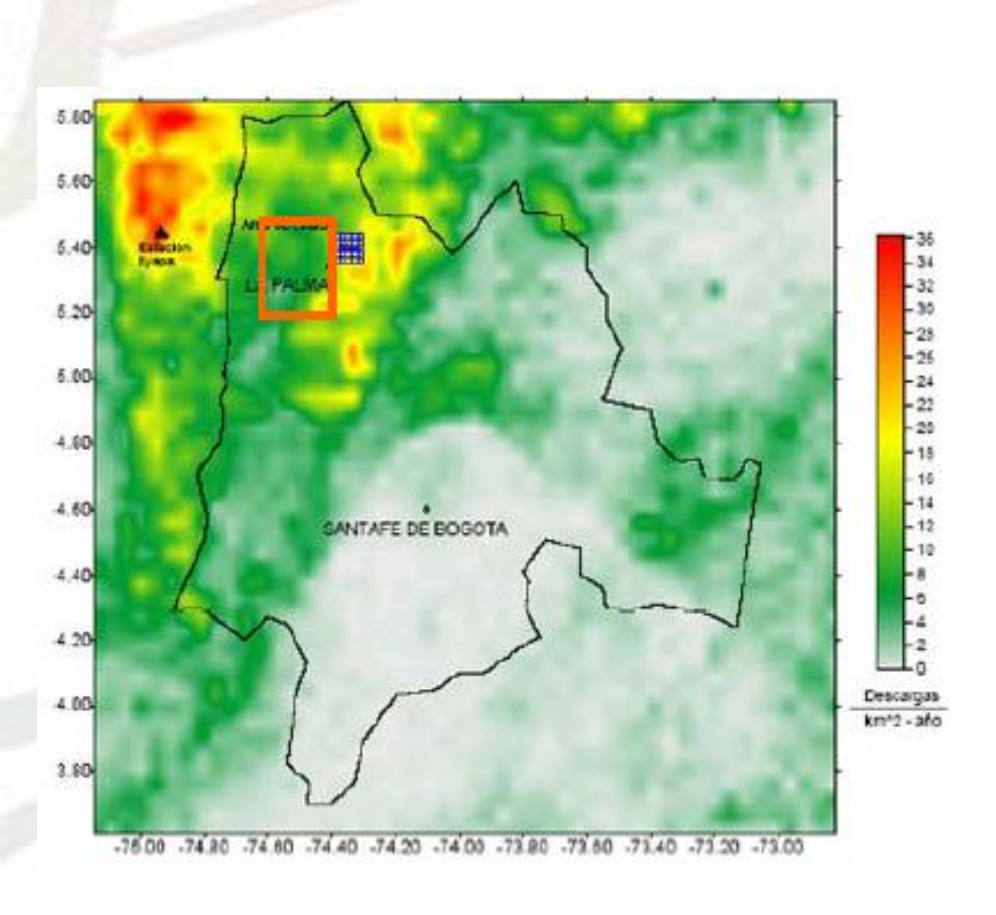


Figura 1. Región de estudio

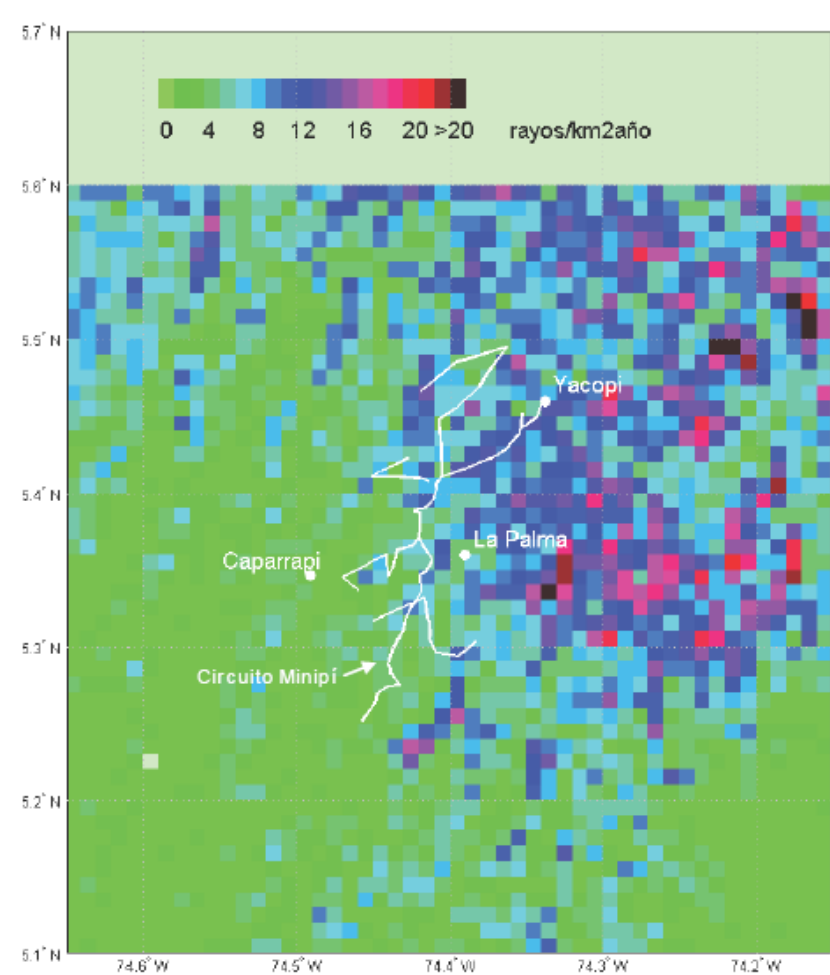
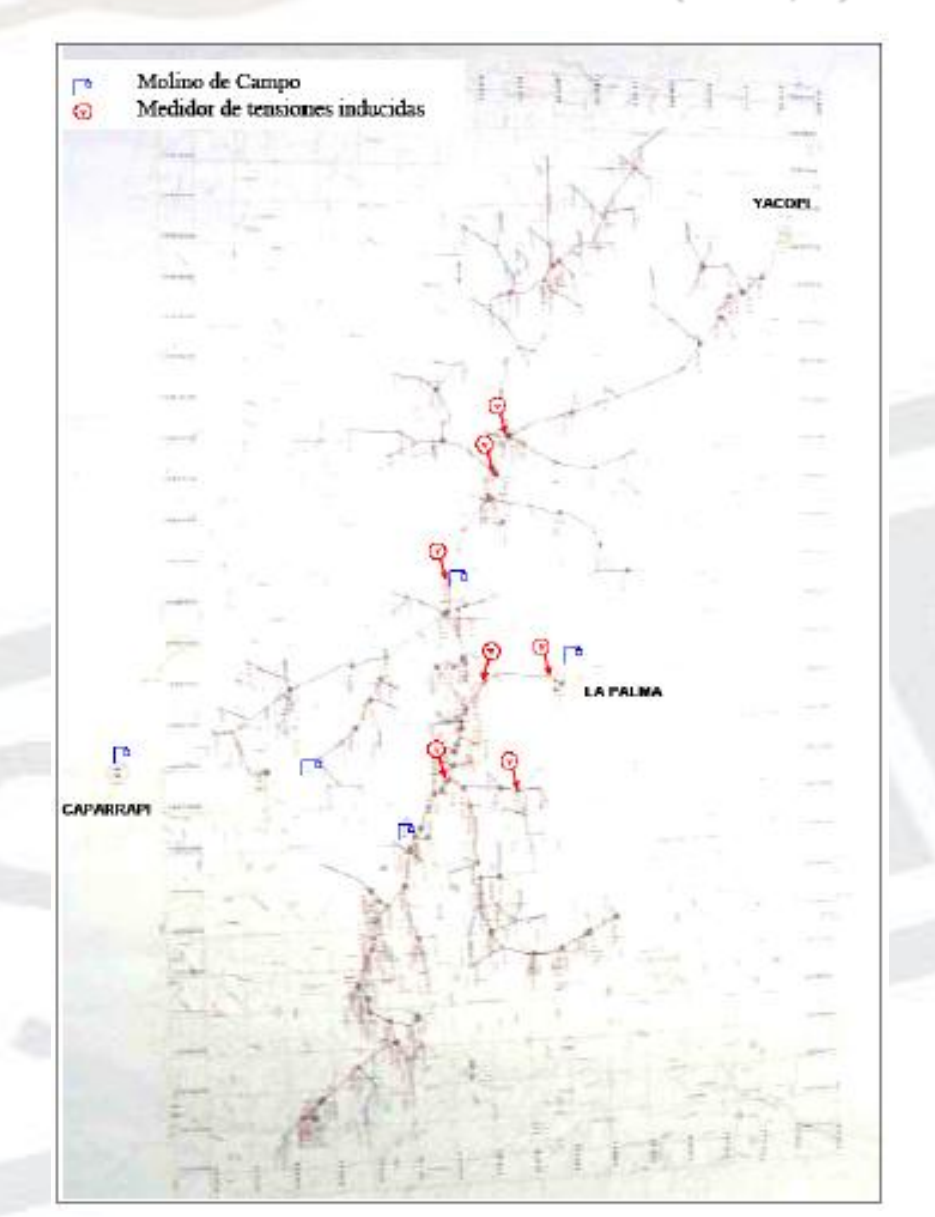


Figura 2.1. Densidad de Descargas a Tierra en la región de estudio





Sistema de medida (OE1,3)







Sistemas de Medida de Campo Eléctrico (OE1,2,3)



La Palma



El Castillo



Sabaneta



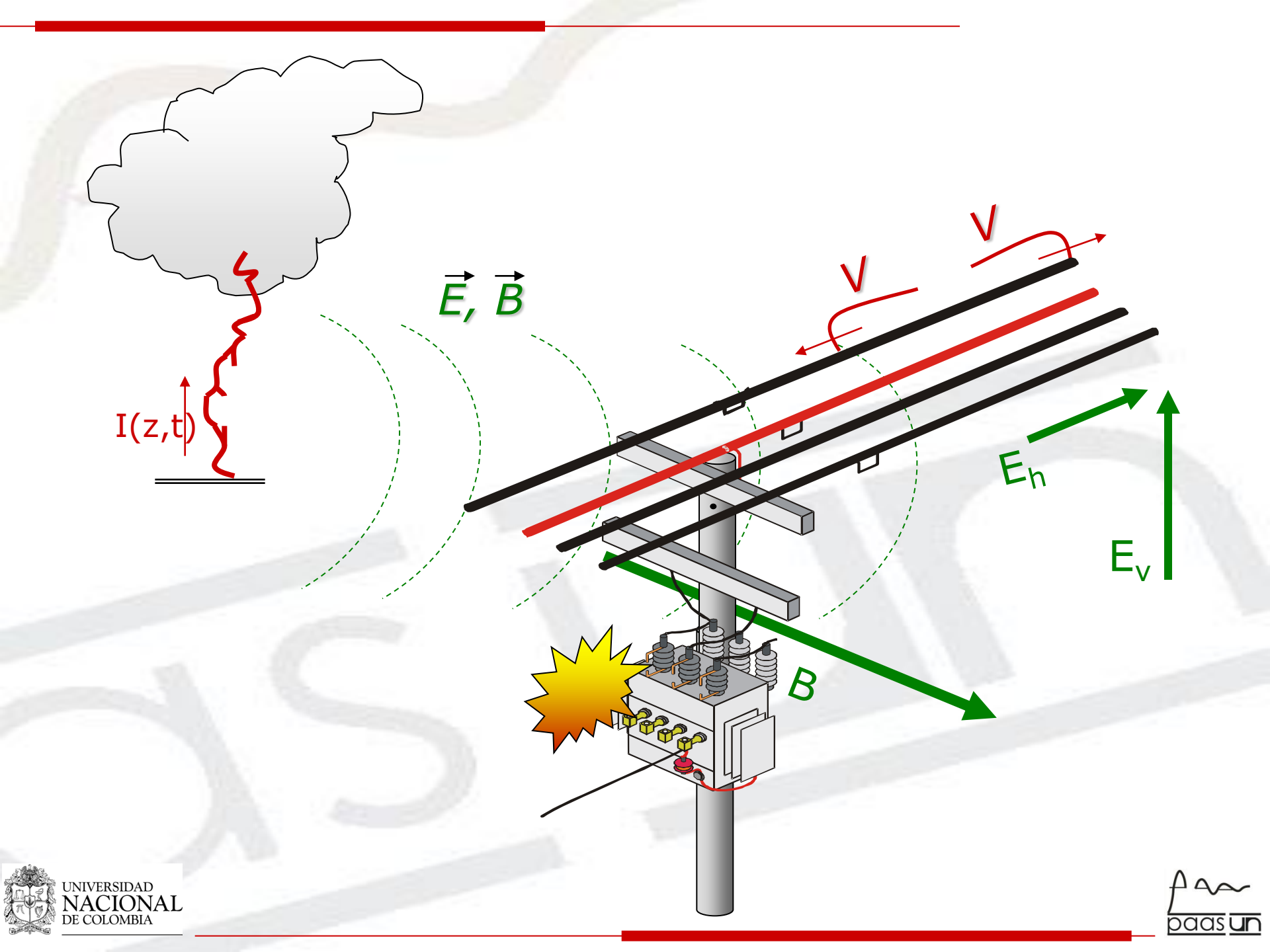
Caparrapi



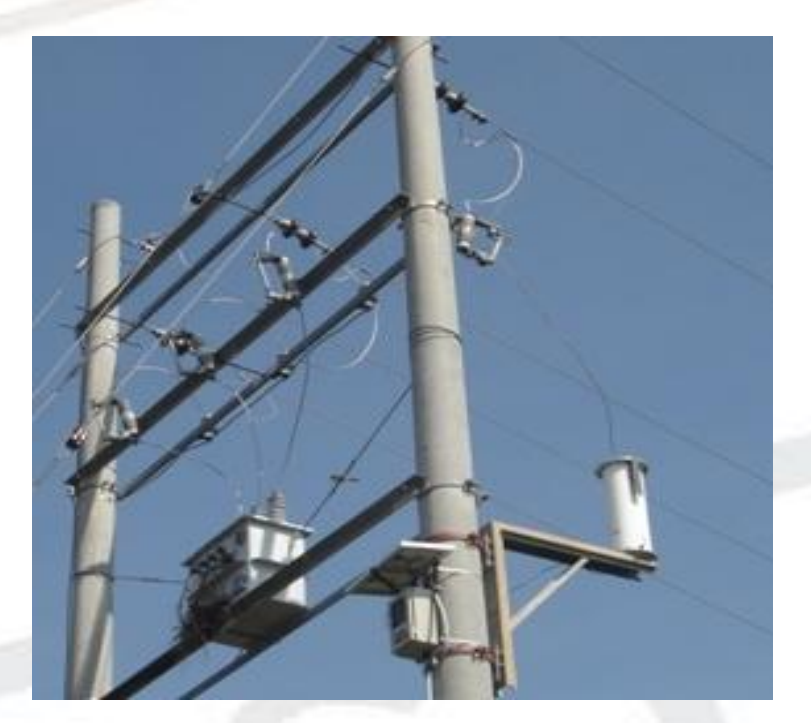
La Aguada







Medición de tensiones inducidas



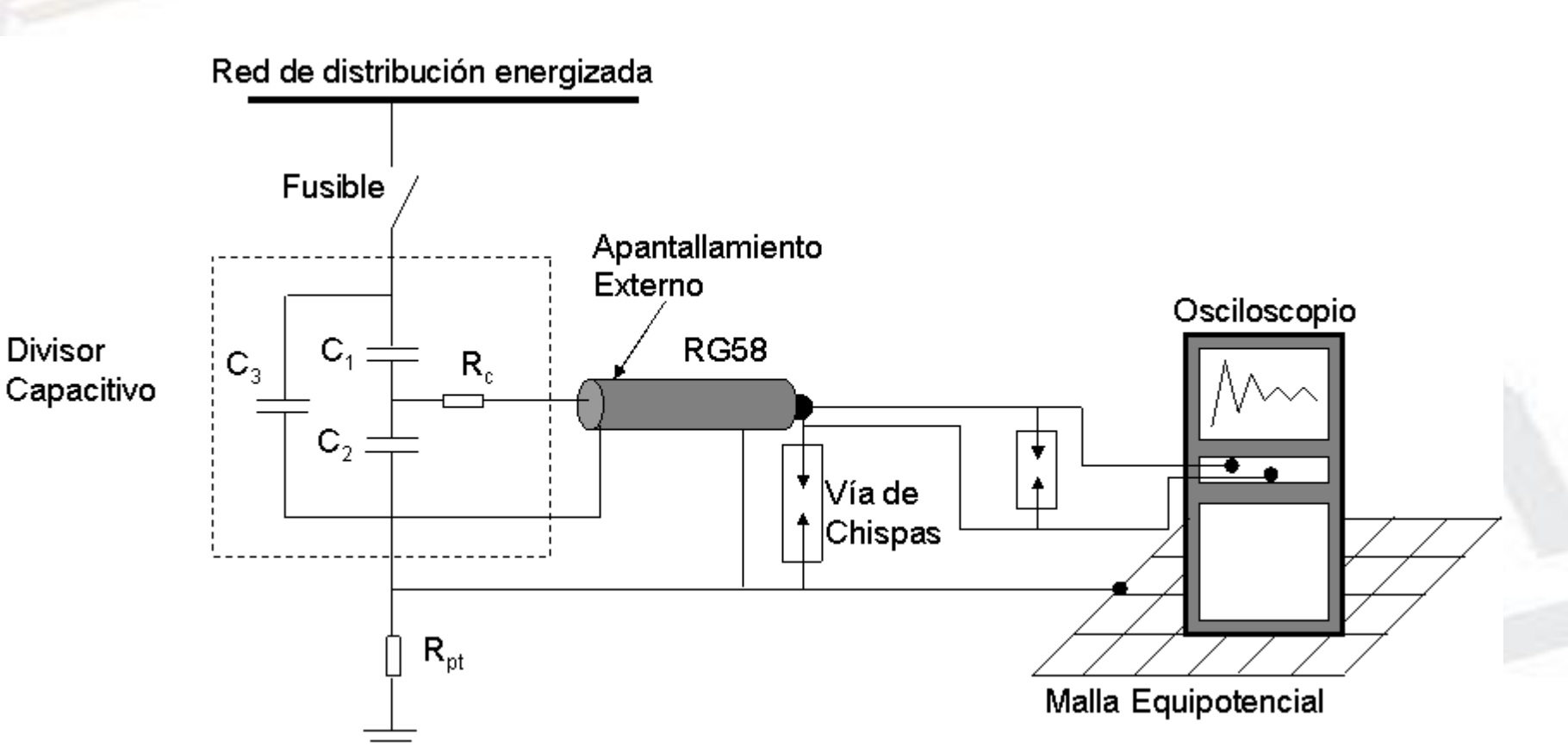


- Uso de Fibra Óptica y Energía Solar
- ☐ BIL de 240kV
- ☐ Osciloscopio de 200MS/s
- ☐ Relación 100.000:1





Medición de tensiones inducidas





Divisor



Sistemas de medida de tensiones inducidas (OE1,2,4)



El Castillo 2



La Aguada



El Castillo



La Cañada





Medida de Tormentas Eléctricas

(OE3,4)

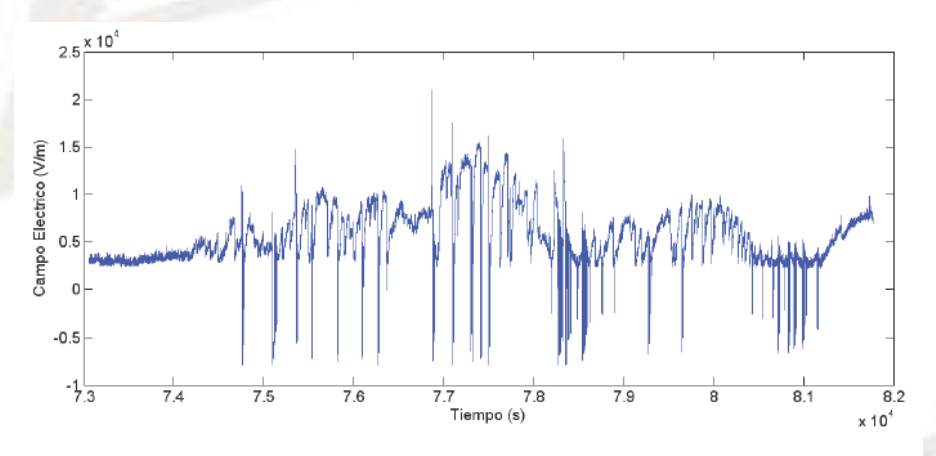


Figura 3.6. Tormenta eléctrica con actividad de rayos positivos. Estación Caparrapí, 23 de noviembre de 2009

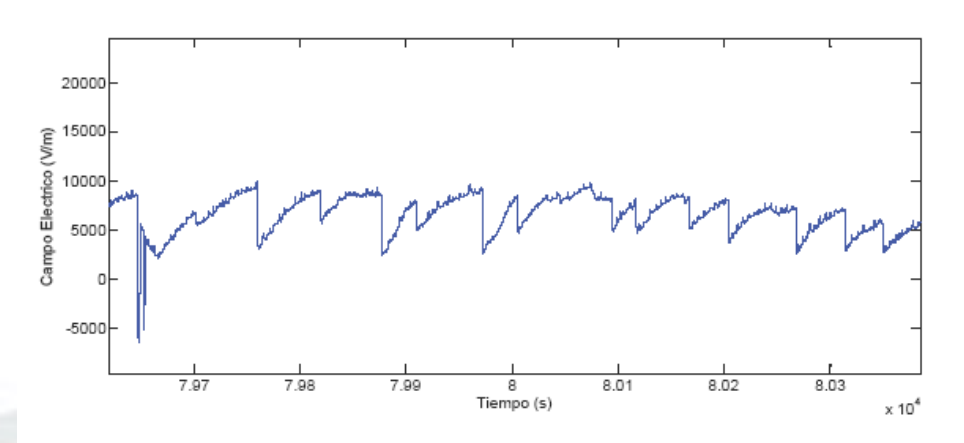
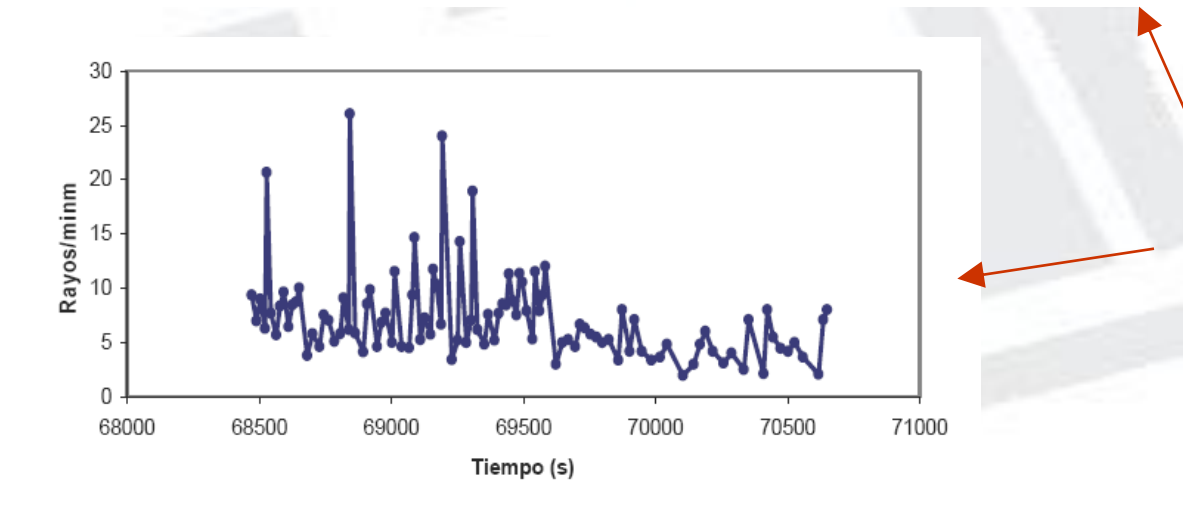


Figura 3.7 Variaciones de campo eléctrico medidas por loe molinos de campo



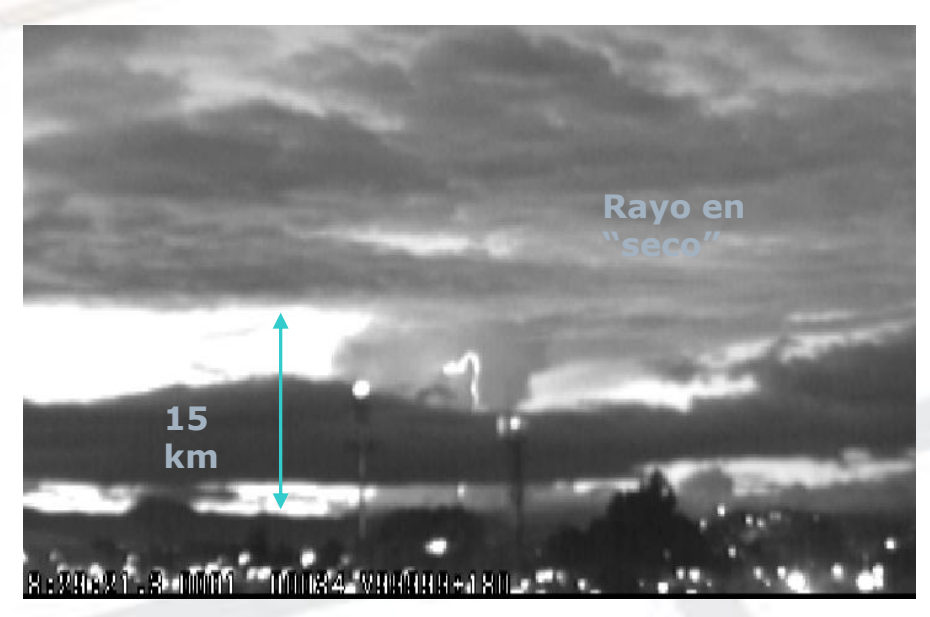
Parámetros importantes para el dimensionamiento de protecciones



Figura 3.8 Numero de rayos producidos por minuto ocurrida el 23 de noviembre de 2009



Actividad de Rayos Positivos (OE3,4)



La energía de los rayos positivos es mucho mayor:

Flash (-)	7.5 C	0.55 MJ/Ω	200 μs
Flash (+)	80 C	15 MJ/Ω	2000 μs

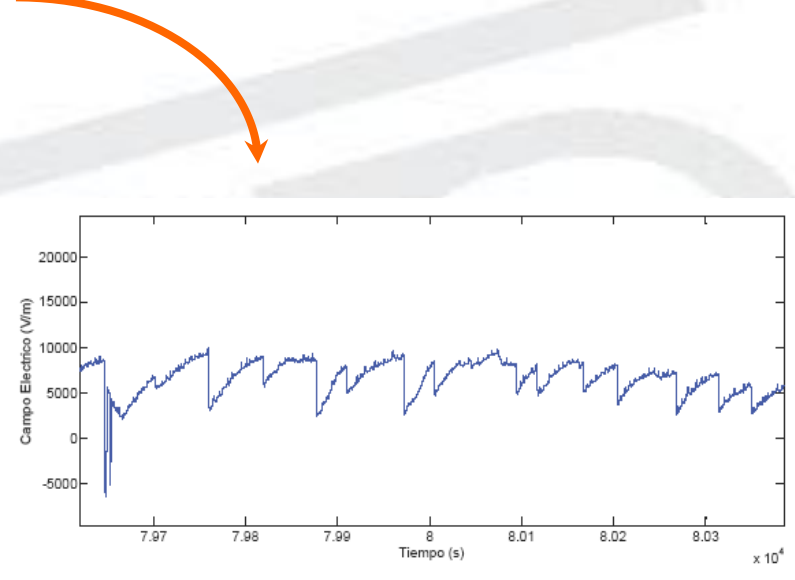


Figura 3.7 Variaciones de campo eléctrico medidas por loe molinos de campo





Tensiones inducidas en MT (OE4)

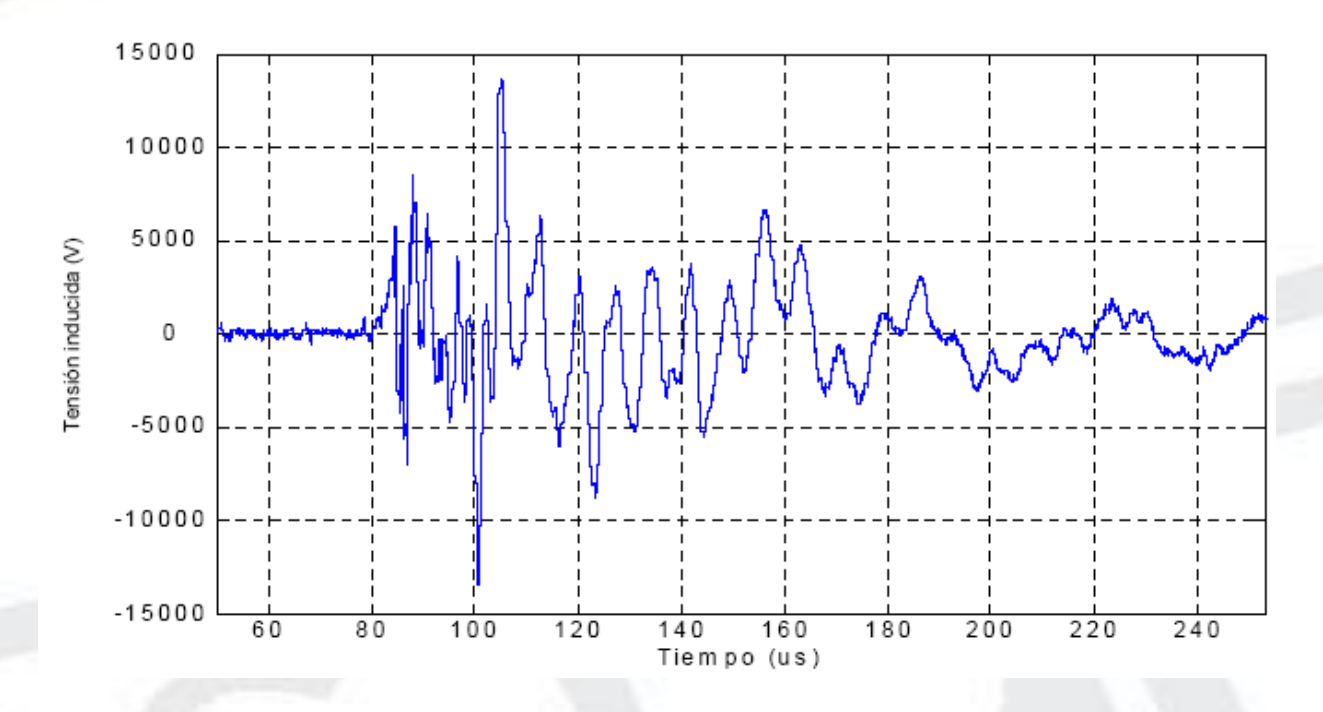


Tabla 3.2. Estadísticas de las tensiones inducidas medidas en media tensión

Variable	Media	Media SE	Desv. Est.	Mínimo	Q1	Mediana	Q3	Máximo
TI (V)	15484	1276	7967	9135	10622	13519	16309	52320
Duración (μs)	939,8	71,5	446,3	97,7	621,6	824,6	1071,4	1905,3





Tensiones inducidas en BT (OE4)

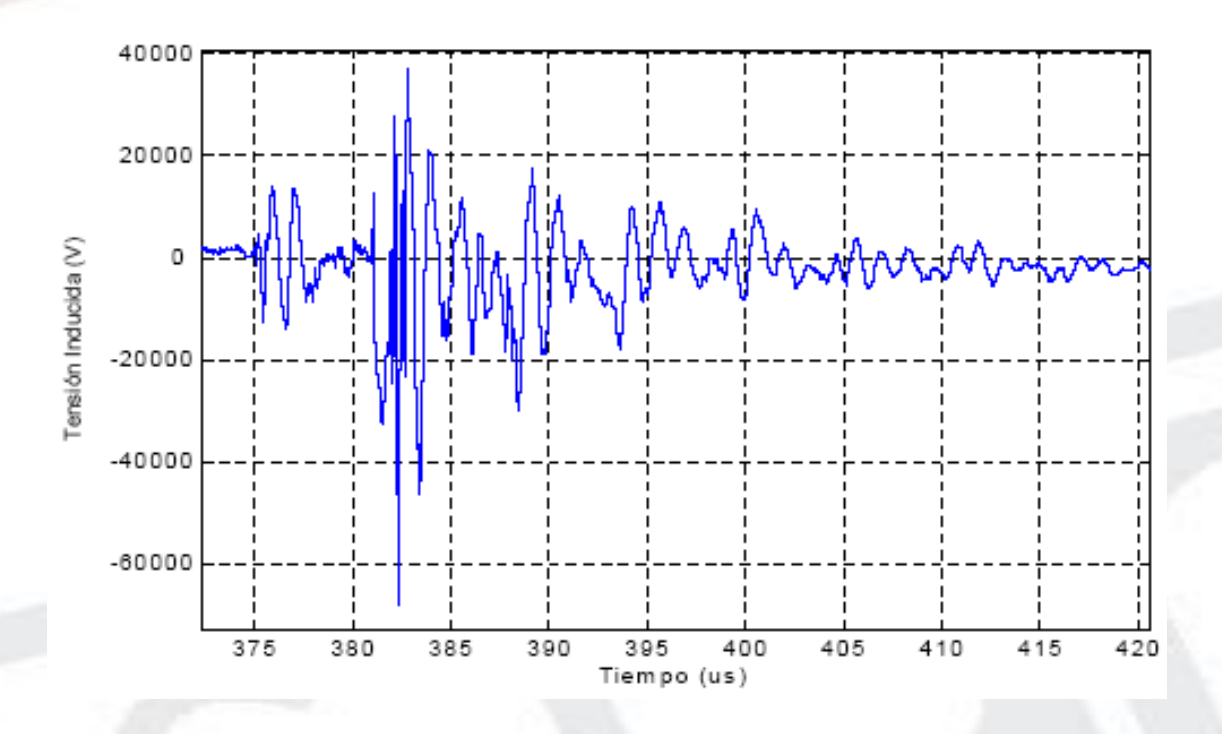


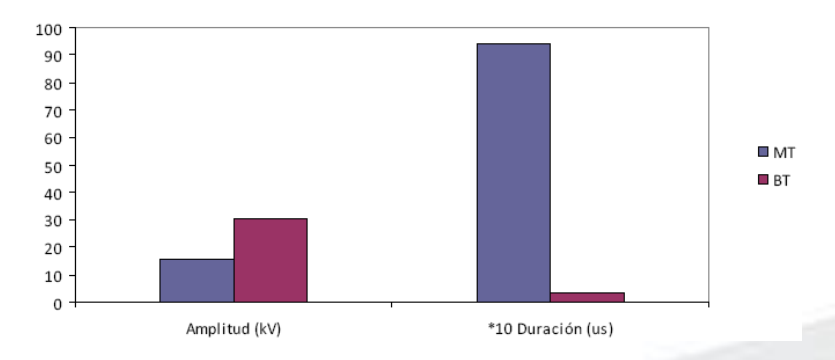
Tabla 3.3. Estadísticas de las tensiones inducidas medidas en baja tensión

Variable	Media	Media SE	Desv. Est.	Mínimo	Q1	Mediana	Q3	Máximo
TI (V)	30729	6170	24649	3902	10130	19238	50926	77670
Duración (μs)	34,5	7,9	31,58	5,1	15	24,77	50,7	133



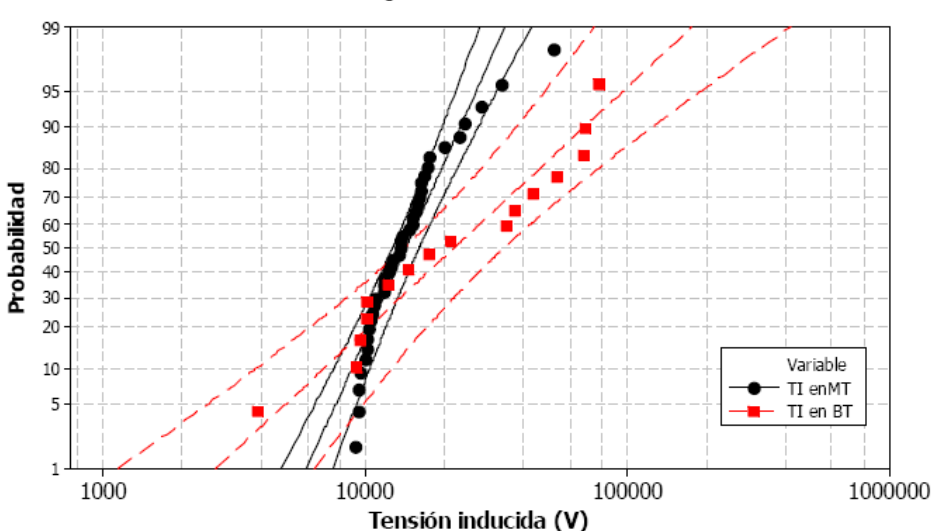


Comparación de TIs en MT y BT



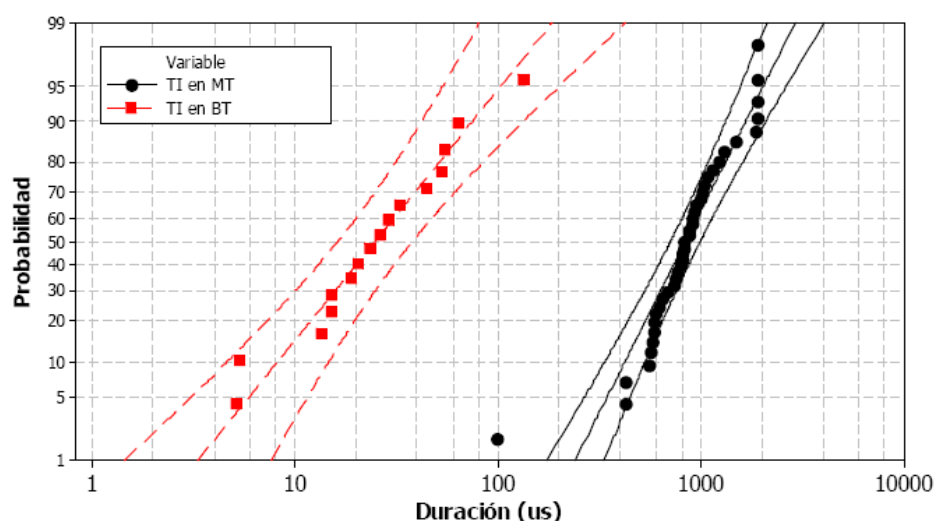
Curva de probabilidad para TIs en MT y BT

Lognormal - 95% CI



Curva de probabilidad de la duración de TI

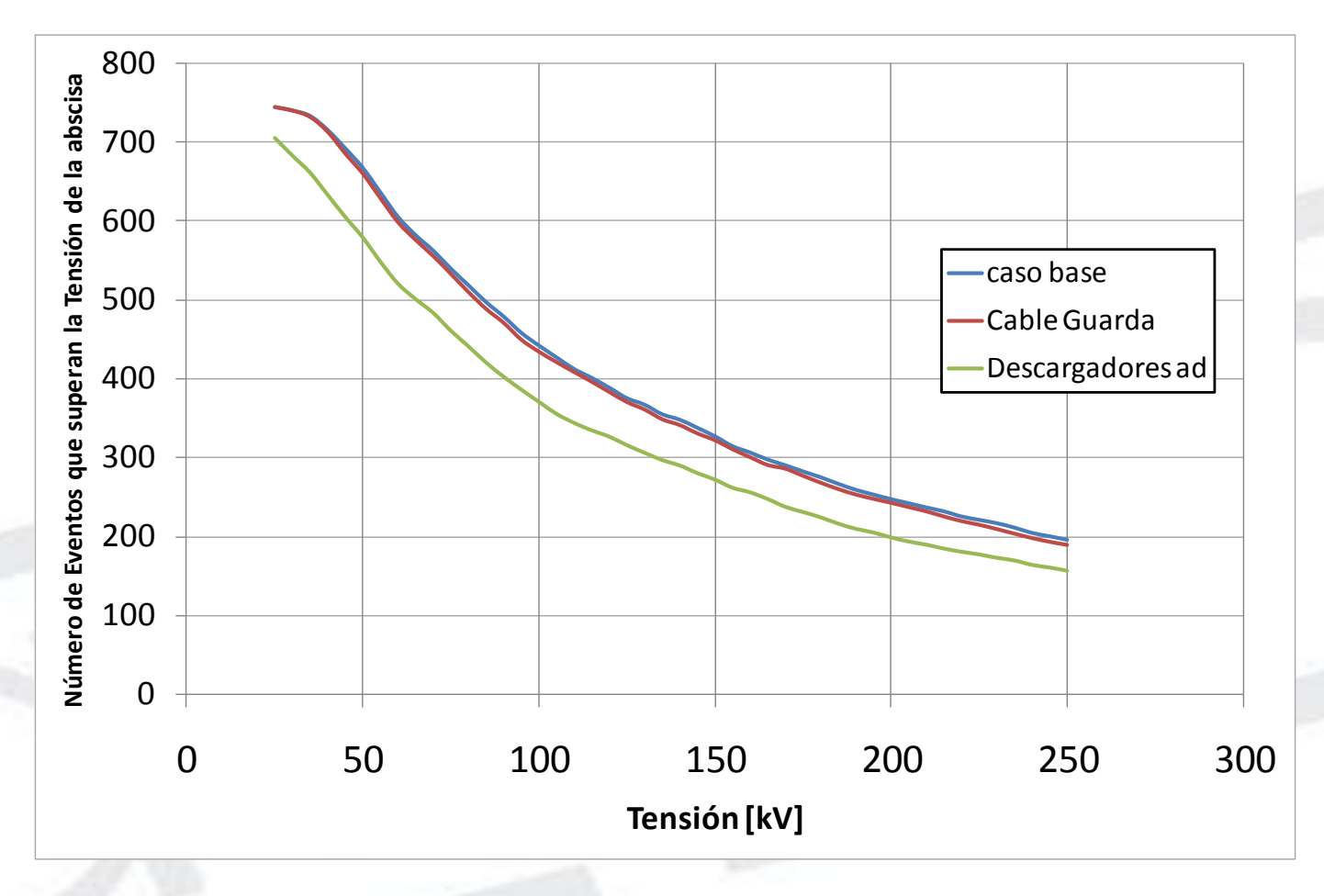
Lognormal - 95% CI







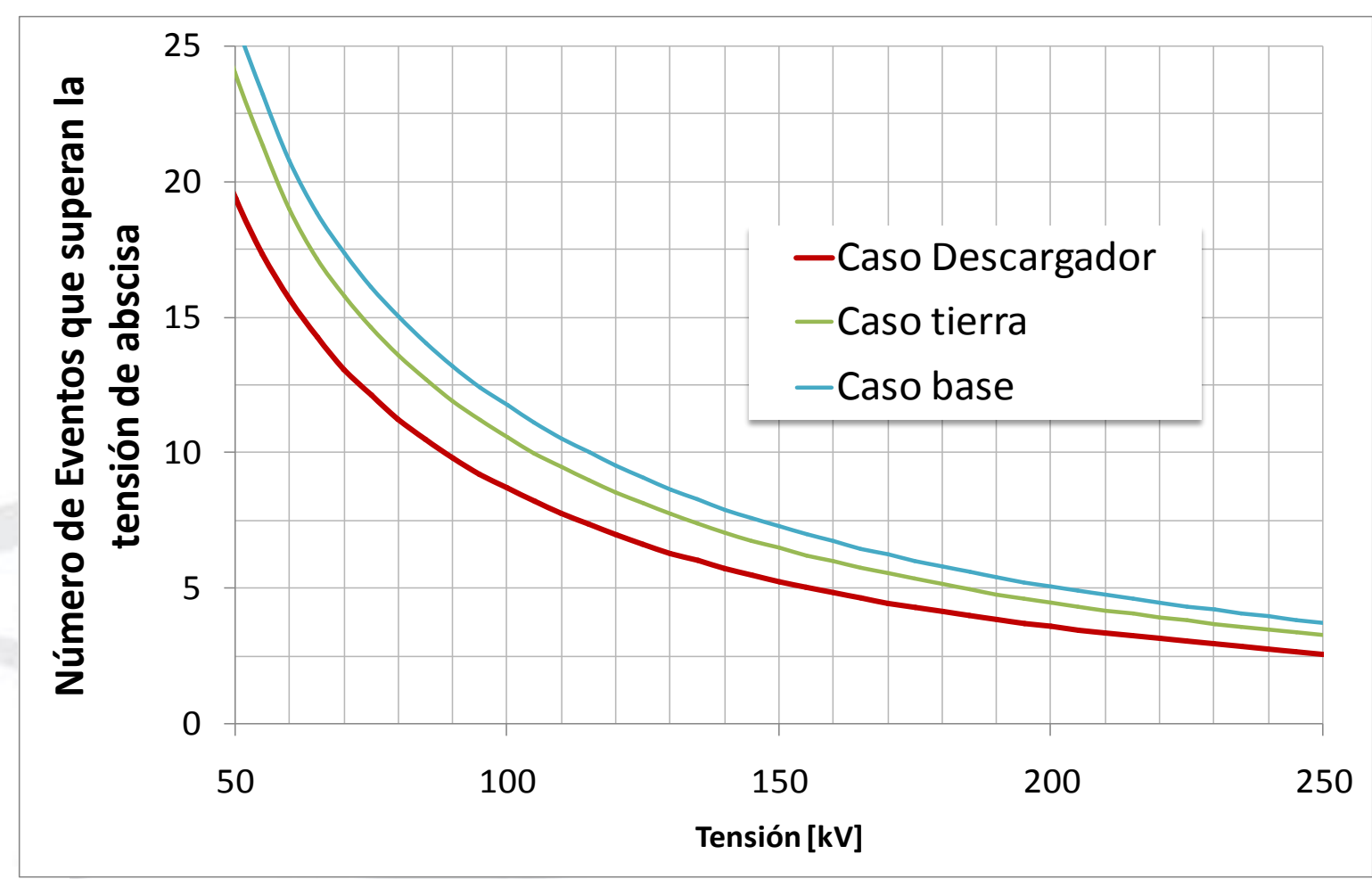
Número de Fallas /100 km año







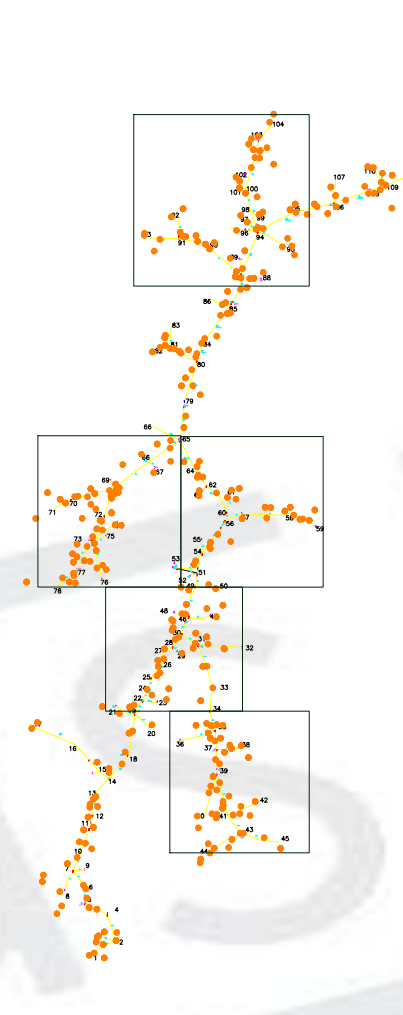
Solución: usando DST en la línea (OE4)







Zonas con mayor riesgo de impactos directos (OE4)



- 399 impactos directos en la línea
- 130 eventos con gran probabilidad de falla del aislamiento o de destrucción de un descargador de sobretensión.





Conclusiones del análisis (OE4,6)

Posibles soluciones obtenidas a partir de las simulaciones.

Teniendo en cuenta las simulaciones se puede identificar que dentro de las posibilidades, las alternativas más viables están:

- Cable de guarda en el ramal principal, en los puntos de mayor altura, que tendrán mayor densidad de rayos (para disminuir los esfuerzos de los descargadores de sobretensión).
- Incluir Descargadores de sobretensión en todos los finales de línea y nodos de intersección (posibilidad de mejoramiento del 20%)
- Descargadores de sobretensión en baja tensión en los transformadores para disminuir el esfuerzo y aumentar la vida útil
- Utilizar conductores en baja tensión trenzados para disminuir la inducción por rayos cercanos y disminuir las sobretensiones de transferencia en baja tensión.
- 5. Disminuir el valor de puesta a tierra en el punto de instalación del transformador.





Incidencias y fallas de transformadores

-Incidencias

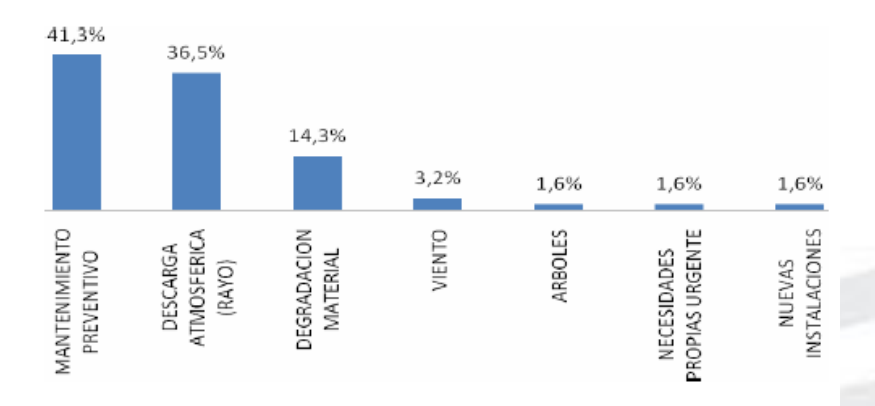


Figura 5.1 Causas de incidencias por porcentajes

- Fallas de transformadores

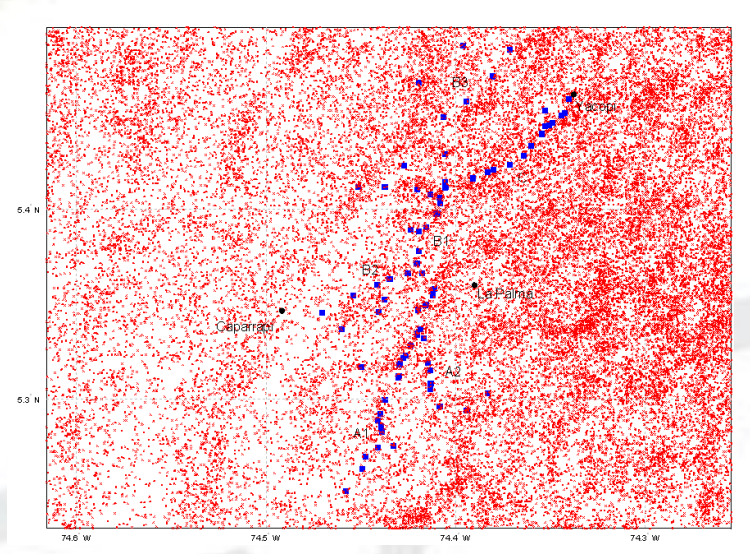
Tabla 5.3 Causas de fallas de transformadores en el circuito Minipí

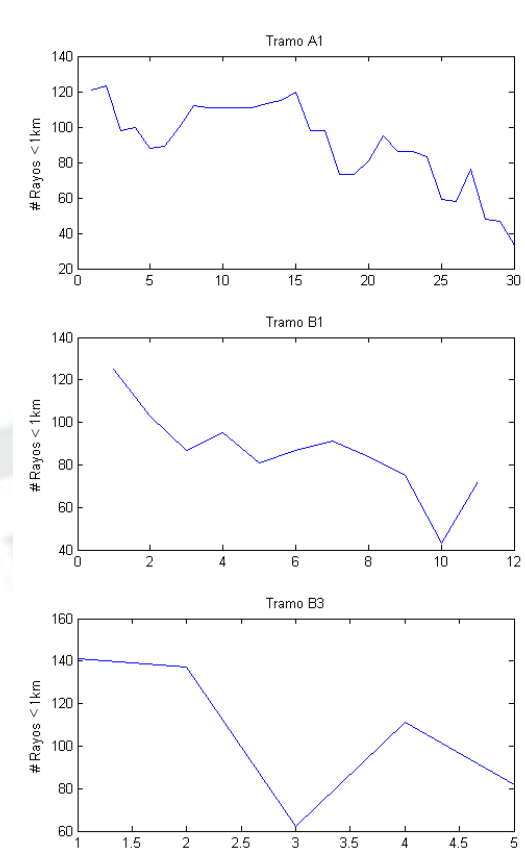
Recurrencia	Cantidad de transformadores fallados
Descarga Atmosférica	95
Quemado	12
Corto circuito en B.T	4
Falla en la fase	3
Vandalismo	1
Causa desconocida	1
Total	122

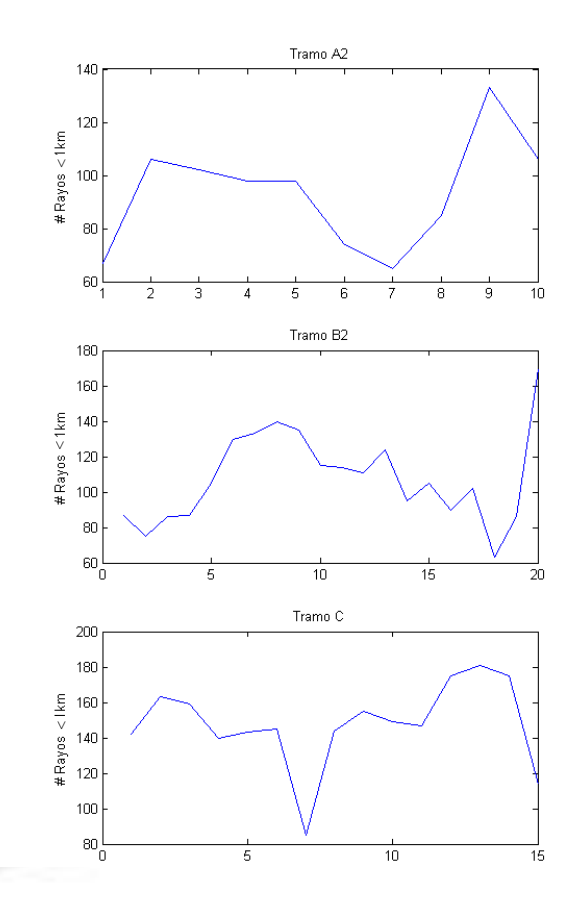




Actividad de Rayos cercanos al Circuito Minipi (0E4)











Segmentos del circuito Minipi con mayor riesgo (OE4)

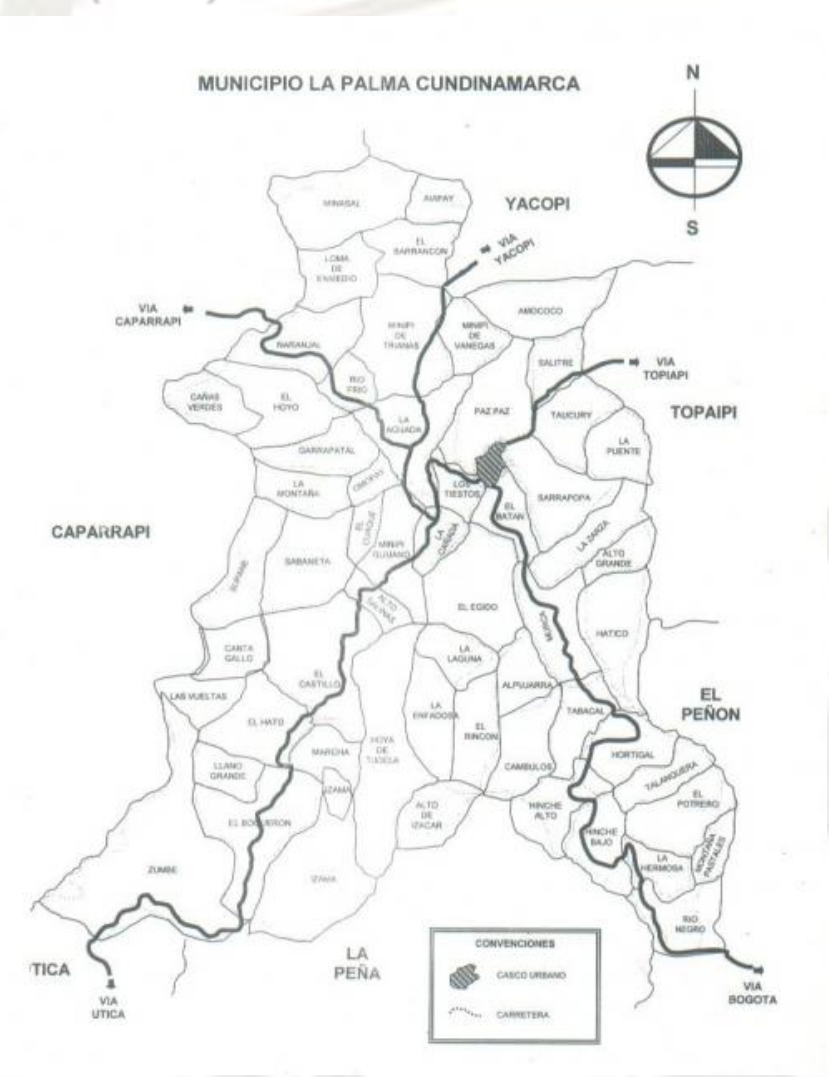


Tabla 4.2. Segmentos del circuito Minipí con mayor riesgo

Vereda o lugar	Número de impactos de	Tramo
	rayos a tierra cercanos por	
	km. (5 años)	
La Cañada	124	A1 y B1
Minipí de Quijano	120	A1
El Castillo	96	A1
El Egido	132	A2
La Aguada	125	B1, C
Minipí de Trianas	180	B1, C
Sabaneta	140	B2
Las Vueltas	168	B2
Loma de En medio	134	B3
Yacopí	162	С





Sistemas de puesta a tierra (OE4)

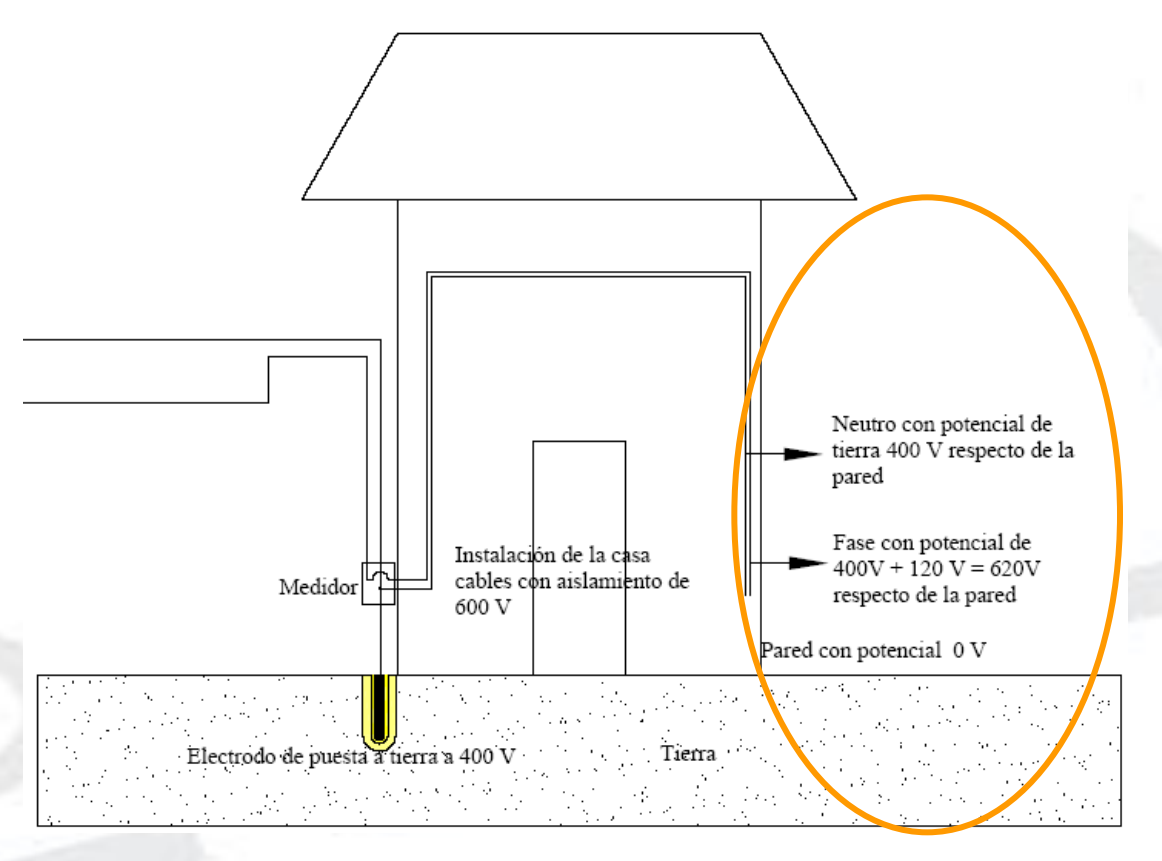
Transformador No. 17197 ubicado		
en la Vereda El Egido		
No. de medida Resistencia Ω		
1	149.2	

Transformador No. 17115 ubicado		
en la Vereda La Aguada		
No. de medida	Resistencia Ω	
1	310.0	

Transformador No. 17115 ubicado		
en la Vereda Cuesta en medio vía La		
Palma - Yacopí		
No. de medida	Resistencia Ω	
1	36.2	

Transformador No. 16889 ubicado	
en la Vereda La Cañada	
No. de medida	Resistencia Ω
1	129.1

-Riesgos para personas e instalaciones

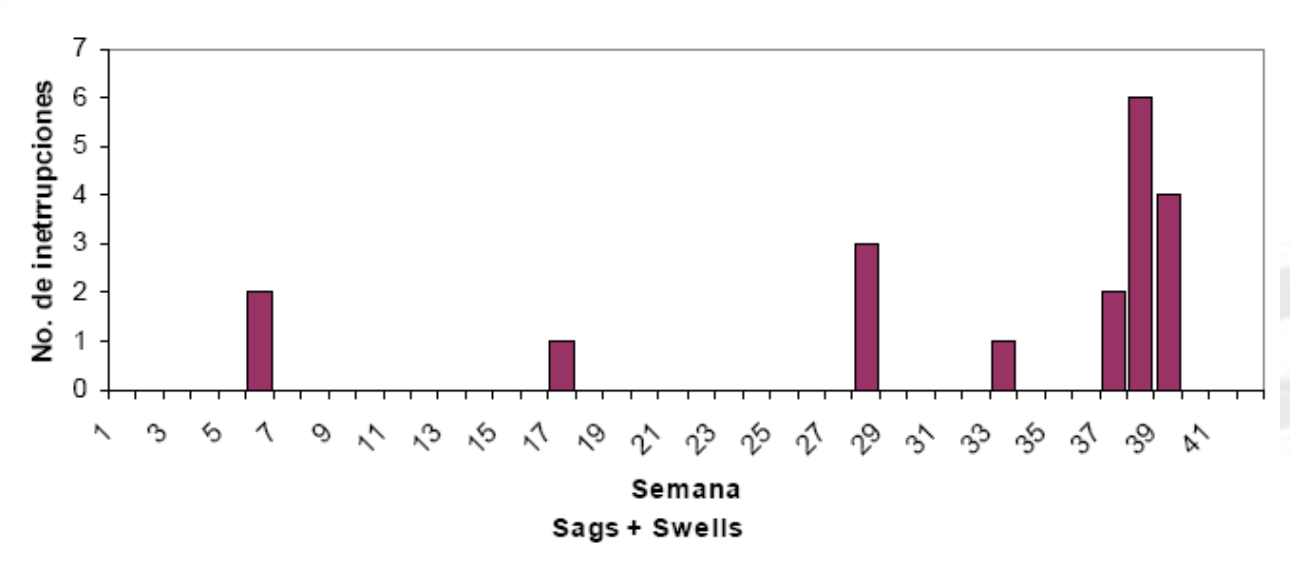


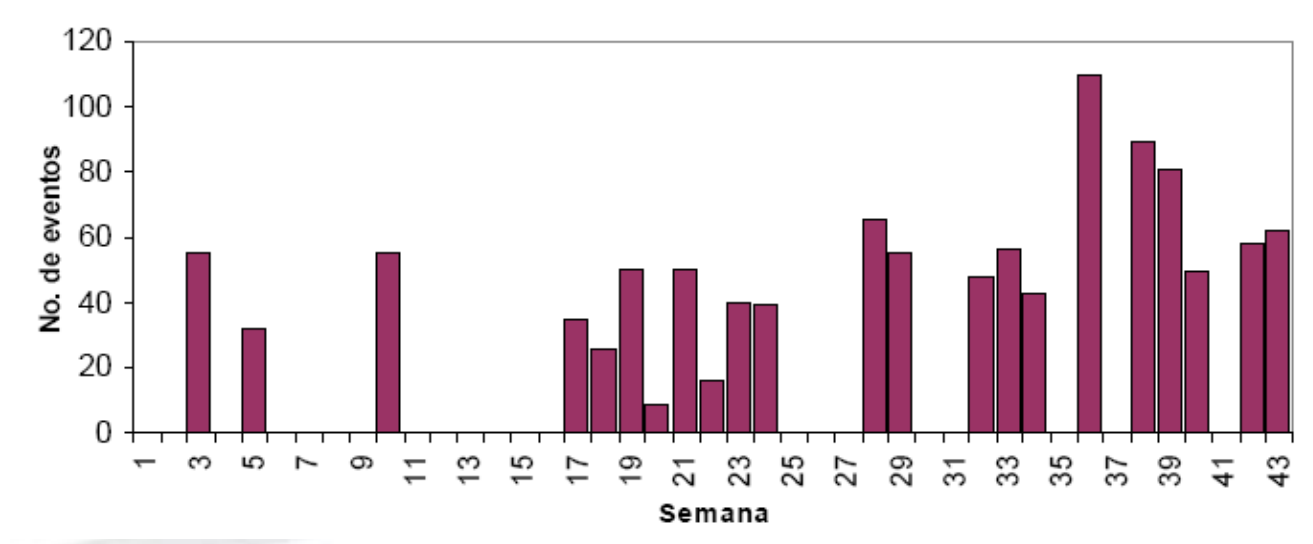




Interrupciones y eventos en tensión (2008-2009) (OE4)

Interrupciones reportadas

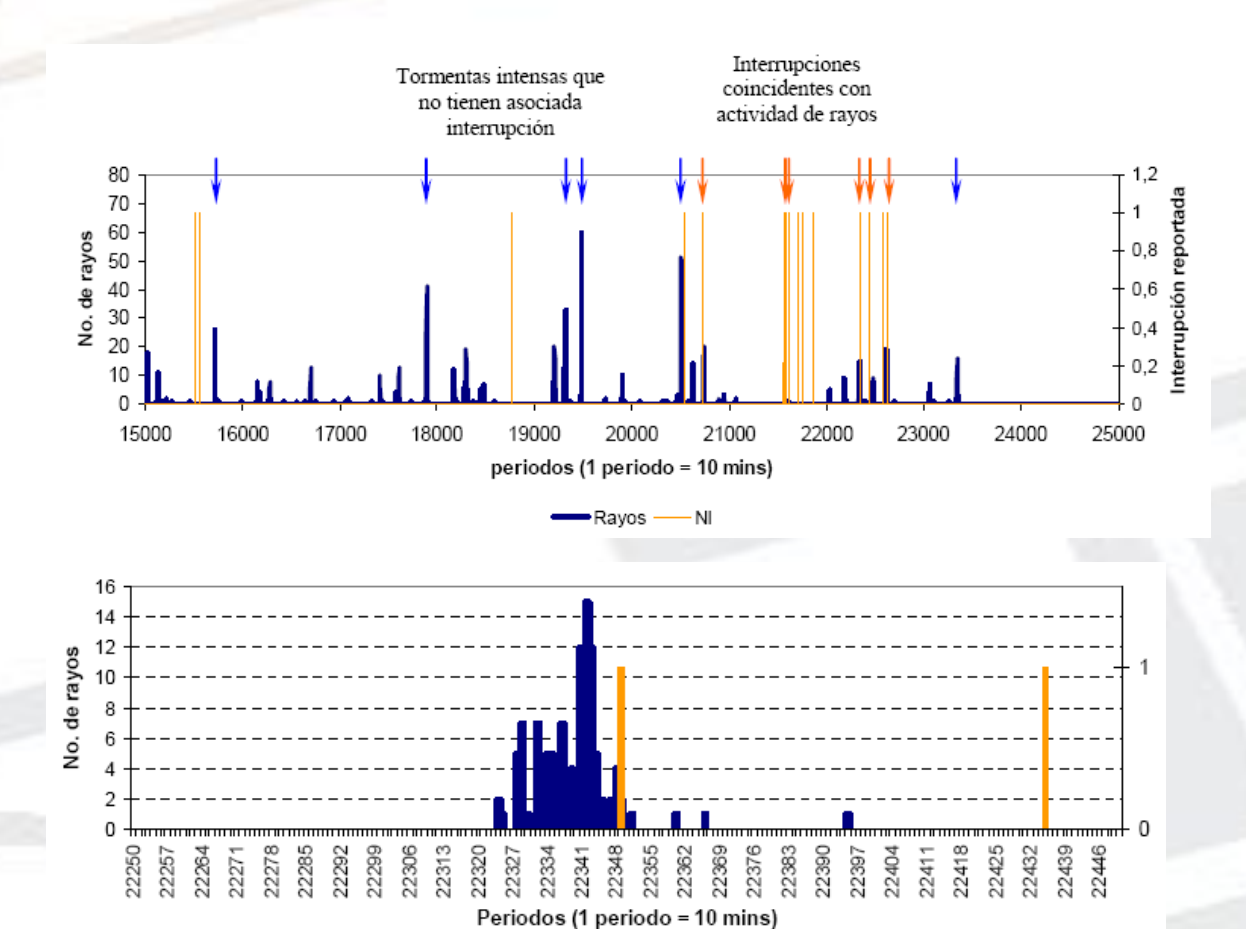








Interrupciones vs. Rayos (OE4)

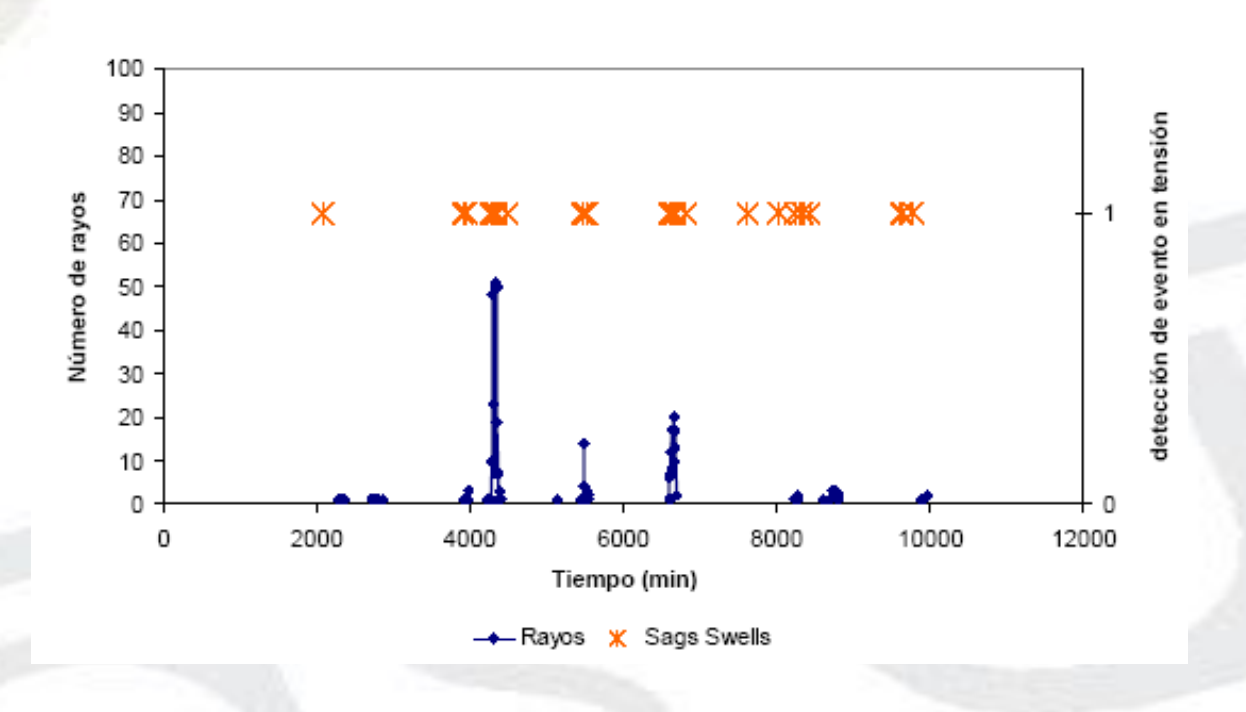


Rayos NI





Sags y swells vs rayos (OE4)



1124 Sags y Swells en 10 meses

Correspondencia en mas del 80 % de los casos con la actividad de rayos





Cuantificación de fallas (OE4, OE6)

1.3 Cuantificación total de fallas

La tasa total de falla del sistema en la condición actual es:

Teniendo en cuenta ue el circuito tiene una longitud de 170,5 km, la tasa de fallas total es:

Total fallas en el circuito = 288 fallas/100 km año X 1,705 = 489,6 fallas/año (2)





Mejora de puestas a tierra (OE4, OE6)

Tabla 3. Efecto de mejorar puestas a tierra en la reducción de fallas por impactos directos de rayo

Solución	Puesta a tierra aproximada	Fallas / 100 km año (GFD = 1)	GFD La Palma	Fallas / 100 km año (La Palma)	Km de línea	Fallas en el Cto
	>120 ohm	10	12	120	170,5	204,6
Mejoramiento de puestas a tierra	100 ohm	9	12	108	170,5	184,1
puestas a tierra	40 ohm	8	12	96	170,5	163,7
	20 ohm	5	12	60	170,5	102,3

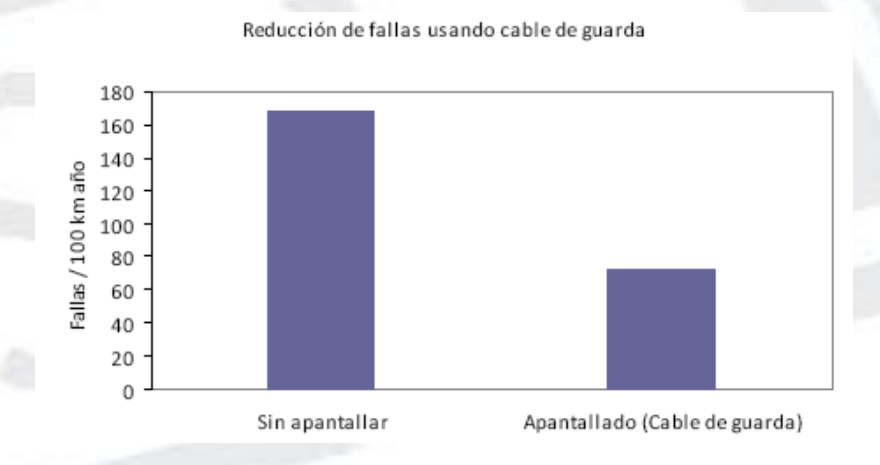




Cable de guarda (OE4, OE6)

Tabla 1. Efecto de instalar cable de guarda en la reducción de fallas por tensiones inducidas

Solución	Caso	Fallas / 100 km año (DDT = 1)	DDT La Palma	Fallas / 100 km año (La Palma)	km de linea	Fallas en el cto
	Sin apantallar	14	12	168	78	286,4
Apantallamiento	Apantallado (Cable de guarda)	6	12	72	78	122,76



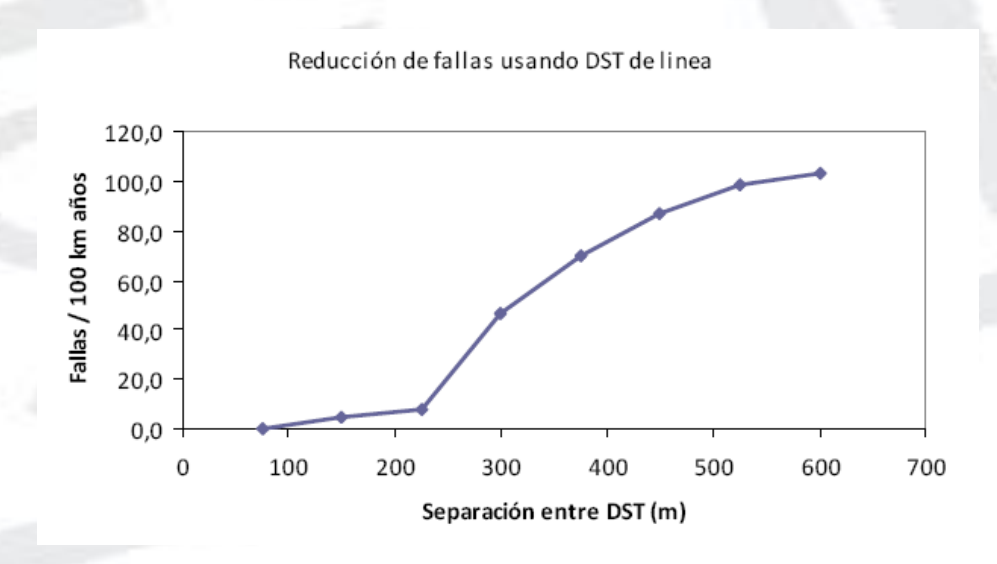




Instalación de DST (OE4, OE6)

Tabla 2. Efecto de instalar DST de línea en la reducción de fallas por tensiones inducidas

Solución	Distancia entre DST (m)	Fallas / 100 km año (GFD = 1)	GFD La Palma	Fallas / 100 km año (La Palma)	km de linea	Fallas en el Cto
	75	0,0	12	0,0	170,5	0,0
	150	0,4	12	4,7	170,5	8,0
Uso de DST de línea	225	0,6	12	7,5	170,5	12,7
	300	3,9	12	46,7	170,5	79,6
	375	5,8	12	70,0	170,5	119,4
	450	7,2	12	86,8	170,5	148,0
	525	8,2	12	98,0	170,5	167,1
	600	8,6	12	102,7	170,5	175,0
	Sin DST de línea	14,0	12	168,0	170,5	286,4







Implementación de soluciones (OE4, OE6)

Algunas metodologías de solución que son efectivas son:

- 1. Cable de guarda disminuye el acople de producido por el campo electromagnético su eficiencia se da principalmente en el aterrizamiento que se de a este cable, mientras más puntos estén a conectado a tierra mejor.
- 2. Descargadores de sobretensión a lo largo de la línea, su eficacia esta asociado al número de descargadores que se usen
- Disminución de distancias entre conductores
- 4. Mejoramiento de Transformadores
- Aumento del CFO del aislamiento de la línea de distribución.





Implementación de soluciones (OE4, OE6)

Tabla A. Características de los tramos del Circuito Minipí

Tramo	Longitud (km)	No. de fallas/año	No. de fallas de transformadores	No. de rayos a menos de 1 km
В3	26.7	77	28	140
A1	32.9	95	24	122
A2	22.2	64	21	135
С	31.6	91	16	180
B2	21.3	61	13	160
B1	16.5	48	12	122

Tabla B. Implementación de soluciones por cada tramo del circuito Minipí.

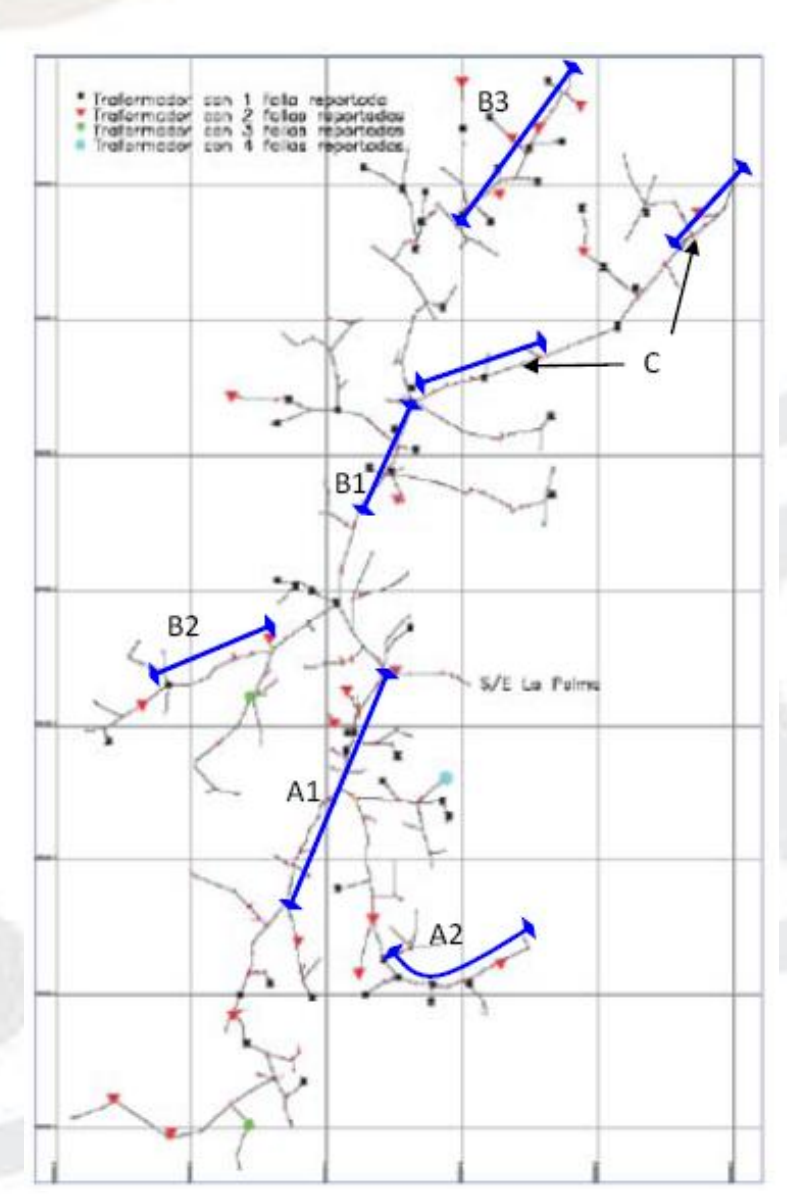
Prioridad	Tramo	Longitud (km)	Sección a intervenir (km)	Vereda, lugar	Cable de Guarda (km)	No. DST (Cada 450m)	Mejoramiento de puestas a tierra
1	A1	32.9	14,9	La Cañada - Minipi de T El Castillo	14,9	33	40 Ω.
2	В3	26.7	14	Loma en Medio	14	31	40 Ω.
3	A2	22.2	11	El Egido	11	24	40 Ω.
4	С	31.6	14,6	Via a Yacopi	14,6	32	40 Ω.
5	B2	21.3	8,9	Sabaneta	8,9	20	40 Ω.
6	B1	16.5	4,1	La Aguada	4,1	9	40 Ω.
Total	-	151,2	67,5		67,5	150	



paas un

Implementación de soluciones (OE4, OE6)

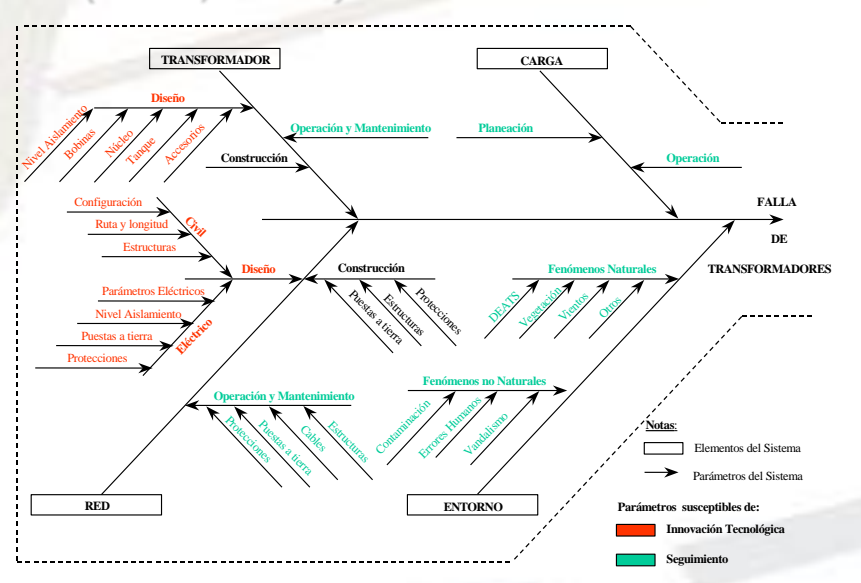
-Secciones para aplicar soluciones







Soluciones – Mejoramiento de transformadores (OE4, OE6)





- 1. Incremento del BIL del transformador: 125/30 kV
- 2. Diseño de bobina de Alta tensión contra núcleo
- Descargadores en AT y BT, o Autoprotección (CSP), protecciones adicionales en red si es necesario
- Pruebas de vacío y hermeticidad en fábrica (0,2 atmósferas) para evitar burbujas (combinación de dieléctricos) durante el transporte.
- 5. Puestas a tierra de bajo valor ohmico (< 20 Ohmios).
- Monitoreo y Mantenimiento permanente del sistema entorno (Red, protecciones, transformador, puestas a Tierra, vegetación).
- Si el sitio es de difícil acceso se recomienda modificación de los soportes mecánicos para transporte.





Protección de equipos en baja tensión (OE5)

De acuerdo a las simulaciones realizadas en el capituo 3 para impactos directos e indirectos, es posible observar que las sobretensiones a las que se encuentra sometido el lado de baja tensión de los transformadores por tensiones transferidas, puede ser mayor a 35 kV, comprometiendo el aislamiento en baja tensión del transformador.

Esto se corrobora con las mediciones realizadas en el circuito, en las cuales se encontró que las sobretensiones transferidas podrían llegar a valores de 77 kV.

Una forma para reducir el riesgo de falla del transformador es implementar dispositivos de protección como descargadores de sobretensión en baja tensión. La tensión residual de estos dispositivos para el nivel de tensión 120-220 V es típicamente de 4-5 kV





Mejoramiento del desempeño de RD

- ☐ Técnicas comunes
 - Reducción de la Resistencia de Puesta a Tierra
 - Aumento del nivel de aislamiento de RD
- Otras prácticas: Mejoramiento integral:
 - Trafos nuevo diseño (8 factores)
 - Reducción de la Altura de la Torre
 - ☐ Cables de guarda adicionales (mejora acople)
 - ☐ Uso de madera o fibra de vidrio en serie con el aislador (aumenta el CFO y ayuda a extinguir el arco)
 - Apantallamiento adicional con estructuras vecinas (árboles, torres, edificios, RD)
 - ☐ Instalar contrapesos (Reduce RPT)
 - Uso de descargadores de ST en paralelo con aisladores.

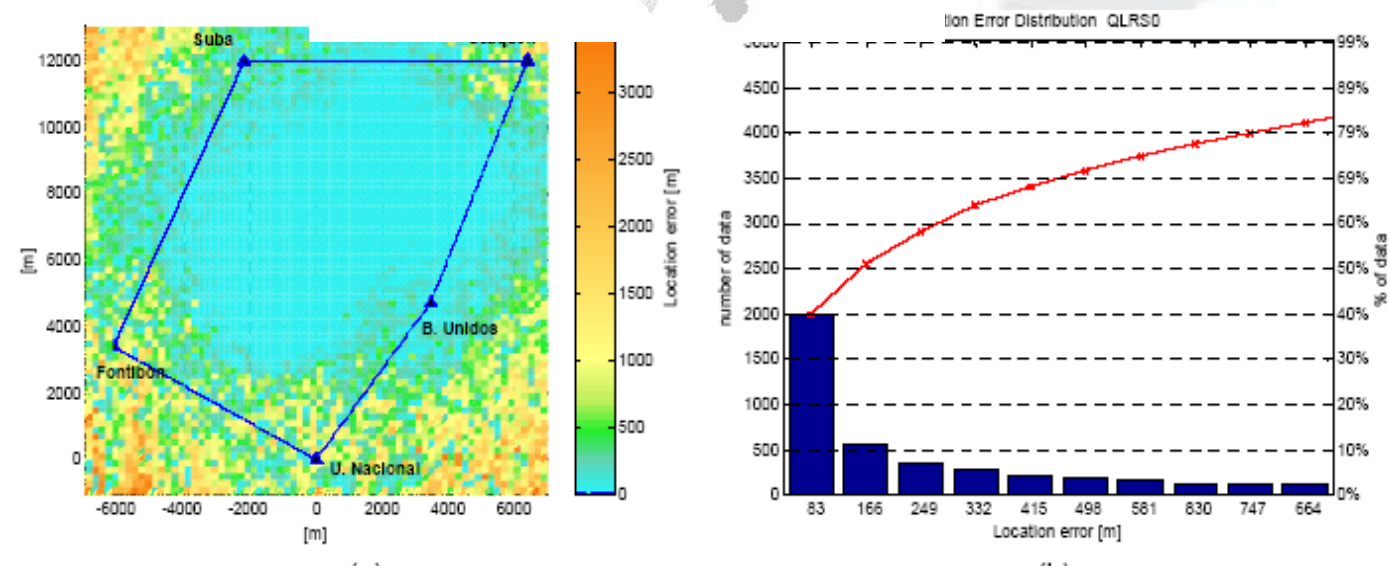


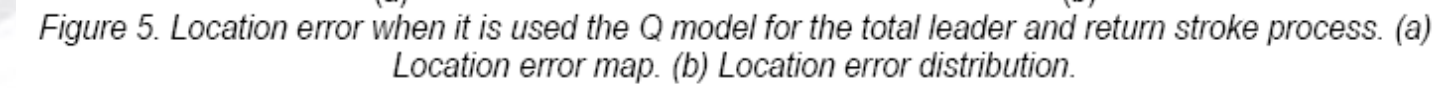




Sistema de prevención.











Conceptos básicos sobre predicción y alerta de tormentas eléctricas

Sistema de Alerta de Tormentas – SAT (*Thunderstorm Warning System - TWS*)

Sistema compuesto por **detectores** de tormentas y **algoritmos**, capaz de seguir la actividad de tormentas en un área de monitoreo y procesar alertas válidas relacionadas con eventos de rayo para un objetivo a proteger específico.

EN50536 Protection Against Lightnign – Thunderstorm Warning Systems CENELEC 2011.





El sistema de Alerta de Tormentas - SAT más básico

Detector:

- Ojo
- Oído

Algoritmo: (Regla del 30 / 30)

-Si t (entre el relámpago y el trueno) < **30 segundos** → (encender alarma) - Si t (después del último trueno) > **30 minutos** → (fin de alarma)







Métodos de detección

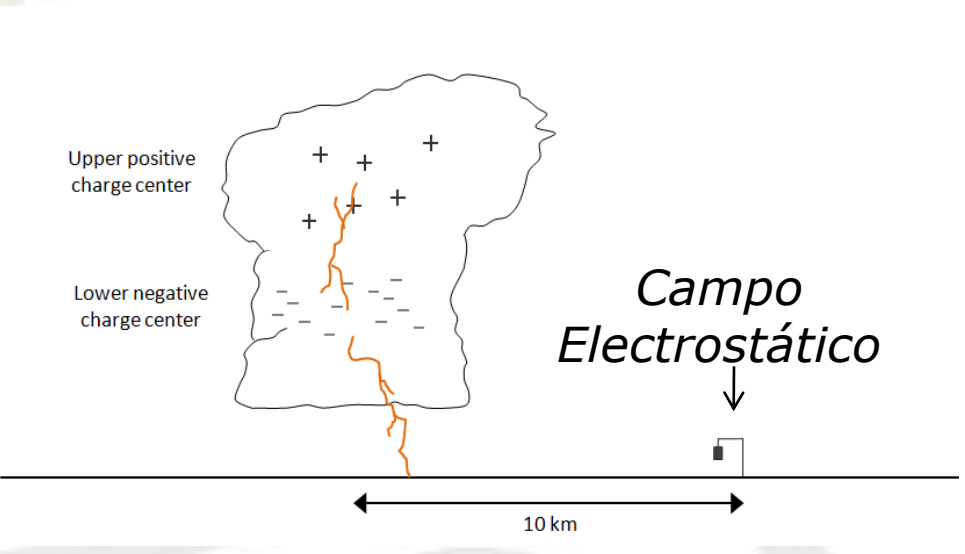


- Medida del campo electrostático (DC)
- Medida de los campos electromagnéticos asociados a la descarga (VLF, LF, VHF)
- Radar Meteorológico (Reflectividad)
- Sistemas satelitales (LIS-NASA, ASIM-ESA)

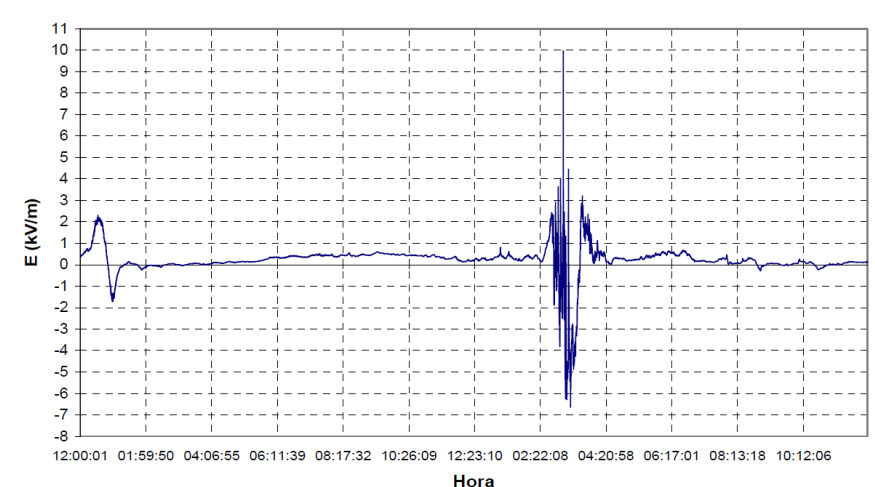


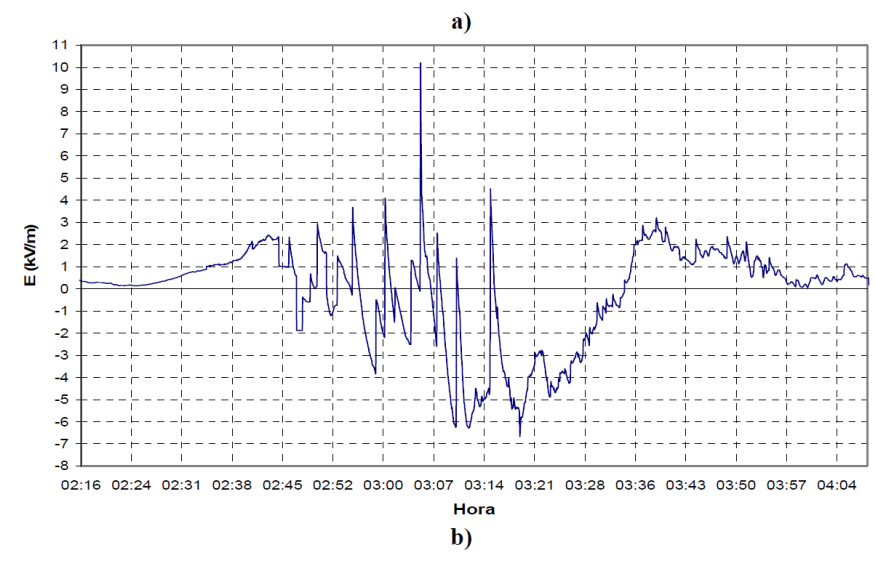


Medida del campo electrostático (DC)



- Tiempos de predicción (Lead-time) entre 10 y 30 minutos
- Probabilidad de Detección (POD) mayor a 95 %
- ➤ Rango 20 30 km









Medida del campo electrostático (DC)







Medida de los campos electromagnéticos asociados a la descarga (VLF, LF, VHF)







Clasificación de los métodos de detección

- CLASE I. Detección de la tormenta en todo su ciclo de vida (Molinos de campo eléctrico)
 - > **PRETHOR**, PREVISTORM, MISSION INSTRUMENT, CAMPBELL, otros
- CLASE II. Detección de actividad total de rayos (redes de detección).
 - > LINET (3D), SAFIR, LMA, LDAR
- CLASE III. Detección de actividad de rayos nube-tierra (redes de detección).
 - > IMPACT
- CLASE IV. Detección de radiaciones con eficiencia muy limitada.
 - Sensores portátiles



Algoritmos de predicción

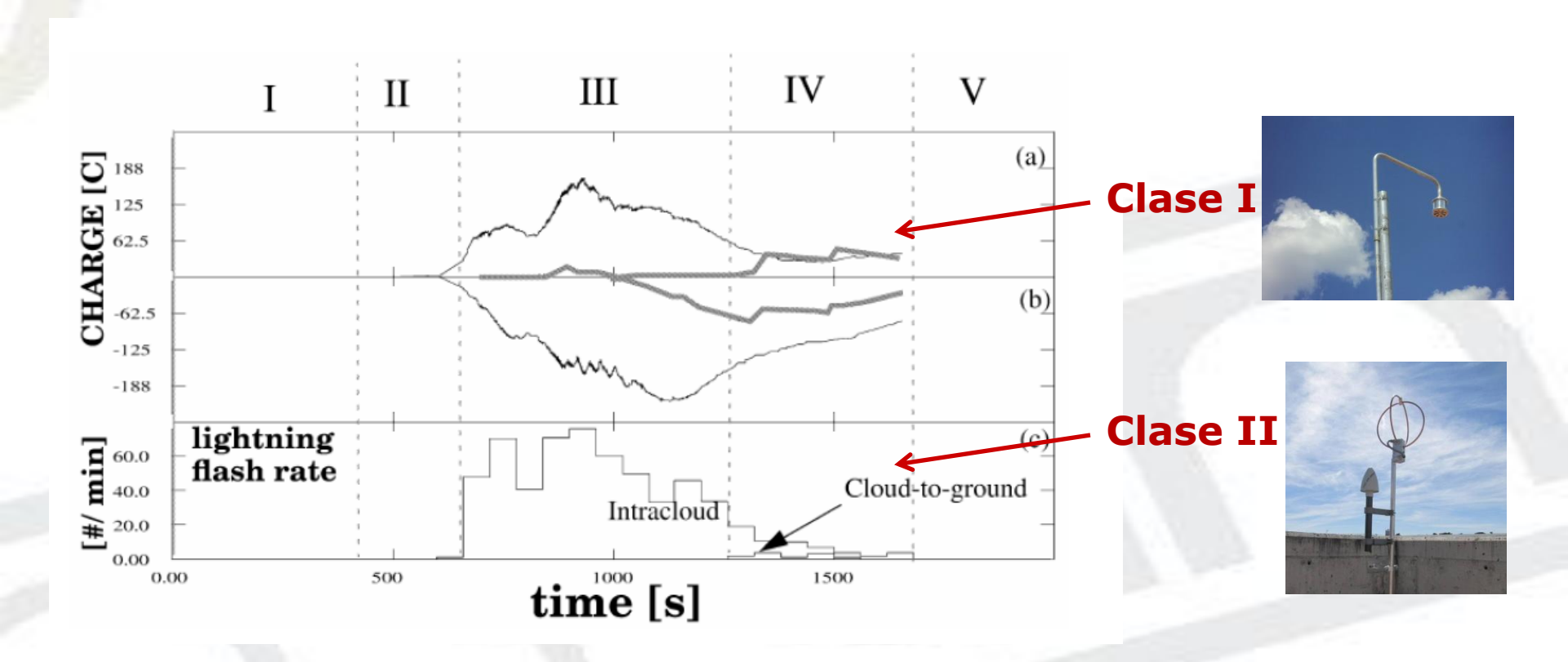


- Procesamiento de campo electrostático
- > Detección y seguimiento de celdas de tormentas





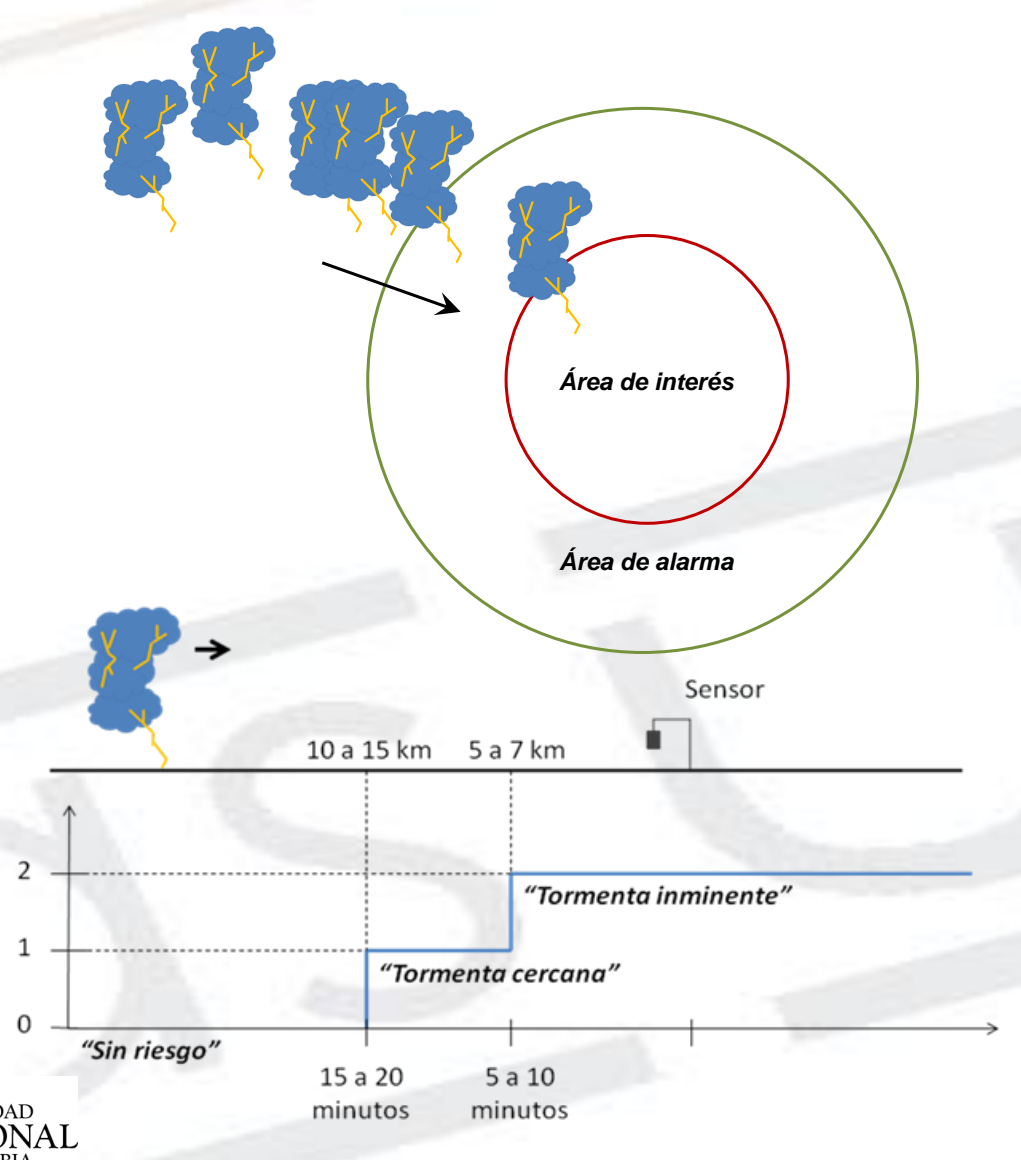
Ciclo de vida de la nube de tormenta







Procesamiento de campo electrostático

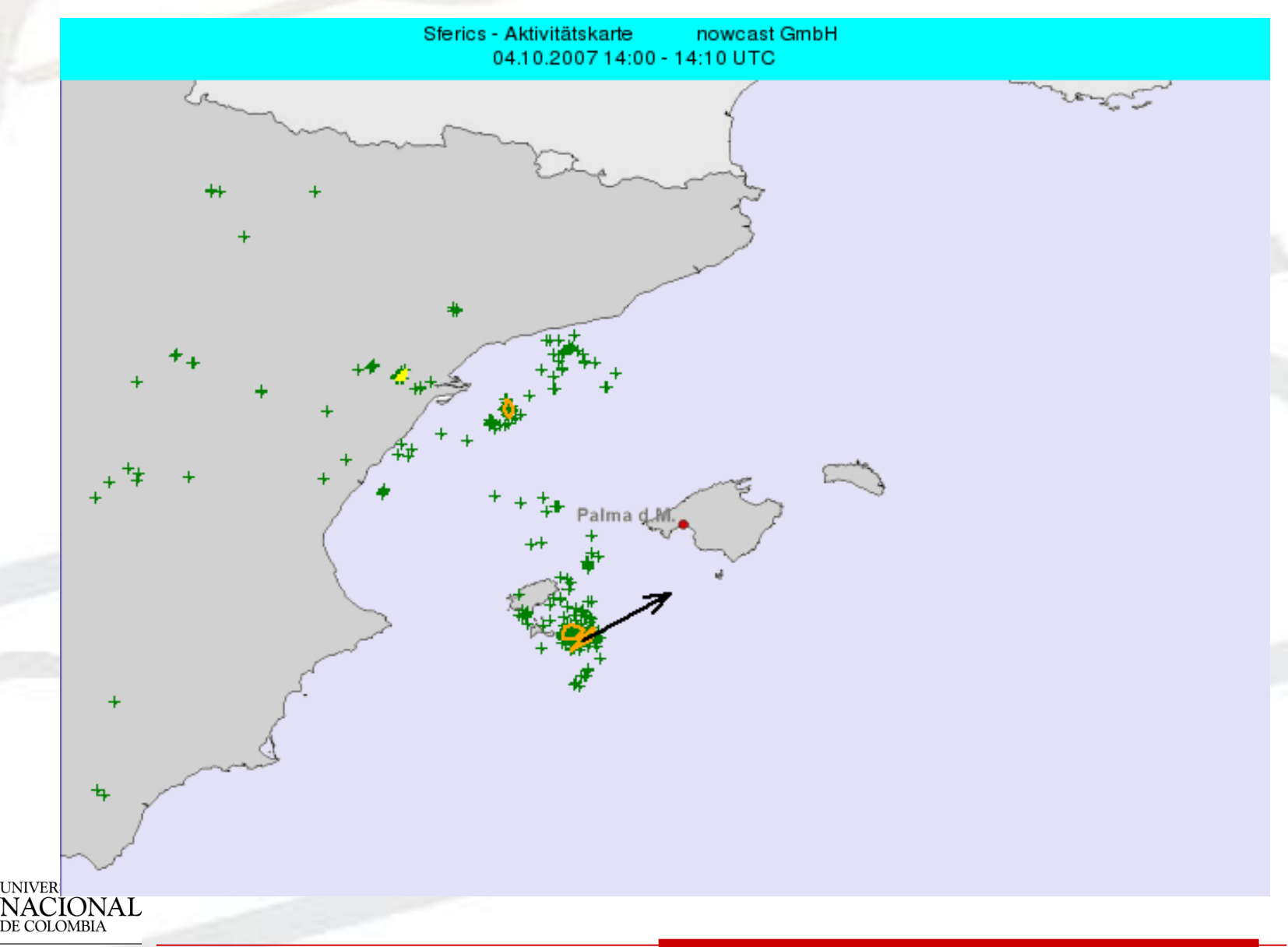








Seguimiento de celdas de tormenta





>CASOS REALES DE APLICACIÓN

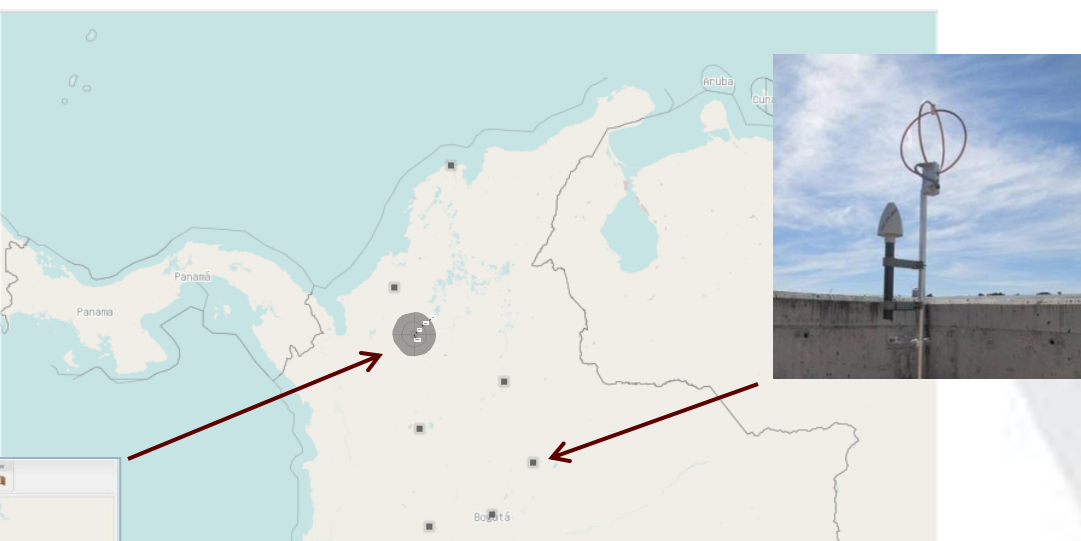
- > MINAS
- > CAMPOS PETROLEROS
- > AEROPUERTOS
- > REDES DE DISTRIBUCIÓN DE ENERGÍA
- > TORRES DE COMUNICACIONES

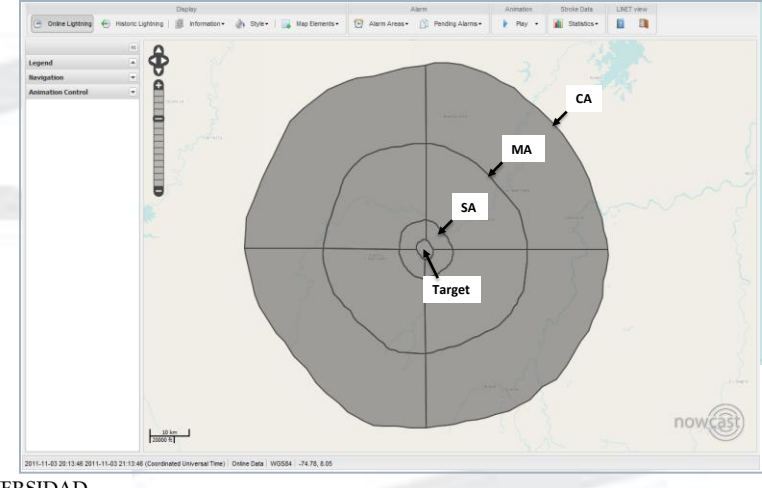




Minas, Colombia,



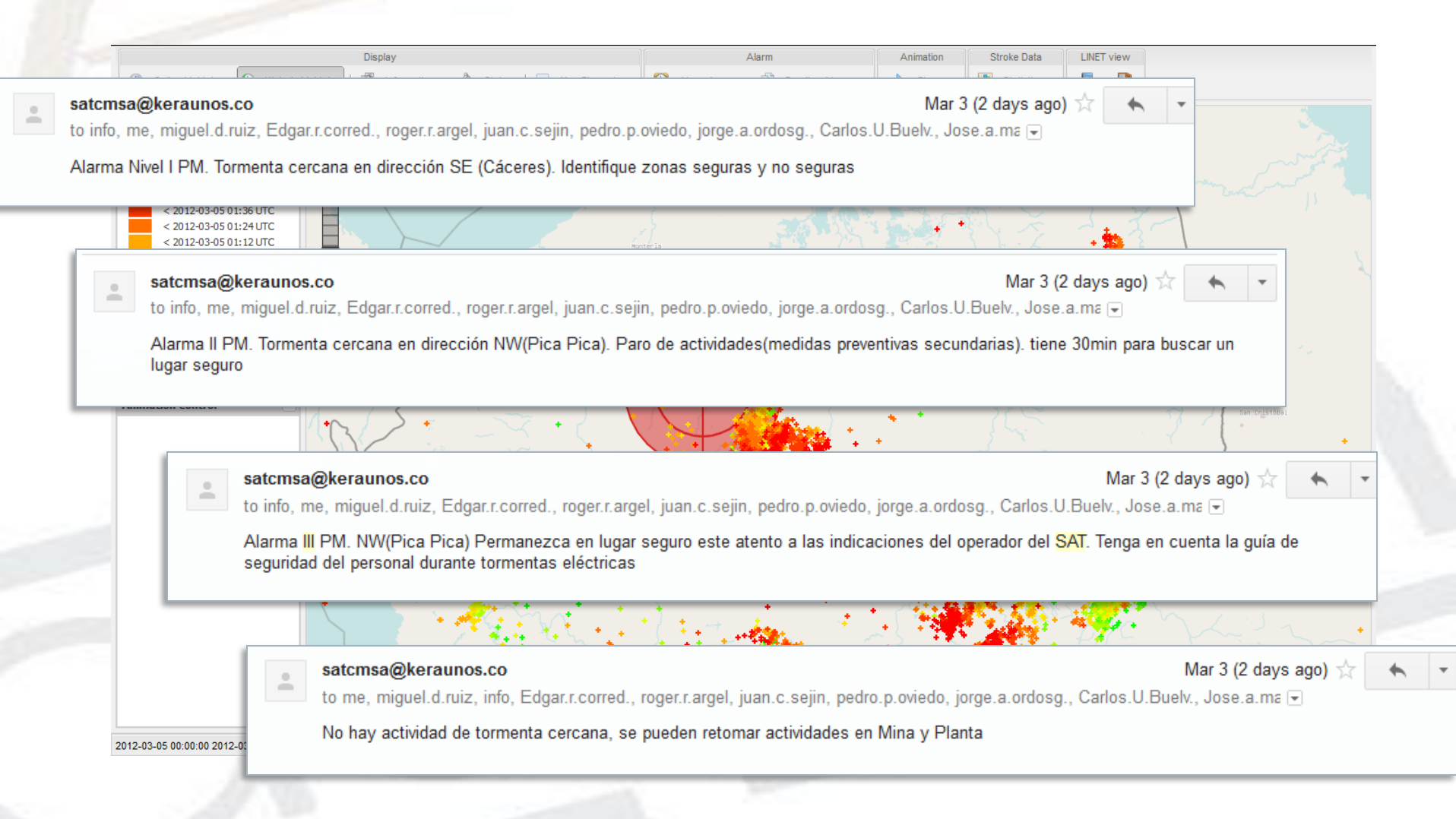






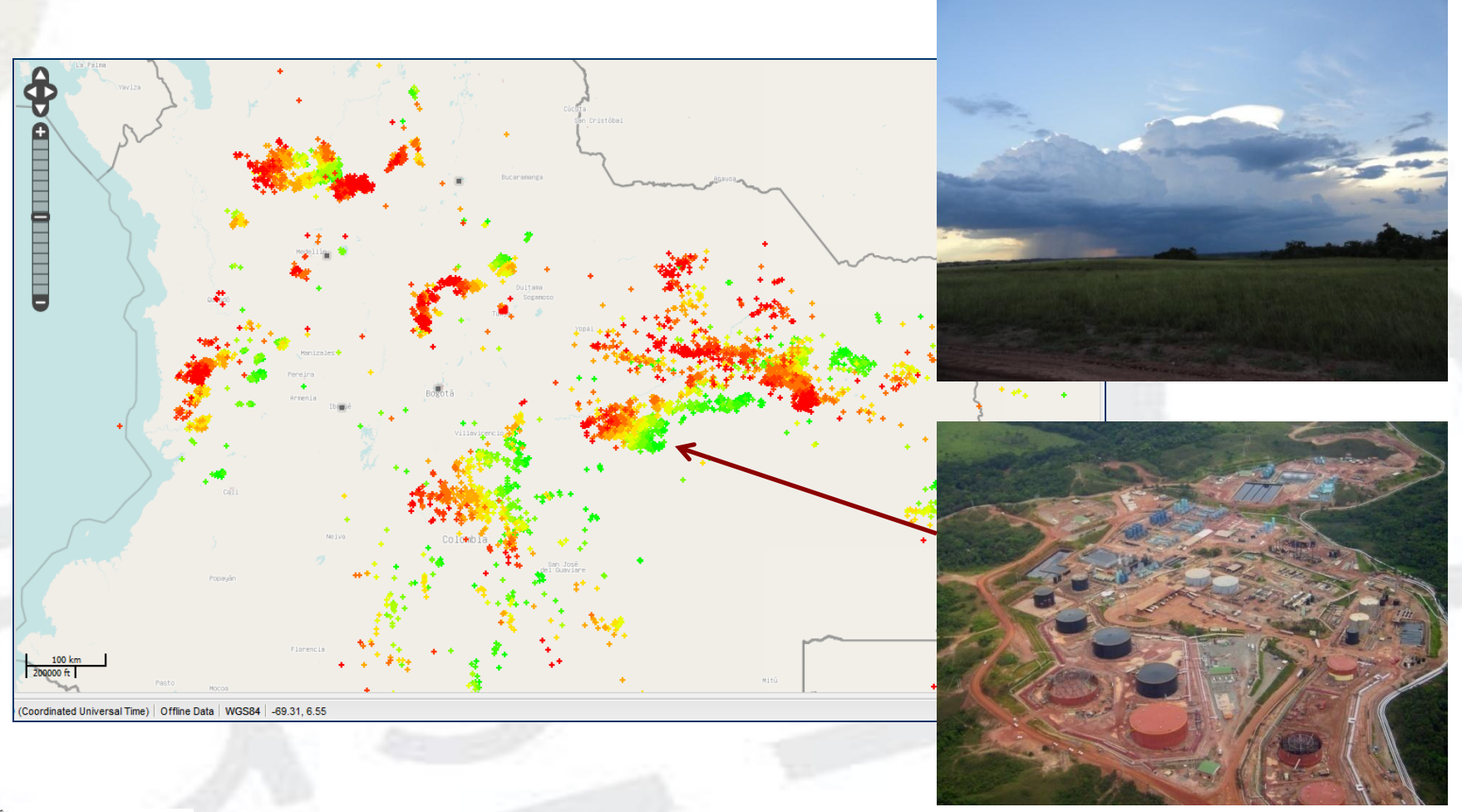


Minas, Colombia,















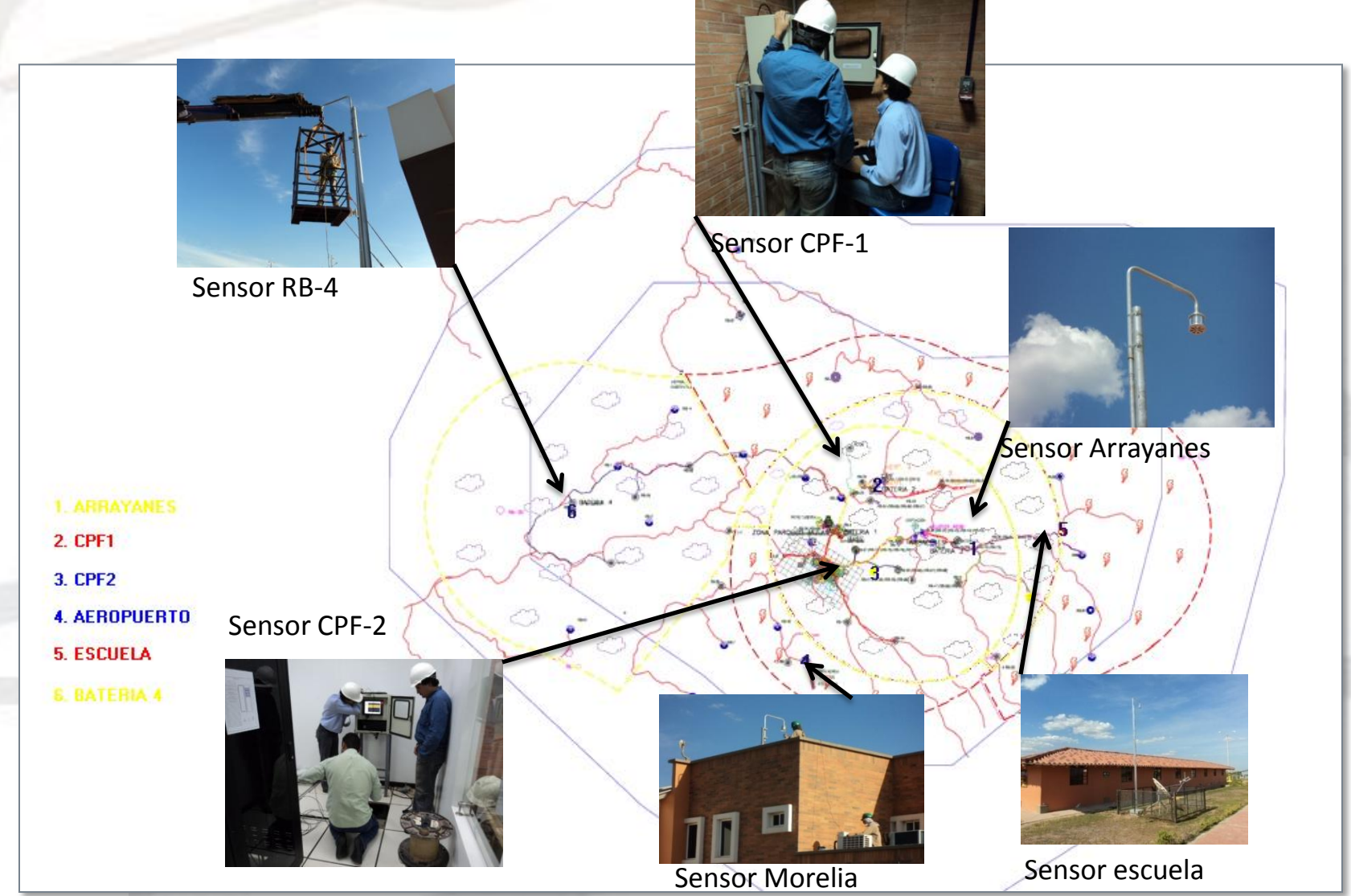






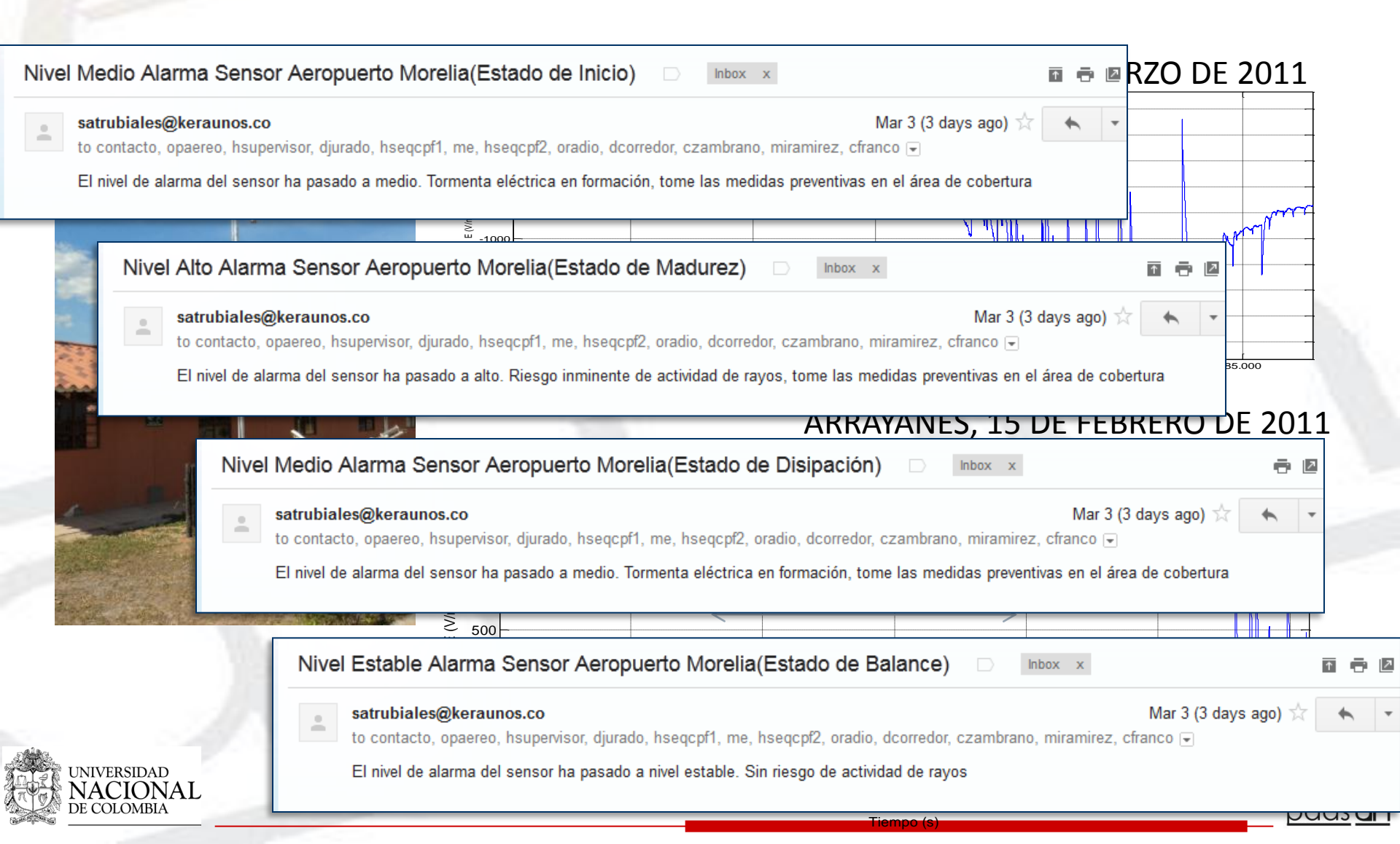












Aeropuertos





paas un

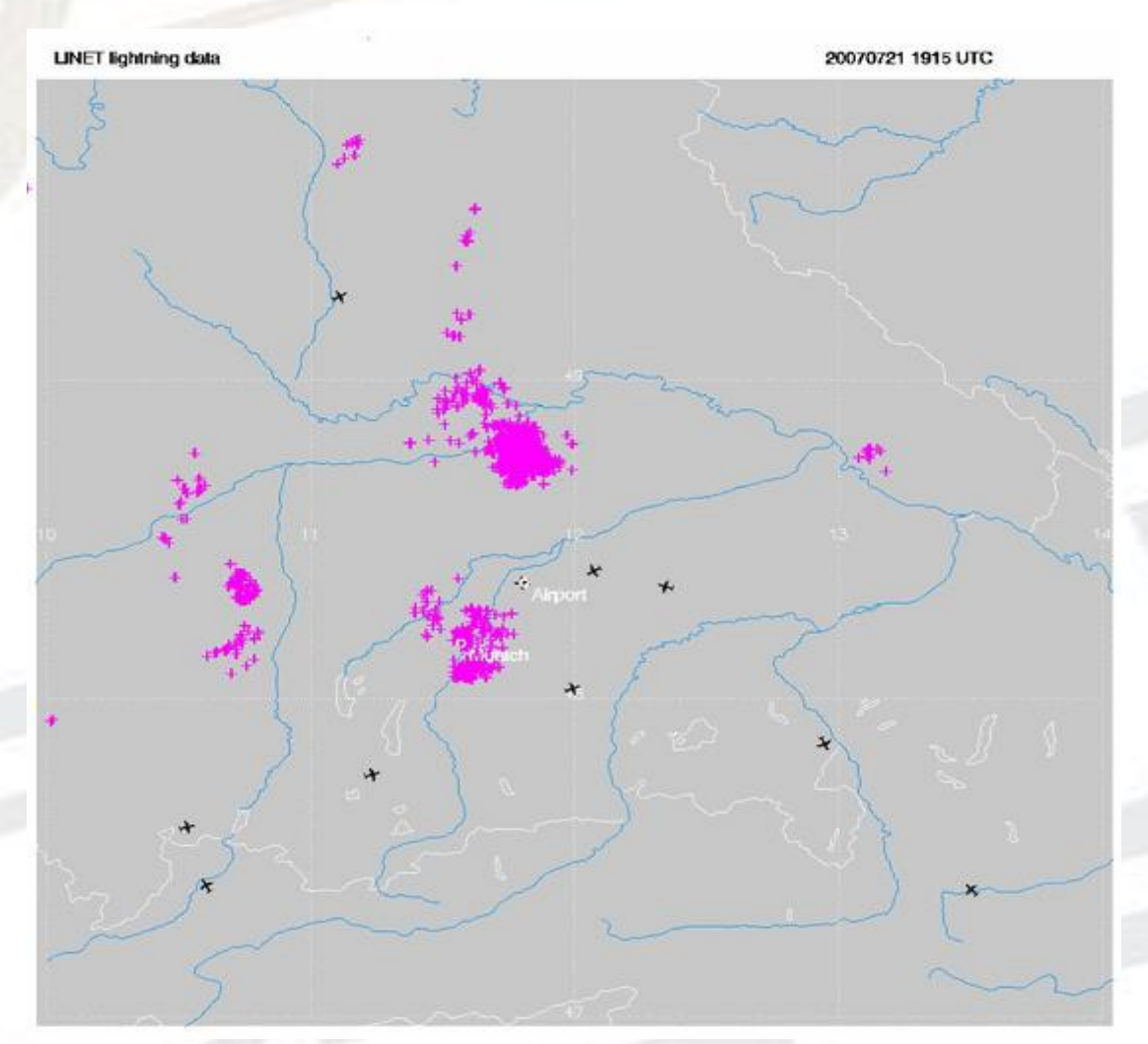
Aeropuertos







Aeropuertos











Conclusiones (1/2)

- ☐ Respecto a los rayos hay consenso mundial que NO EXISTEN ni medios para evitarlos ni sistemas de protección 100% eficaces.
- ☐ Sin embargo, EXISTEN MEDIDAS (plasmadas en resultados de investigación, normas, reglamentos y documentos especializados) para mitigar los riesgos, cuya efectividad depende de las instituciones en exigirlas y la actitud de las personas para cumplirlas.
- □ Los circuitos piloto experimentales de Guachipay (Cundinamarca) y Samaná (Caldas) localizados en una de las dos zonas de mayor actividad de rayos en Colombia, muestran resultados promisorios para la solución al problema de falla de transformadores de distribución en Colombia.





Conclusiones (2/2)

- □ Por ejemplo, para el Circuito Piloto Experimental de Guachipay, luego de instalados los transformadores Prototipo Nuevo Diseño, la rata de fallas pasó del 50% para el periodo 1990 - 1997, a 0% en el año 1998, 7% en 1999 y 0% en 2000.
- □ Para el circuito de Samana se pasó de 42 trafos fallados anualmente en promedio antes del año 2001 a 5 trafos fallados entre 2001 y 2005.





En toda actividad de Ciencia y Tecnología es demostrable que no hay verdades absolutas sino certezas temporales. Un ejemplo de ello han sido los parámetros del rayo medidos por Berger entre la década de 1950 y 1970, que han servido como base para el desarrollo de las grandes investigaciones de rayos en el mundo y en normalización internacional, que hoy son cuestionados con rigurosidad por mediciones directas de parámetros del rayo¹ en la misma zona templada donde fueron medidos hace 50 años y por mediciones en zona tropical^{2,3,4}.

Diendorfer et. al. "Statistical of lightning current parameters measurement at the Geisberg Tower", ILDC, 2004, Ref 64.
F. de la Rosa, K. Cummins, L. Dellera, G. Diendorfer, A. Galván, J. Husse, V. Larsen, C.A. Nucci, F. Rachidi, V. Rakov, H. Torres and M.A. Uman. "Characterization of lightning for applications in Electric Power Systems" Journal Electra - Technical Brochure No. 172, CIGRE WG. 33.01.02, December 2000.

³ Visacro, S. et.al "Statistical analysis of lightning current parameters: Measurements at Morro do Cachimbo station" Journal of Geophysical Research JGR, Vol. 109, D01105. 2004. ⁴ Torres, H. "El Rayo", Ed. Unibiblos, 2002



